



Universitat
de les Illes Balears

Laboratori Interdisciplinari
sobre Canvi Climàtic



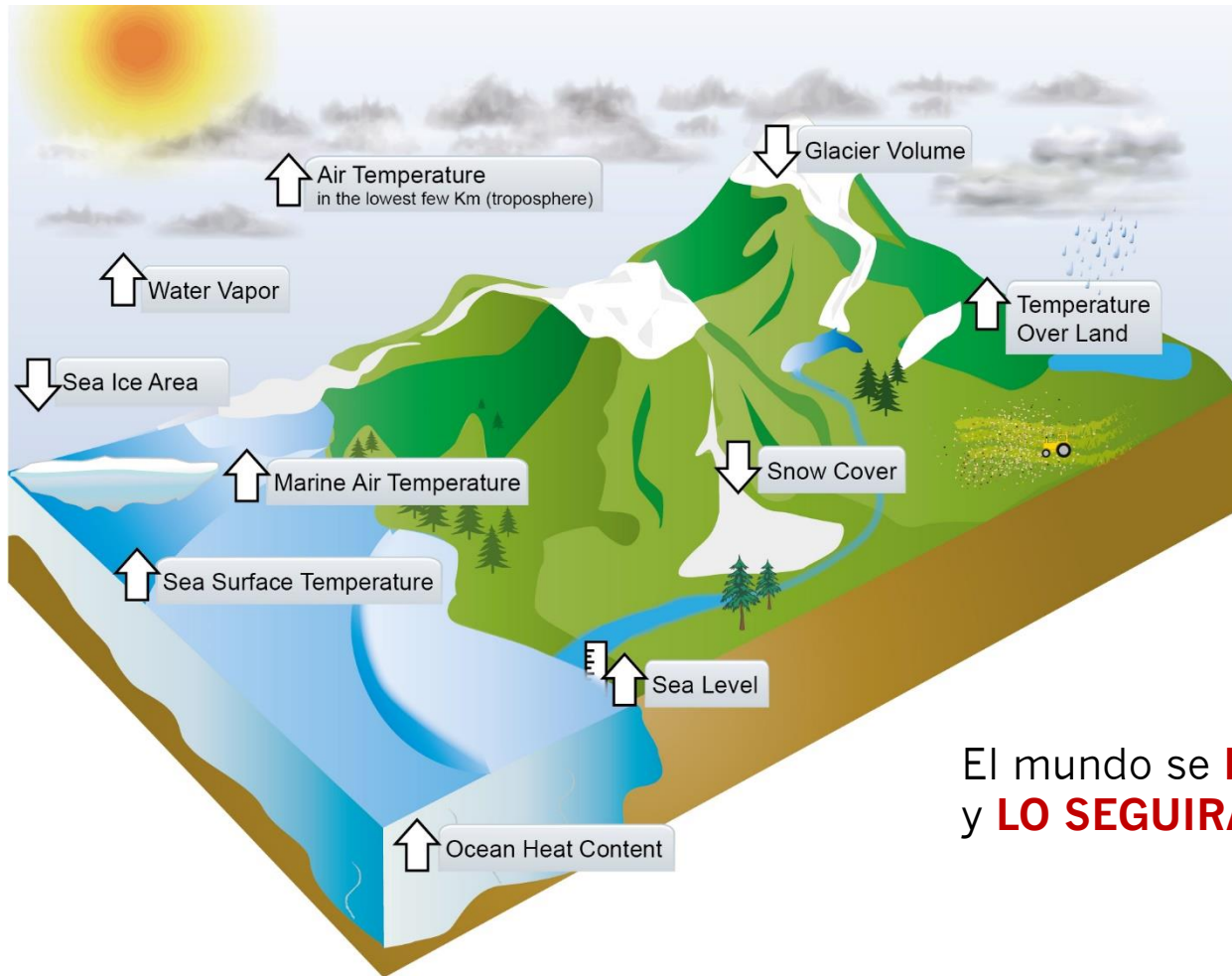
CANVI CLIMÀTIC: ALGUNS IMPACTES FUTURS, ESPECIALMENT SOBRE EL CULTIU DE LA VINYA

Romu Romero

UOM a EIVISSA

Contenido

1. La importancia de los extremos y de sus posibles cambios
2. Regionalización (“Downscaling”) de las proyecciones de cambio climático
3. Extremos de temperatura y precipitación en Europa a finales del siglo XXI
4. El futuro de los medicanes o “huracanes” mediterráneos
5. Impactos esperables sobre el cultivo de la viña



El mundo se **HA CALENTADO**
y **LO SEGUIRÁ HACIENDO**

Las medidas de adaptación al **CAMBIO CLIMÁTICO** exigen analizar la magnitud de los posibles **IMPACTOS LOCALES** sobre el bienestar humano y una variedad de sectores estratégicos como los ecosistemas, agricultura, hidrología, salud, energía, industria, etc...



La mayor parte de los **ESTUDIOS** se han centrado en los efectos que podrían tener los cambios en los **REGÍMENES MEDIOS** climáticos (**IPCC AR5, 2014**)



Sin embargo, sabemos que una **PROPORCIÓN IMPORTANTE** de dichos impactos, al menos en coste económico y de vidas humanas, se debe a fenómenos meteorológicos y climáticos **EXTREMOS** (p.e. sequías, olas de calor y de frío, exceso de precipitación, tormentas severas, tempestades ciclónicas de viento, etc). **P.e.** un temporal extraordinario puede suponer por sí solo una perturbación equivalente a decenas de borrascas ordinarias, o una sequía de muchos meses puede tener mucho mayor impacto que la disminución progresiva de la precipitación



ESCASEAN LAS PROYECCIONES cuantitativas de extremos a nivel regional y local, especialmente en una zona tan vulnerable del planeta como la nuestra (**IPCC SREX, 2012**)



extremo, ma

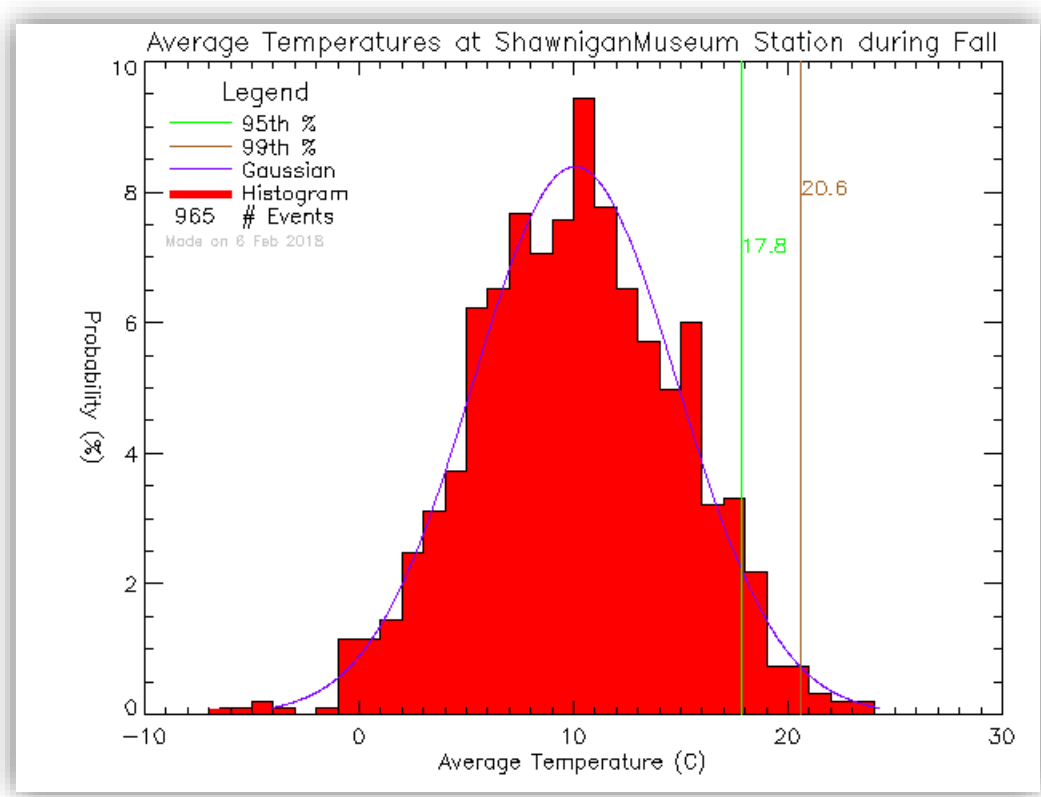
Del lat. extrēmus.

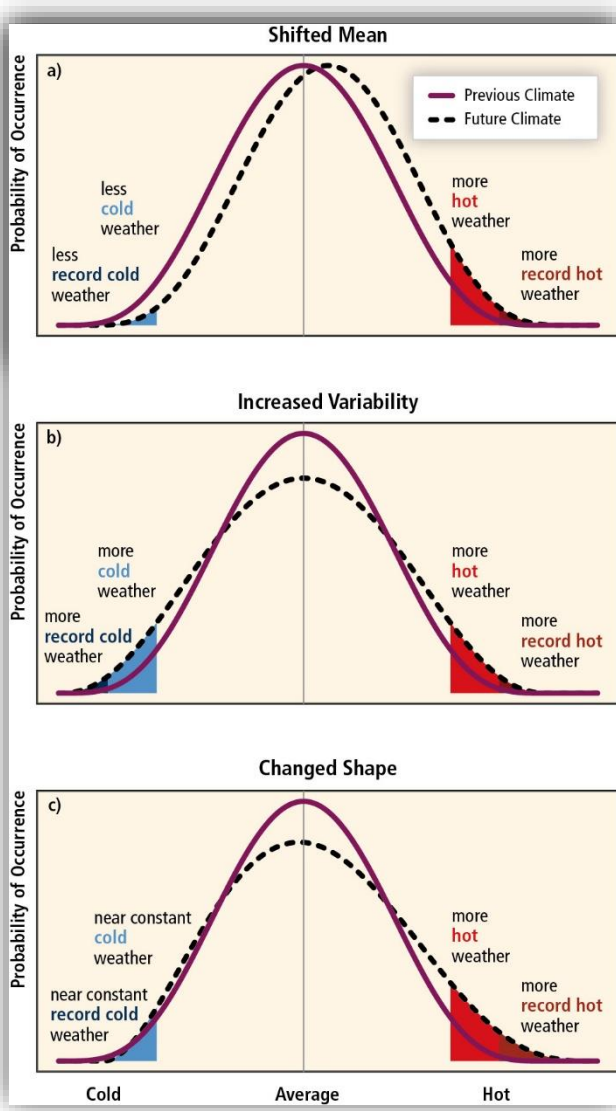
Para el f., u. solo la forma extremo en acep. 14.

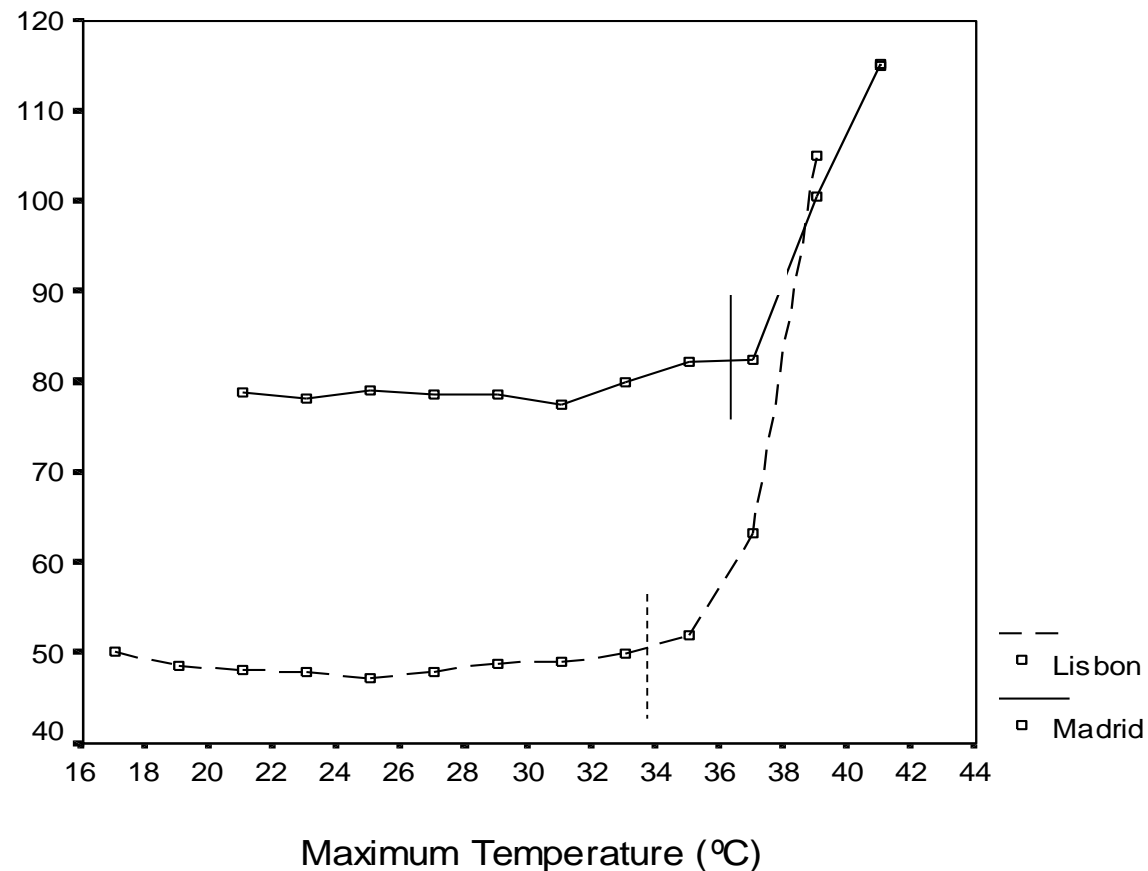
1. adj. último.
2. adj. Dicho de una cosa: **Que está en su grado más intenso, elevado o activo. Frío, calor extremo.**
3. adj. **Excesivo, sumo, exagerado.**
4. adj. distante (|| apartado).
5. adj. desemejante.
6. m. Parte primera o última de algo, principio o fin de ello.
7. m. asunto (|| materia de que se trata).
8. m. Punto último a que puede llegar algo.
9. m. Esmero sumo en una operación.
10. m. Invernadero de los ganados trashumantes, y pastos en que pacen en el invierno.
11. m. Mat. Término primero o último de una proporción.
12. m. desus. padrenuestro (|| cuenta del rosario).
13. m. pl. **Manifestaciones exageradas y vehementes de** un afecto del ánimo, como alegría, dolor, **etc.** Hacer extremos.
14. m. y f. En el fútbol y otros deportes, miembro de la delantera que, en la alineación del equipo, se sitúa más próximo a las bandas derecha o izquierda del campo.

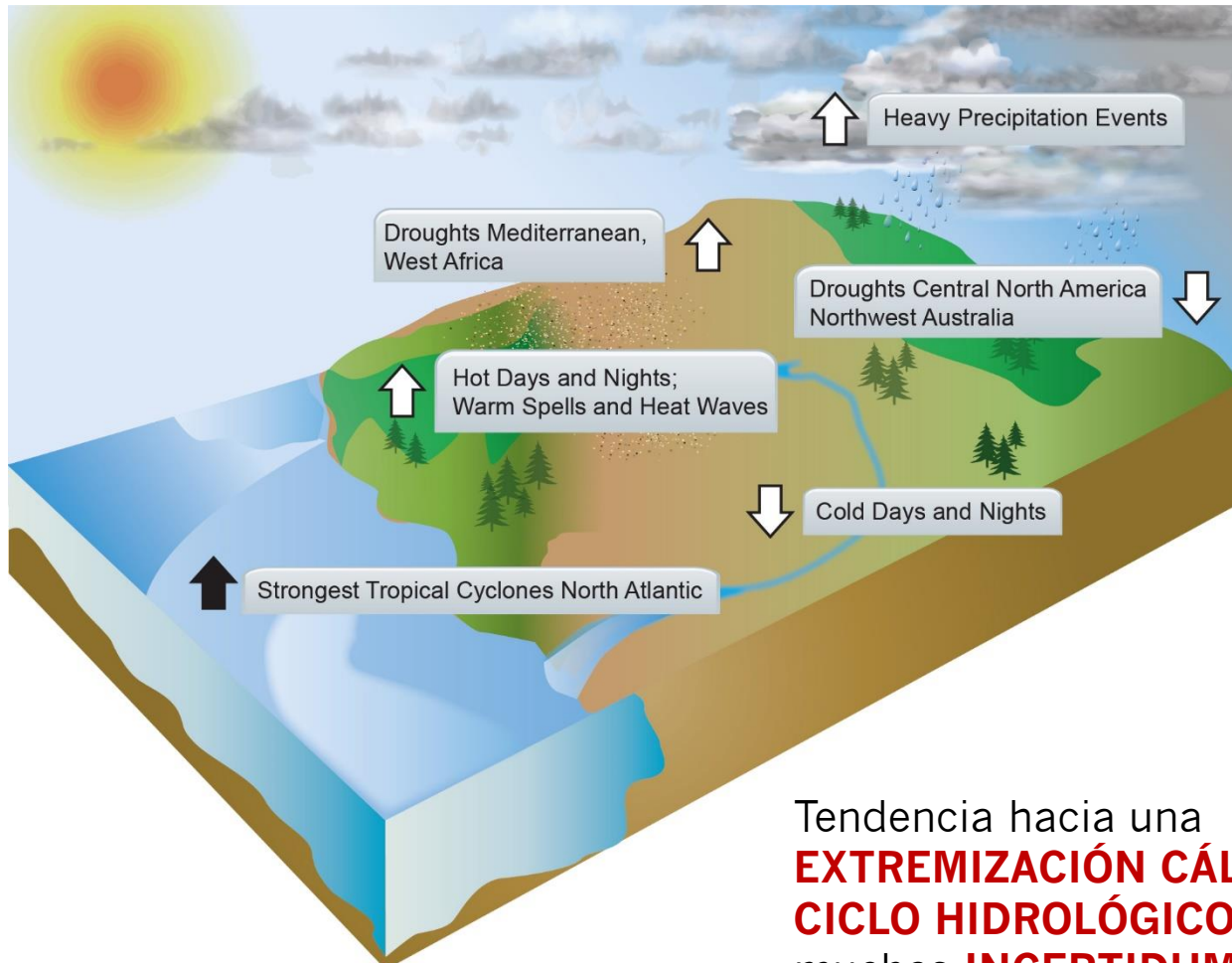


Tanto como variable o como fenómeno, es necesariamente **POCO FRECUENTE**, i.e. requiere de **SERIES MUY LARGAS** (o agregadas) → Tratamiento estadístico **DIFÍCIL**



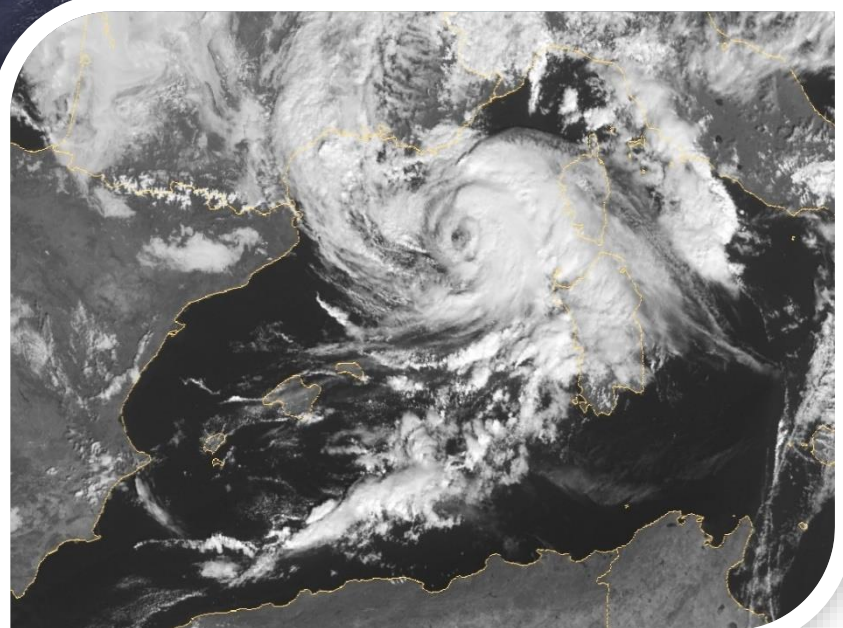
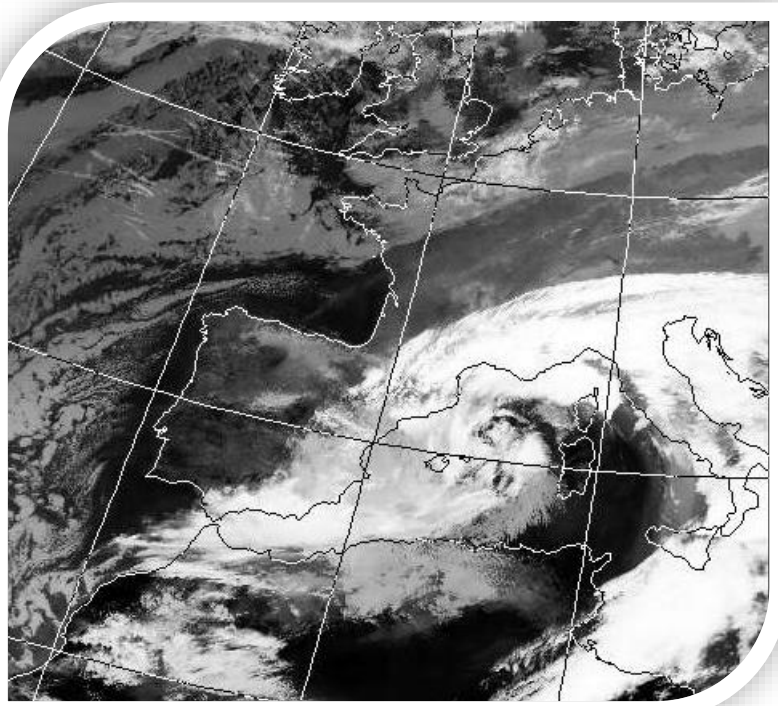




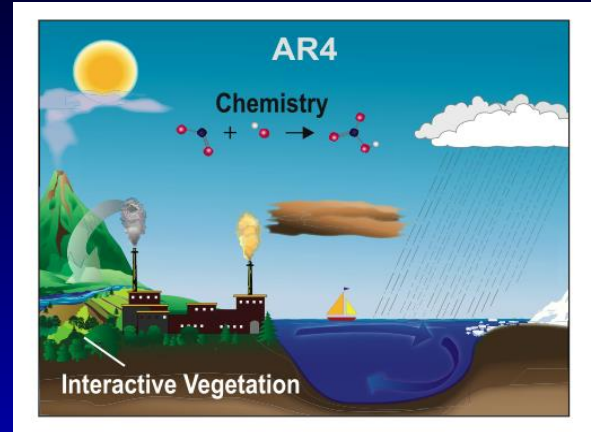
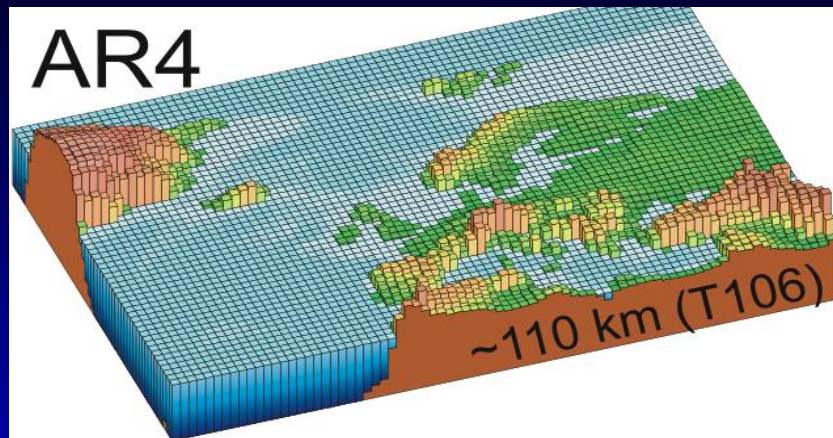


Tendencia hacia una
EXTREMIZACIÓN CÁLIDA y del
CICLO HIDROLÓGICO, pero con
muchas **INCERTIDUMBRES** y
diferencias regionales para otros
indicadores

Observaciones y Proyecciones PROBLEMÁTICAS para OTRAS VARIABLES (p.e. viento) Y FENÓMENOS (tormentas severas, borrascas extratropicales intensas, ciclones tropicales)

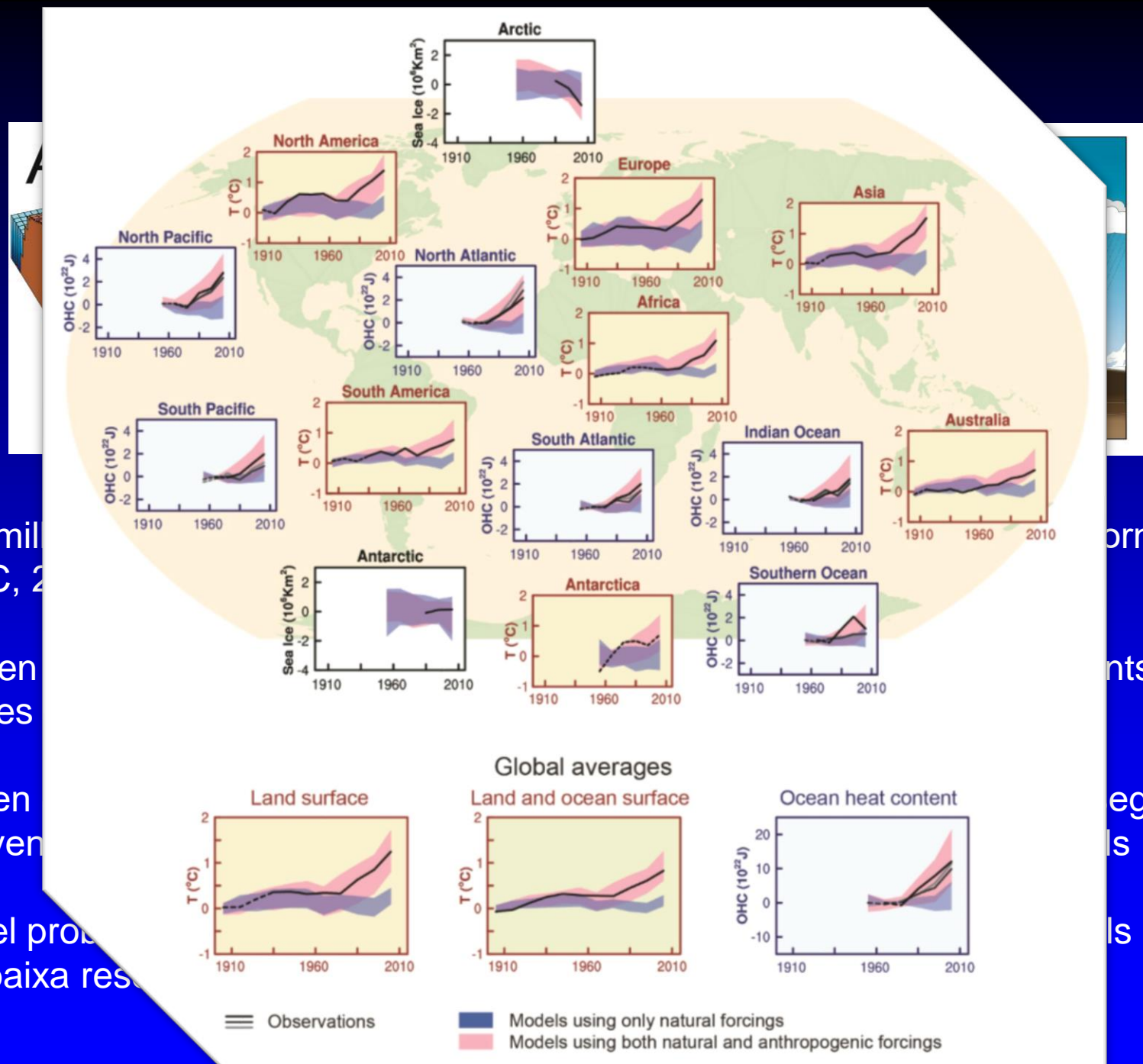


GCMs



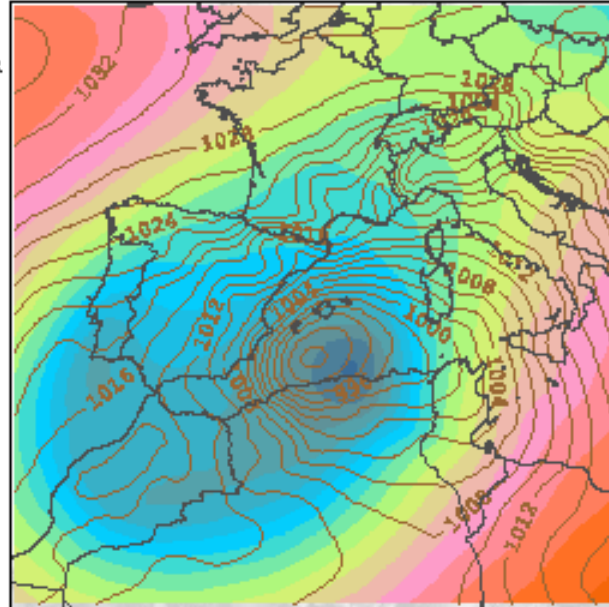
- Són la millor eina disponible per a l'estudi del canvi climàtic (p.e. Cinquè Informe AR5 de l'IPCC, 2013)
- Contenen una representació dels processos físics, químics i biològics influents així com de les seves complexes interaccions
- Realitzen simulacions de “control” del segle XX, i simulacions “futures” del segle XXI sota un ventall d'escenaris d'emissions de gasos d'efecte hivernacle i aerosols
- Tenen el problema de no capturar completament els efectes locals i regionals degut a la seva baixa resolució de càlcul (100 – 300 km) —————→ **DOWNSCALING**

- Són la millorença dels models de l'IPCC, 2013
- Contenen errors sistemàtics com de les temperatures
- Realitzen prediccions sota un vent favorable
- Tenen el problema que la seva baixa resolució



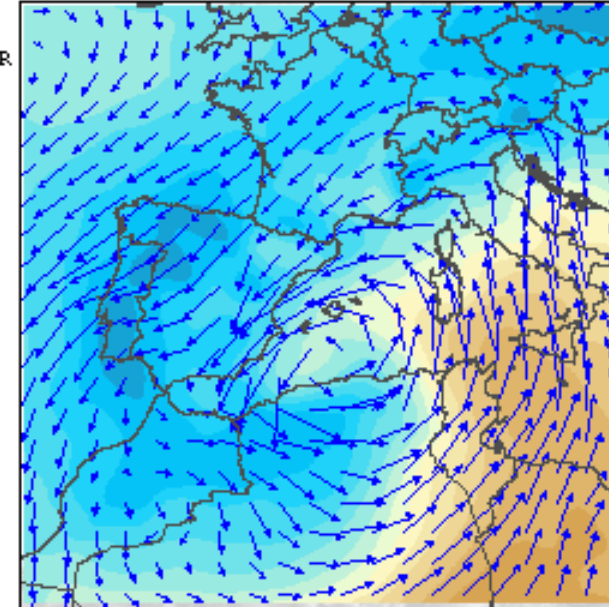
FORECAST TIME: 24 h 00 UTC Sun, 11 Nov 2001

BCOLOR
m
6020
5960
5900
5840
5780
5720
5660
5600
5540
5480
5420
5360
5300



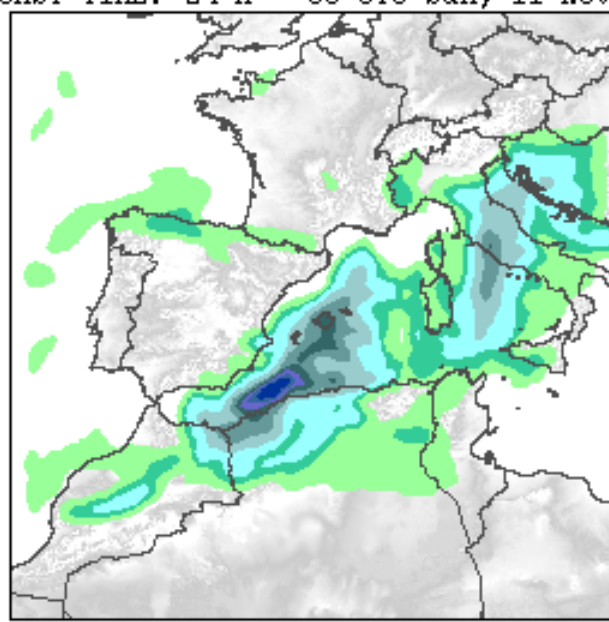
FORECAST TIME: 24 h 00 UTC Sun, 11 Nov 2001

BCOLOR
°C
34
30
26
22
18
14
10
6
2
-2
-6
-10
-14



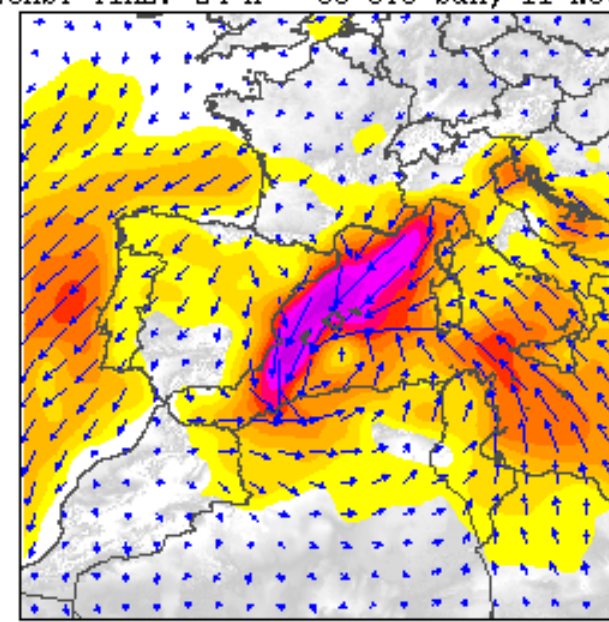
FORECAST TIME: 24 h 00 UTC Sun, 11 Nov 2001

FCOLOR
mm
200
150
125
100
75
50
25
10
5
1



FORECAST TIME: 24 h 00 UTC Sun, 11 Nov 2001

FCOLOR
m/s
27
25
23
21
19
17
15
13
11
9
7
5



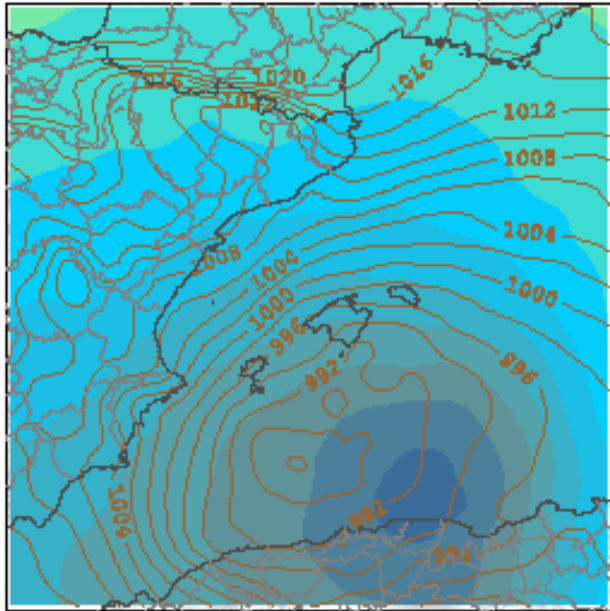
H+00 H+03 H+06 H+09 H+12 H+15 H+18 H+21 H+24 H+27 H+30 H+33 H+36 H+39 H+42 H+45 H+48



Animate

FORECAST TIME: 24 h 00 UTC Sun, 11 Nov 2001

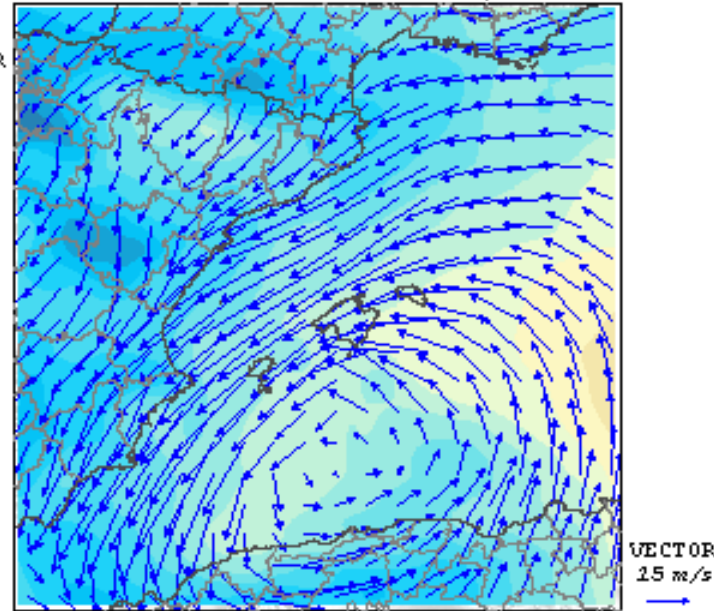
BCOLOR
m
6020
5960
5900
5840
5780
5720
5660
5600
5540
5480
5420
5360
5300



SLINE
hPa

FORECAST TIME: 24 h 00 UTC Sun, 11 Nov 2001

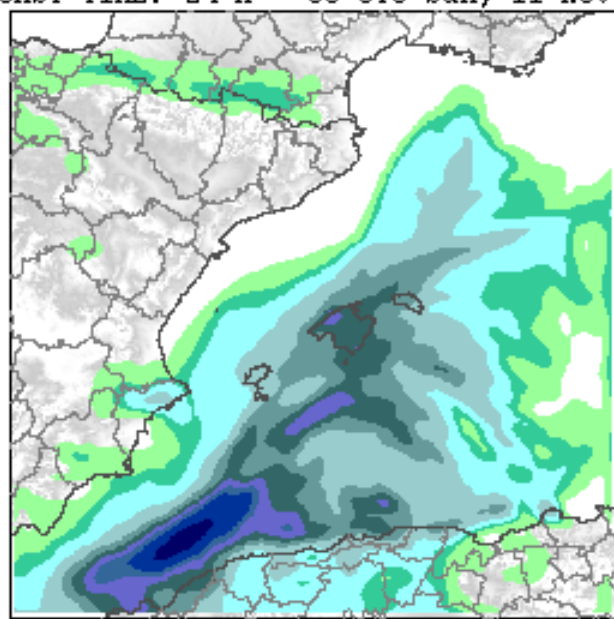
BCOLOR
°C
34
30
26
22
18
14
10
6
2
-2
-6
-10
-14



VECTOR
25 m/s

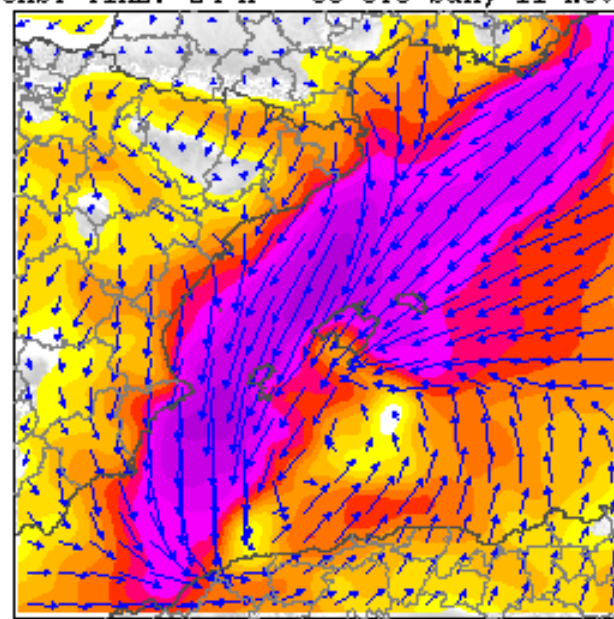
FORECAST TIME: 24 h 00 UTC Sun, 11 Nov 2001

FCOLOR
mm
200
150
125
100
75
50
25
10
5
1



FORECAST TIME: 24 h 00 UTC Sun, 11 Nov 2001

FCOLOR
m/s
27
25
23
21
19
17
15
13
11
9
7
5



VECTOR
25 m/s



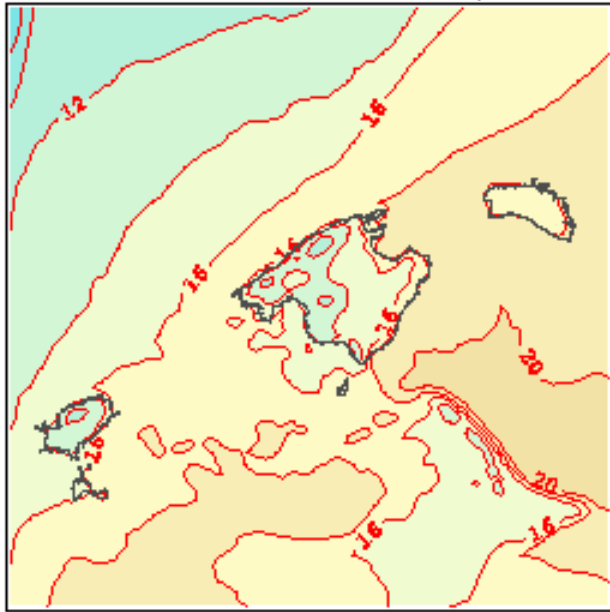
H+00 H+03 H+06 H+09 H+12 H+15 H+18 H+21 H+24 H+27 H+30 H+33 H+36 H+39 H+42 H+45 H+48



Animate

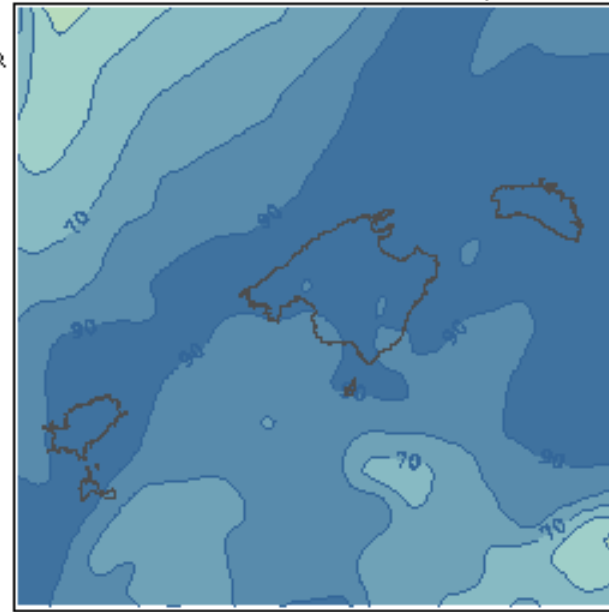
FORECAST TIME: 24 h 00 UTC Sun, 11 Nov 2001

BCOLOR
°C
48
42
36
30
24
18
12
6
0
-6
-12
-18



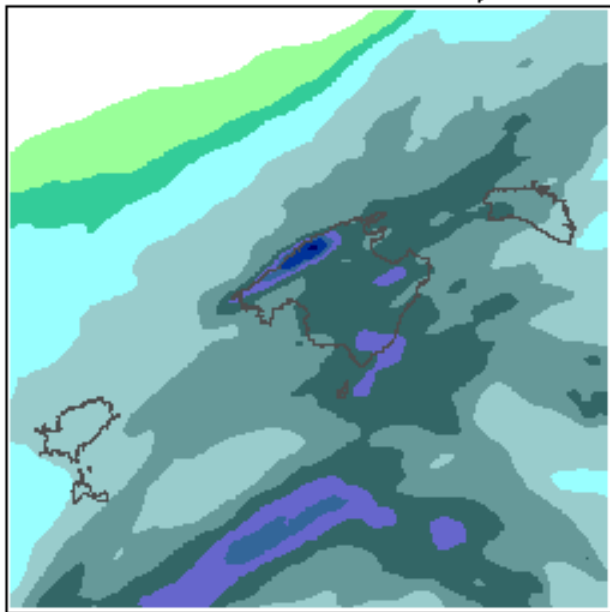
FORECAST TIME: 24 h 00 UTC Sun, 11 Nov 2001

BCOLOR
°F
100
90
80
70
60
50
40
30
20
10
SLINE
°F



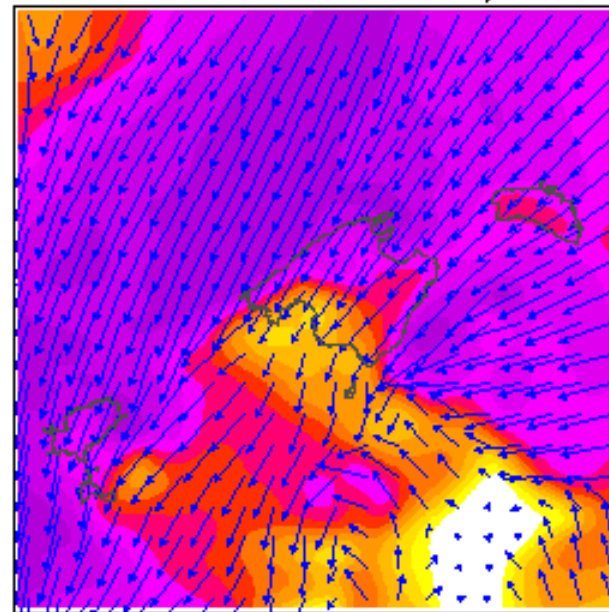
FORECAST TIME: 24 h 00 UTC Sun, 11 Nov 2001

FCOLOR
mm
200
150
125
100
75
50
25
10
5
1



FORECAST TIME: 24 h 00 UTC Sun, 11 Nov 2001

FCOLOR
m/s
27
25
23
21
19
17
15
13
11
9
7
5



R5

(I)

a



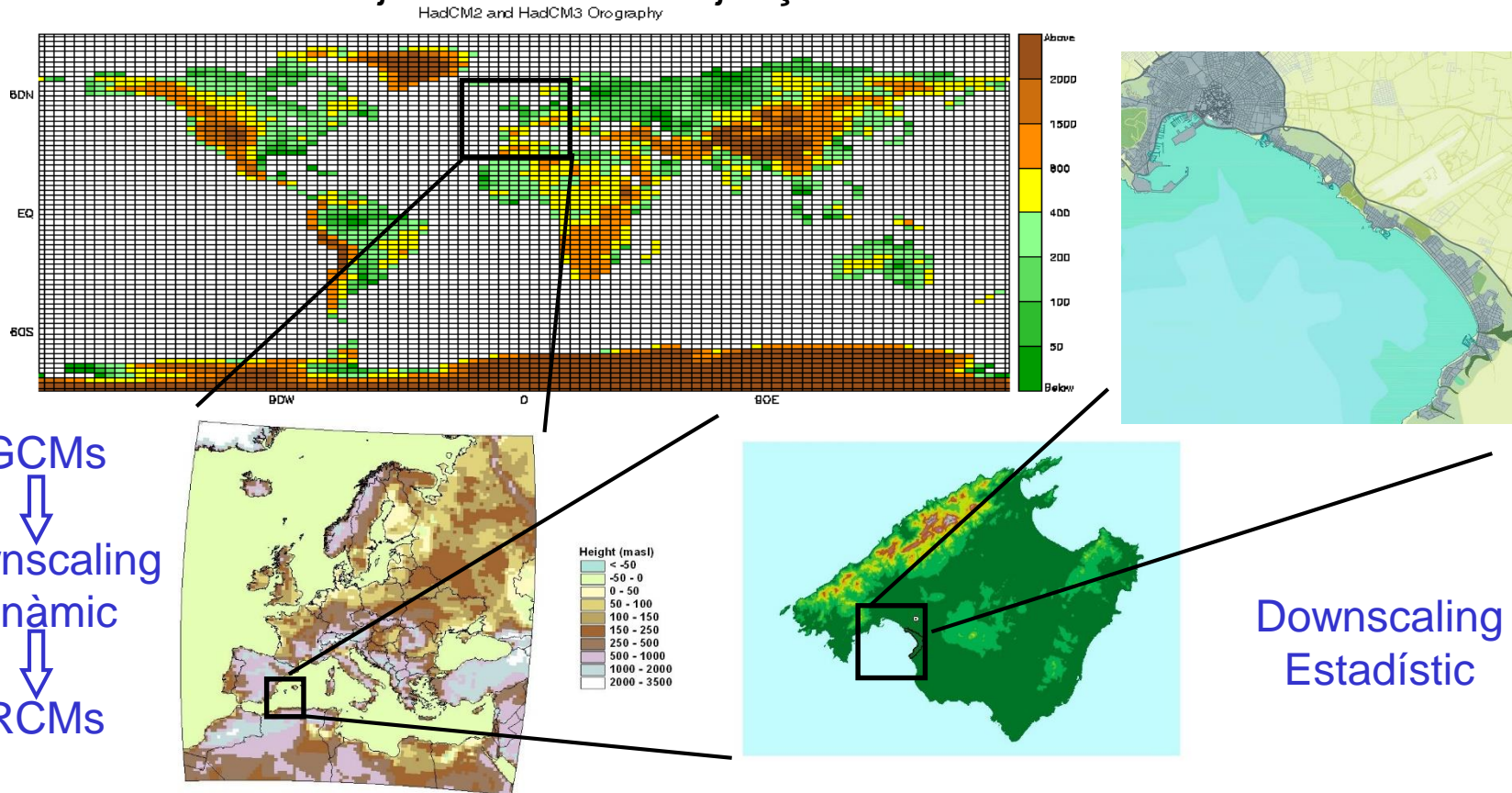
H+00 H+03 H+06 H+09 H+12 H+15 H+18 H+21 H+24 H+27 H+30 H+33 H+36 H+39 H+42 H+45 H+48

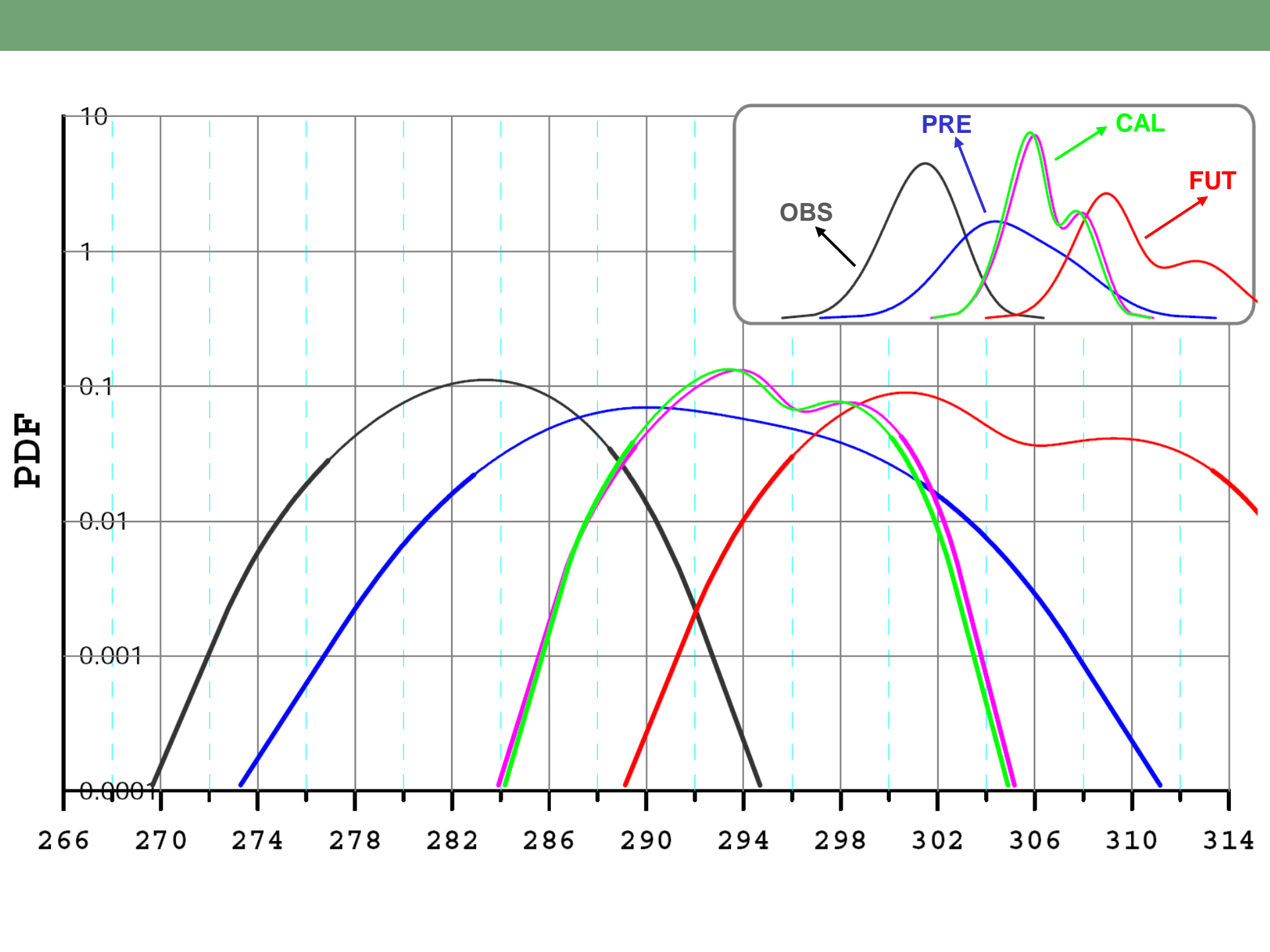


Animate

Mètode dissenyat pel Grup de Meteorologia (UIB)

- GCMs → RCMs
 - **Escala regional:** Downscaling dinàmic amb Models Climàtics Regionals (RCMs)
 - **Escala local:** Ajust estadístic mitjançant la correcció dels RCMs

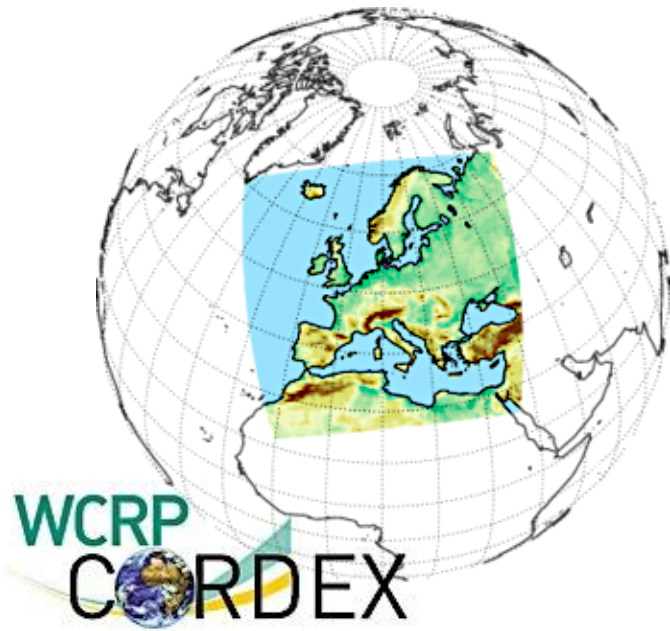




Projeccions de Temperatura i Precipitació per a Europa

Calculem els canvis (règims mitjans i **extrems**) de les PDFs futures calibrades (2021-2045; 2046-2070; **2071-2095**) respecte d'un passat recent observat (1981-2005)

Escenaris futurs d'emissions
rcp4.5 i **rcp8.5**



Driving GCM	RCM	Institute
CNRM-CM5-LR	CCLM4-8-17	CLMcom
EC-EARTH	CCLM4-8-17	CLMcom
HadGEM2-ES	CCLM4-8-17	CLMcom
MPI-ESM-LR	CCLM4-8-17	CLMcom
EC-EARTH	RACMO22E	KNMI
HadGEM2-ES	RACMO22E	KNMI
EC-EARTH	HIRHAM5	DMI
NorESM1-M	HIRHAM5	DMI
CNRM-CM5	ALADIN53	CNRM
CNRM-CM5	RCA4	SMHI
EC-EARTH	RCA4	SMHI
HadGEM2-ES	RCA4	SMHI
MPI-ESM-LR	RCA4	SMHI
IPSL-CM5A-MR	RCA4	SMHI

EXTREMOS DE TREMPERATURA

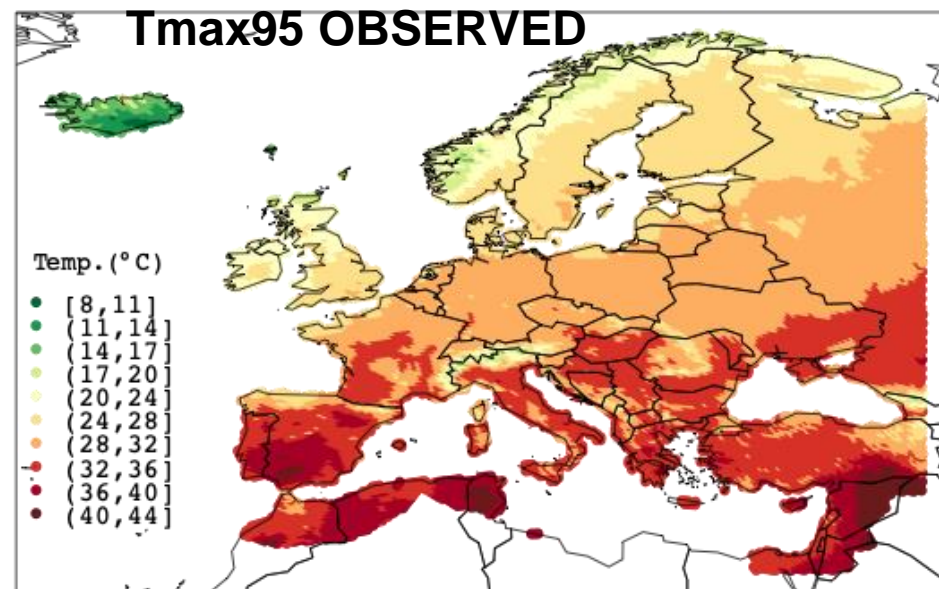
Table 1: Extreme temperature index definitions

Name	Definition	Units
Warm days	Seasonal count when daily max temperature > 95th percentile in summer	day
Heat wave	Episode of at least three consecutive days with daily mean temperature > 90th percentile in summer	—
Heat wave amplitude	Accumulated heat stress exceedance for all days under heat wave conditions in a given time interval	°C-day
Cold nights	Seasonal count when daily min temperature < 5th percentile in winter	day
Cold spell	Episode of at least three consecutive days with daily mean temperature < 10th percentile in winter	—
Cold spell amplitude	Accumulated cold stress exceedance for all days under cold spell conditions in a given time interval	°C-day

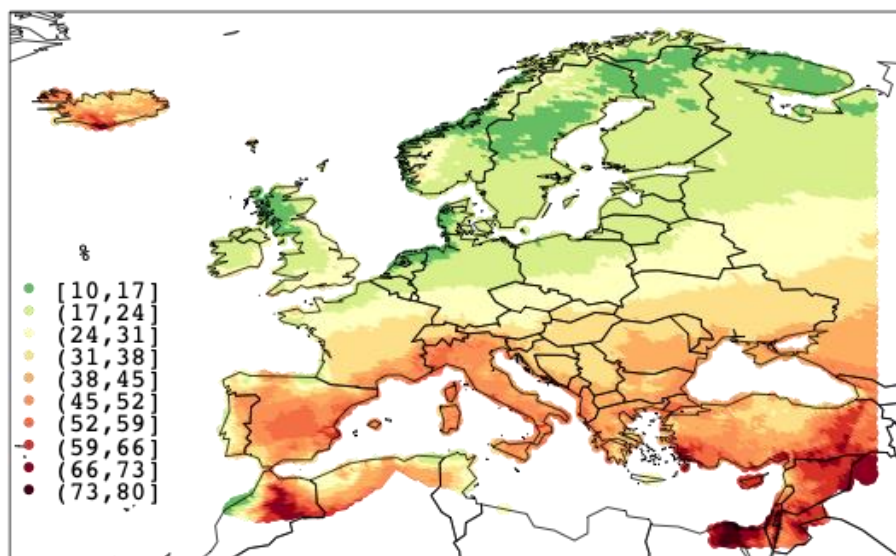
VERANO

DÍAS CÁLIDOS

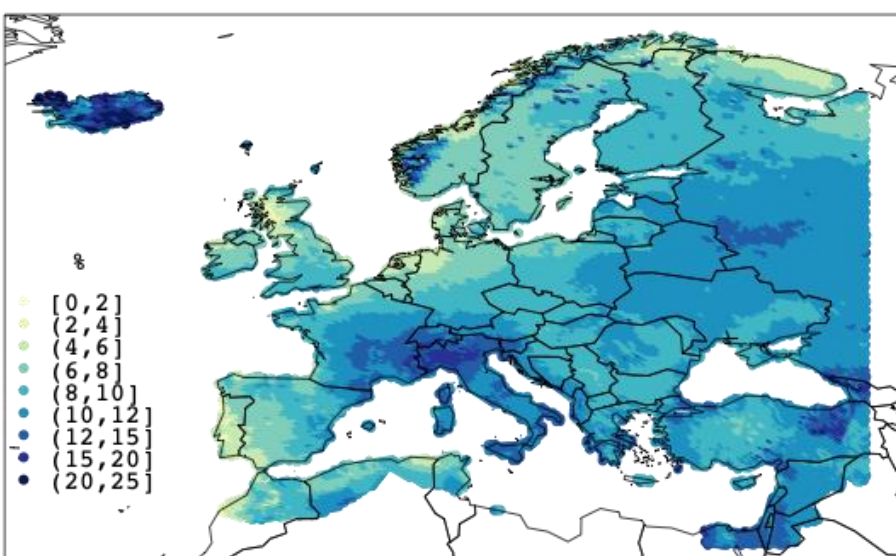
Total estacional en que
temperatura max diaria
>> percentil 95th (Tmax95)
del verano



FUTURE MULTI-MODEL MEAN

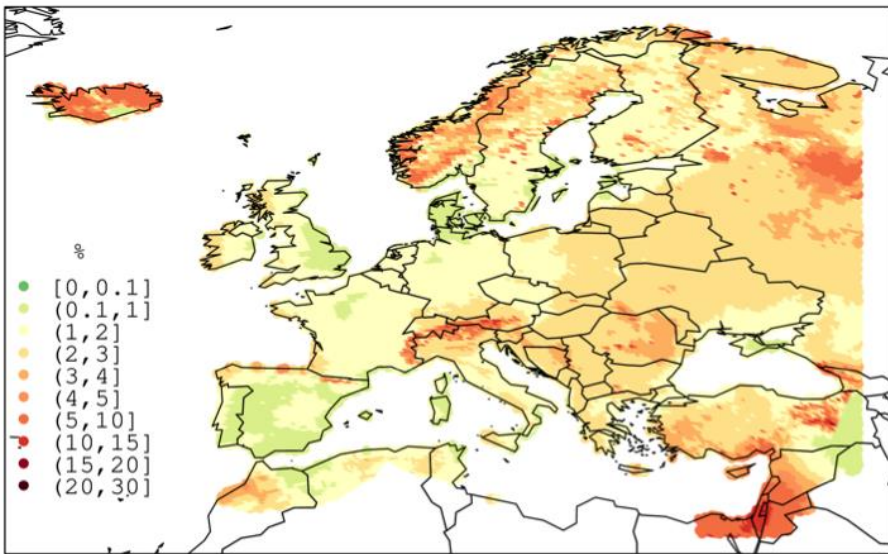


SD (FUTURE MULTI-MODEL MEAN)

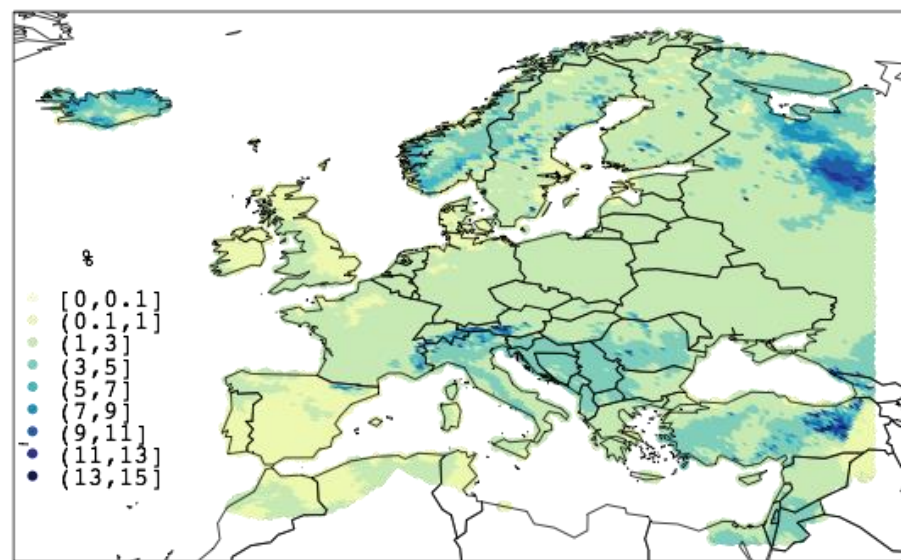


DÍAS CÁLIDOS

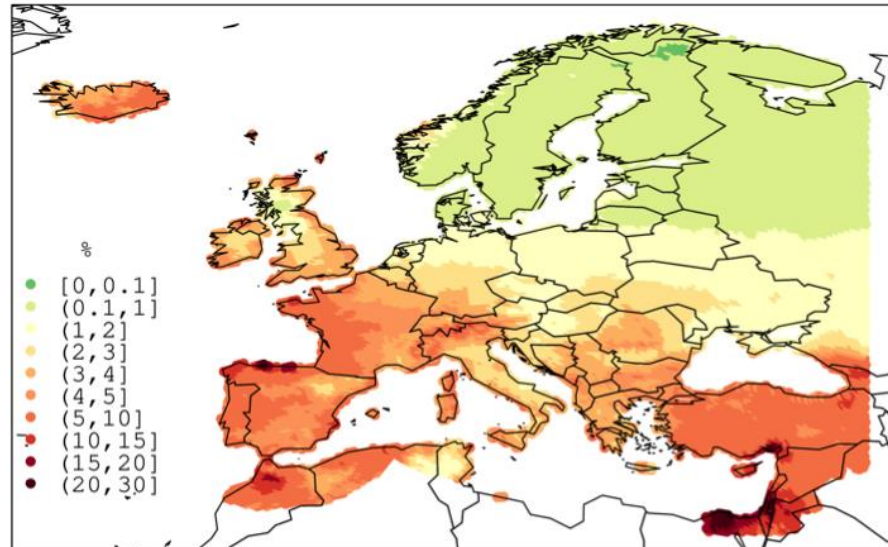
FUTURE MULTI-MODEL MEAN



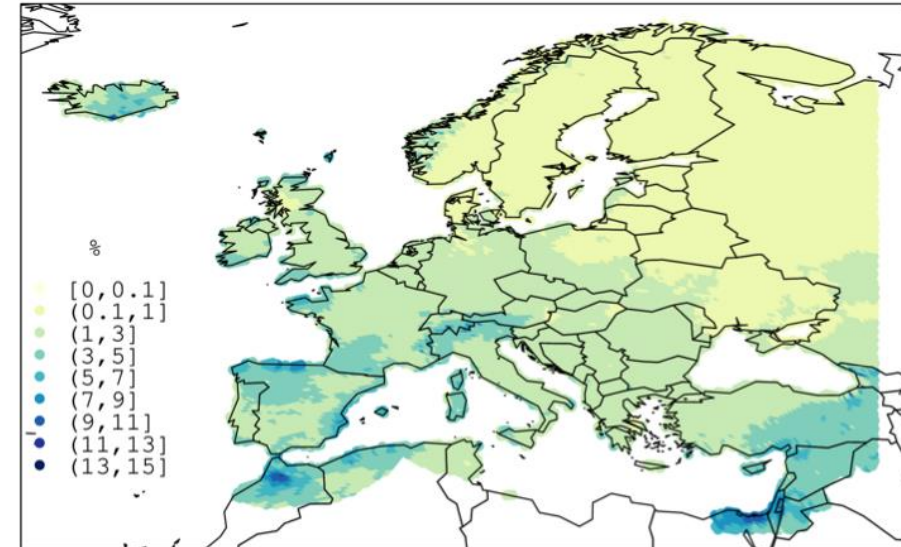
PRIMAVERA



FUTURE MULTI-MODEL MEAN



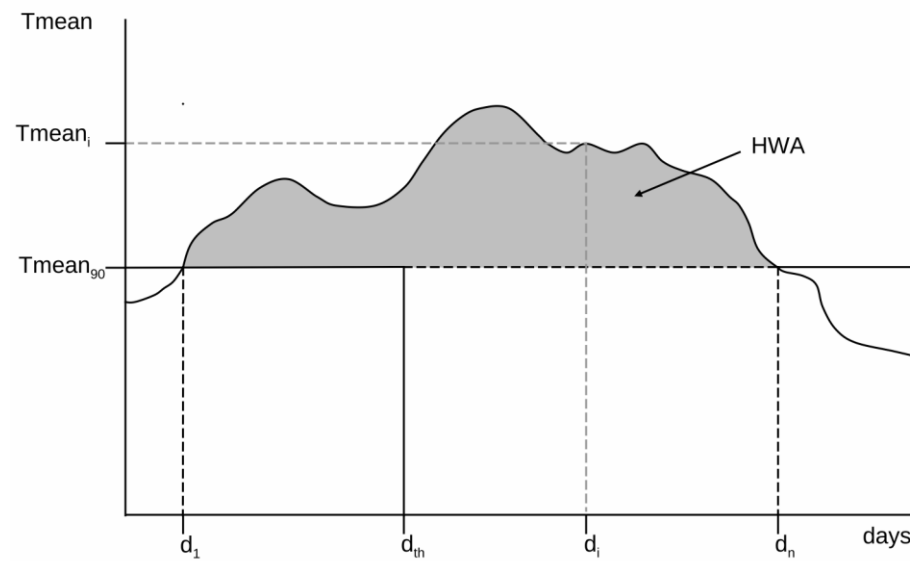
OTOÑO



OLA DE CALOR

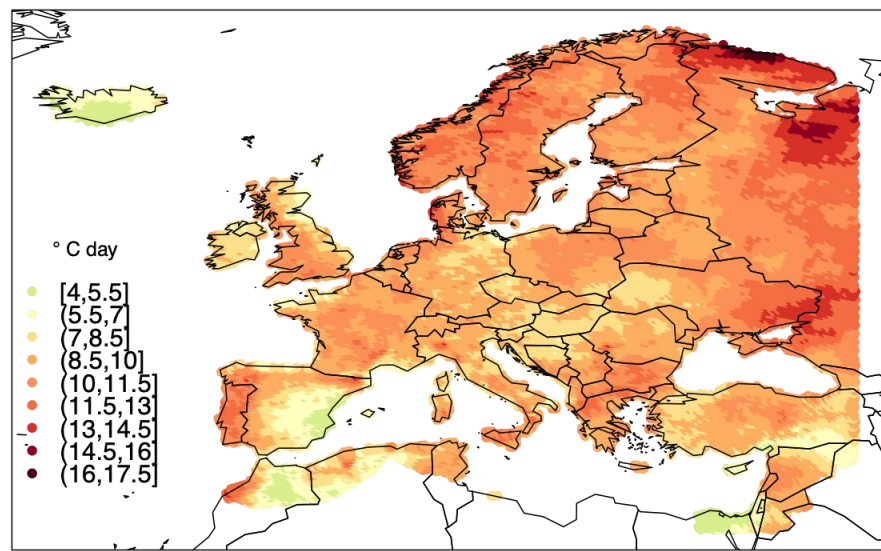
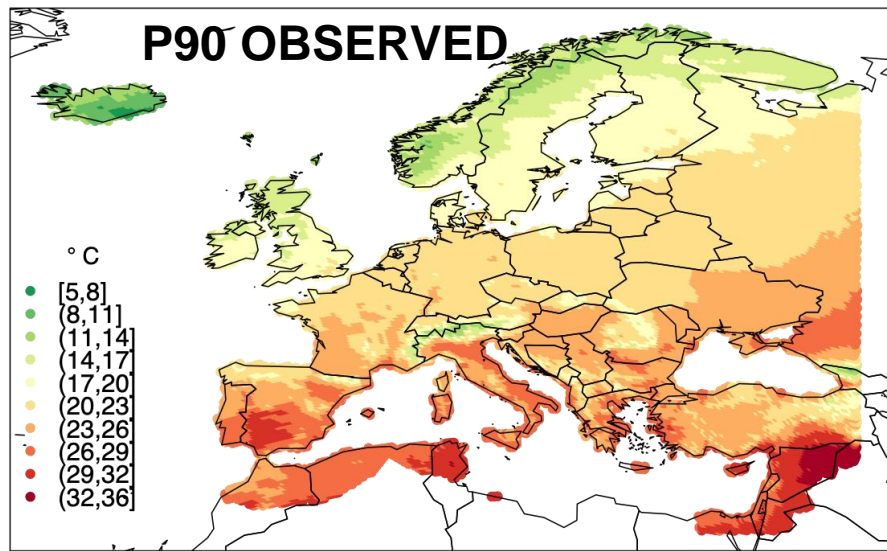
Episodio de al menos 3 días **consecutivos** con la **temperatura media** diaria > percentil 90th (**Tmean90**) de las temperaturas medias diarias observadas en **VERANO**

AMPLITUD DE LA OLA DE CALOR (HWA, °C-día)

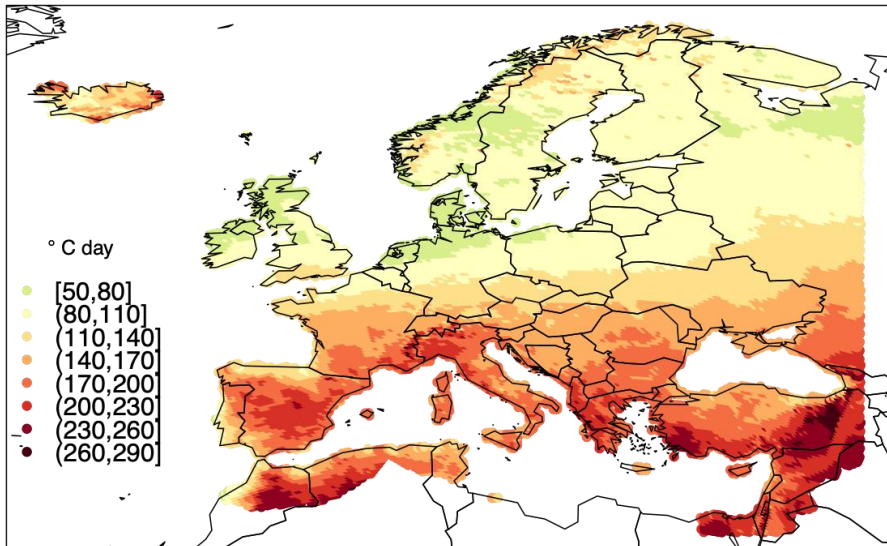


OLAS DE CALOR (HWA)

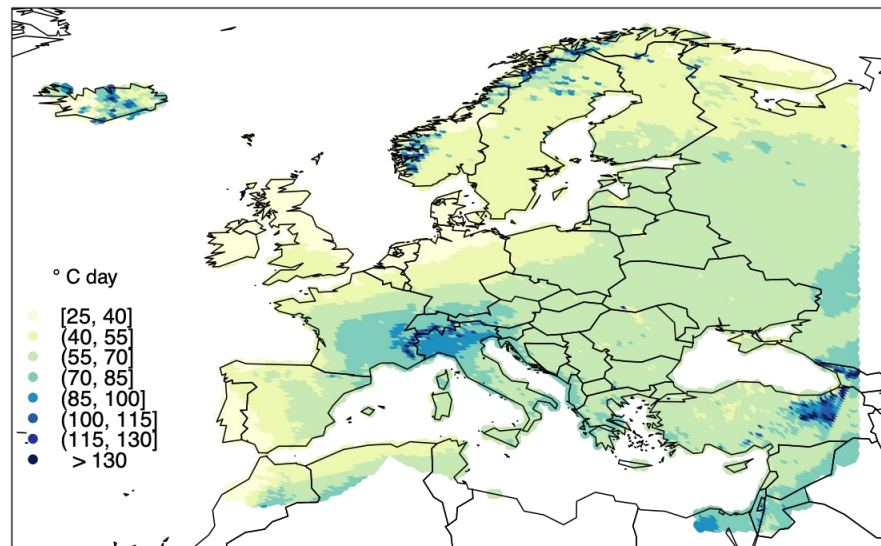
VERANO



FUTURE MULTI-MODEL MEAN CHANGE



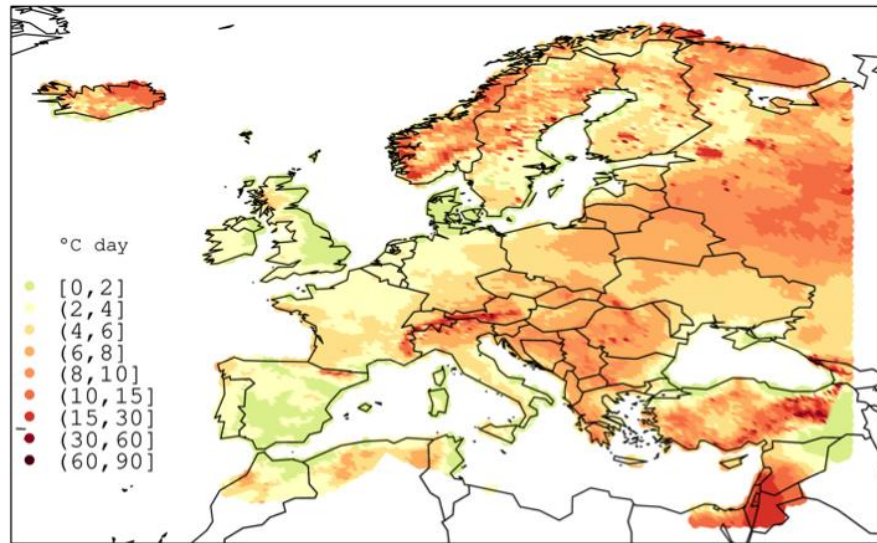
SD (FUTURE MULTI-MODEL MEAN CHANGE)



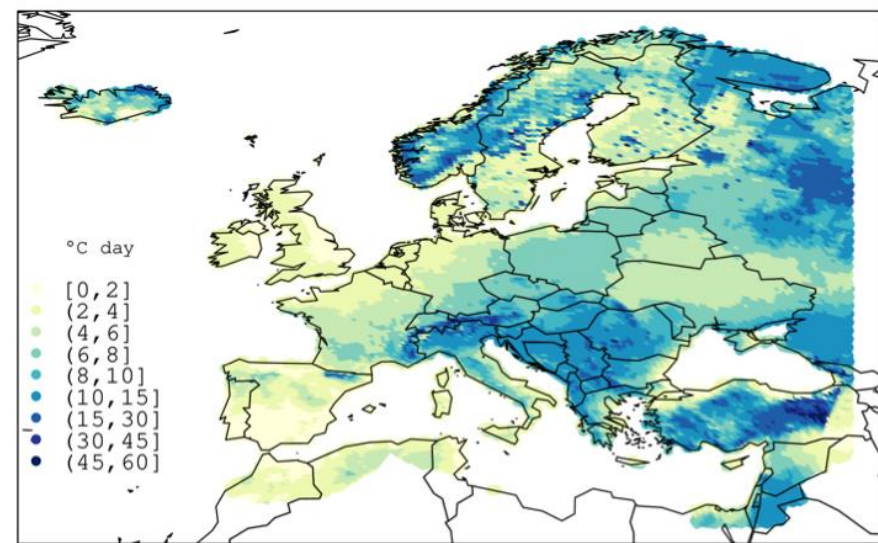
OLAS DE CALOR

PRIMAVERA

FUTURE MULTI-MODEL MEAN CHANGE

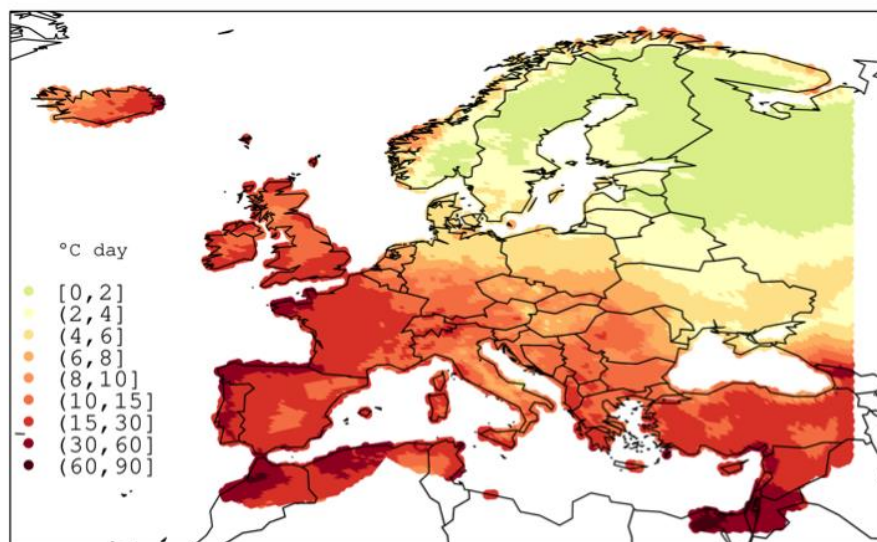


SD (FUTURE MULTI-MODEL MEAN CHANGE)

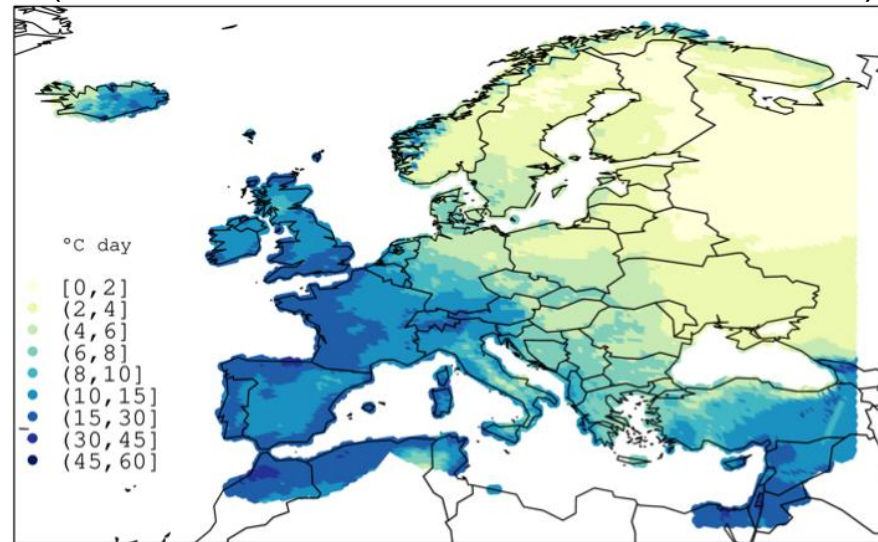


OTOÑO

FUTURE MULTI-MODEL MEAN CHANGE



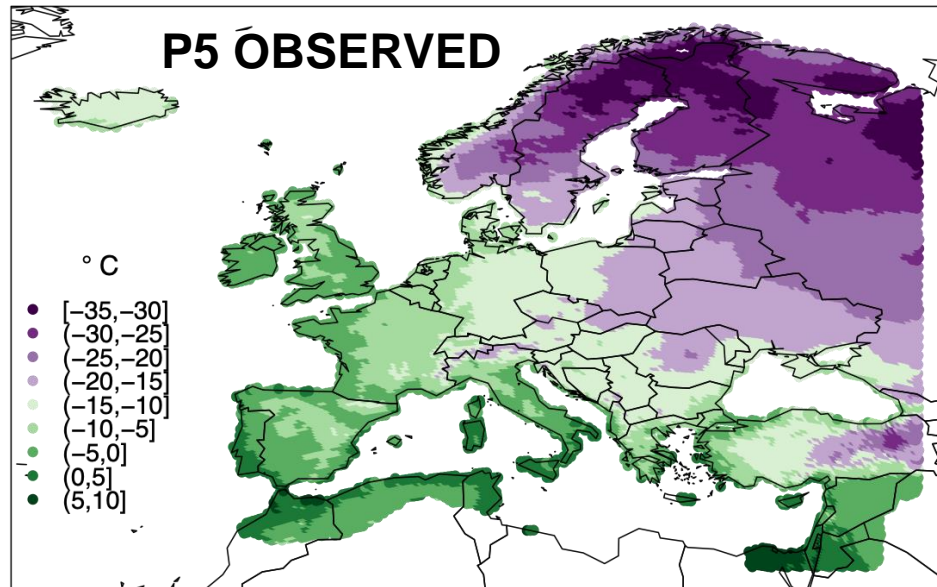
SD (FUTURE MULTI-MODEL MEAN CHANGE)



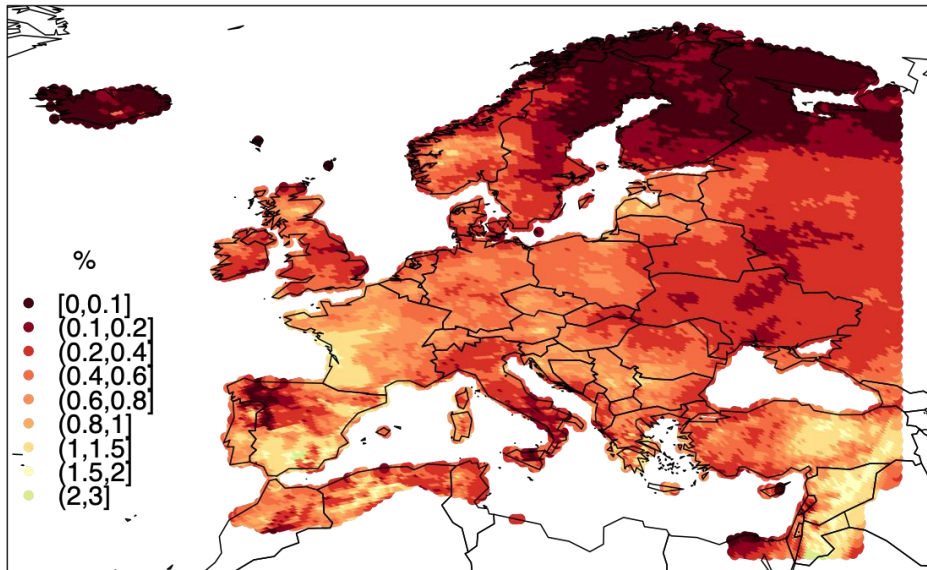
INVIERNO

NOCHES FRÍAS

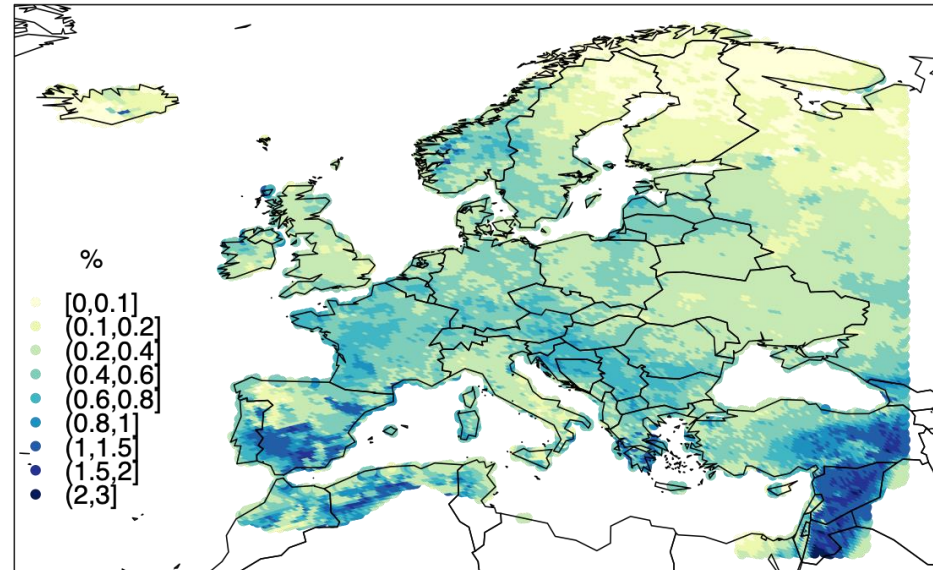
Total estacional en que
temperatura min diaria
 $<$ percentil 5th (Tmin5)
del invierno



FUTURE MULTI-MODEL MEAN



SD (FUTURE MULTI-MODEL MEAN)



OLA DE FRÍO

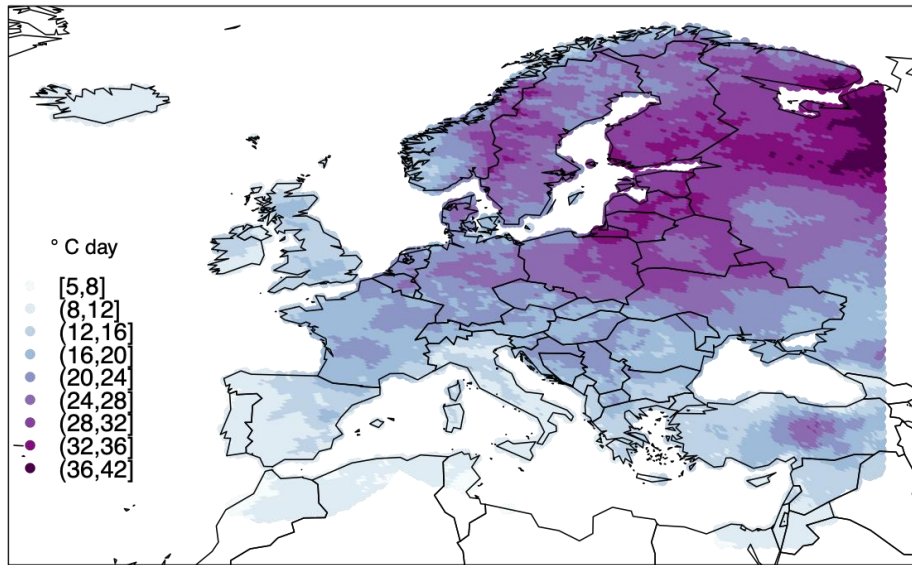
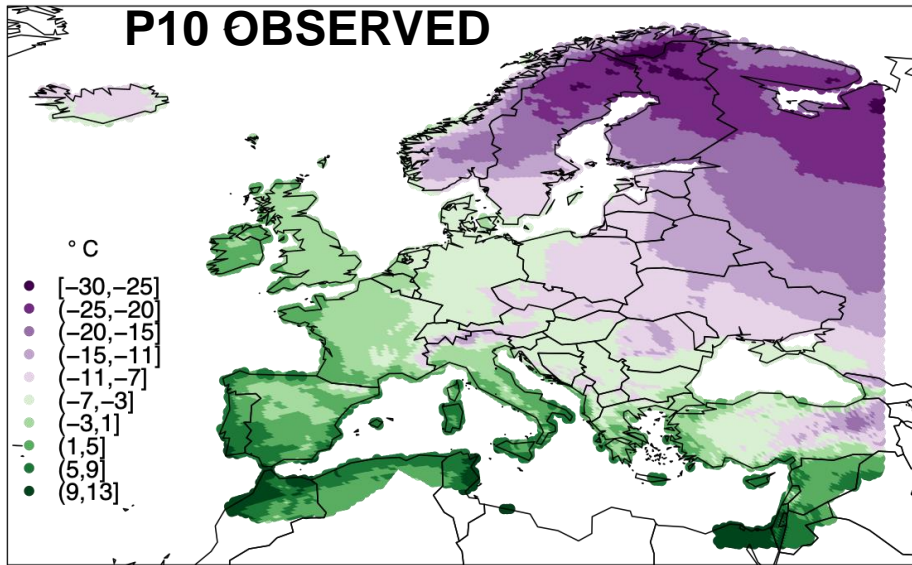
Episodio de al menos 3 días **consecutivos** con la **temperatura media** diaria < percentil 10th (**Tmean10**) de las temperaturas medias diarias observadas en **INVIERNO**

AMPLITUD DE LA OLA DE FRÍO (CSA, °C-día)

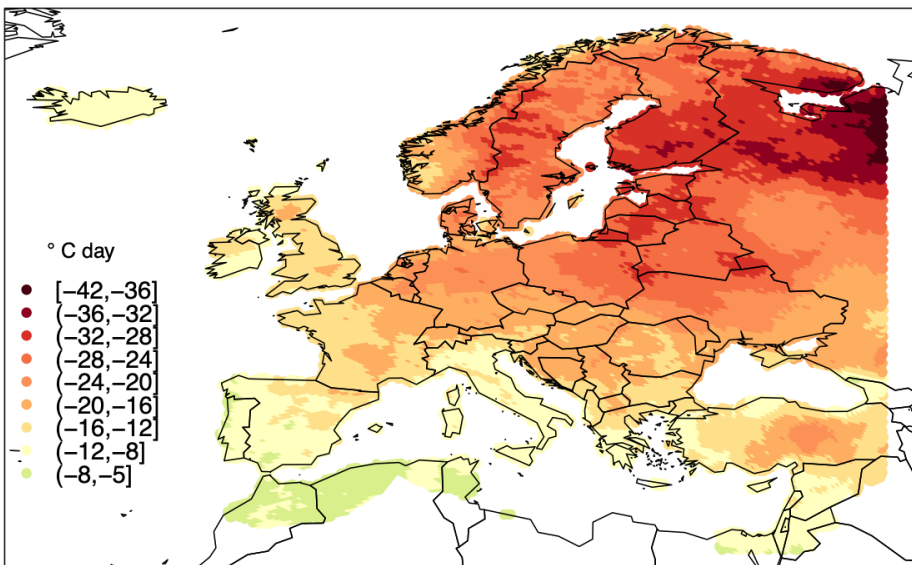
OLAS DE FRÍO (CSA)

INVIERNO

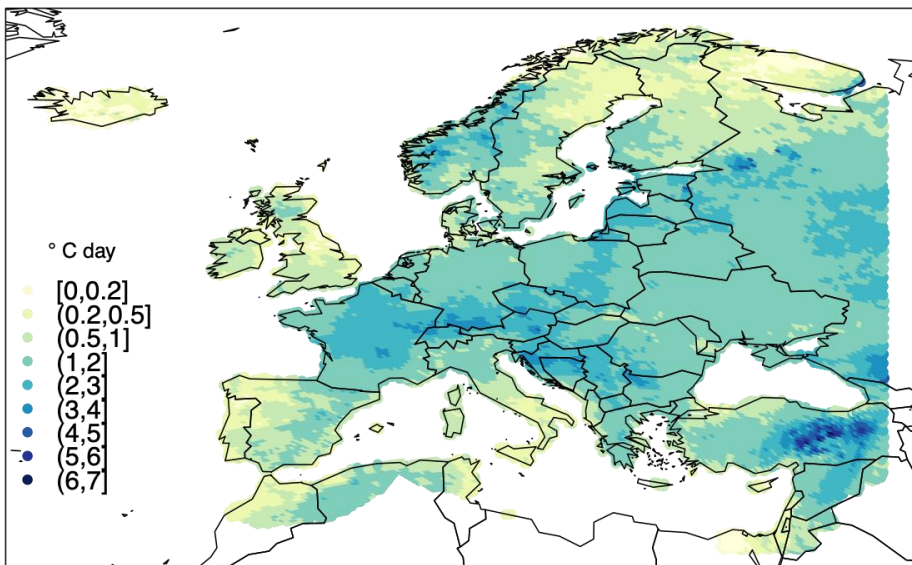
P10 OBSERVED



FUTURE MULTI-MODEL MEAN CHANGE



SD (FUTURE MULTI-MODEL MEAN CHANGE)



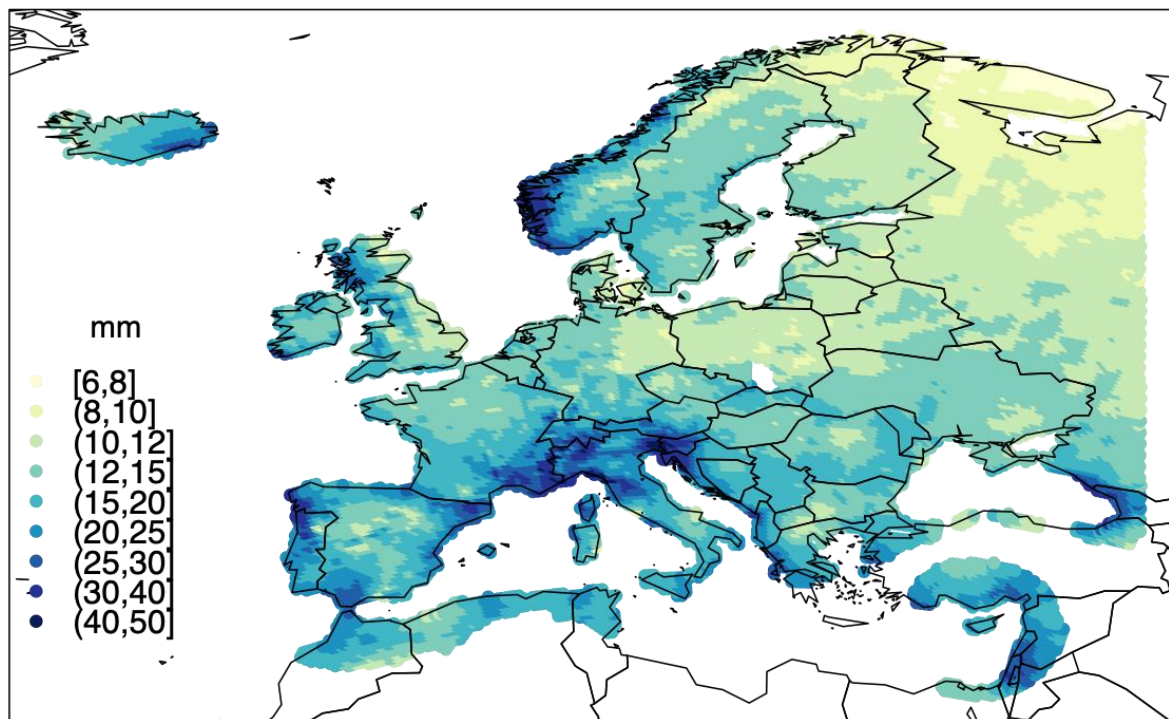
EXTREMOS DE PRECIPITACIÓN

Table 2: Extreme precipitation index definitions

Name	Definition	Units
Heavy precipitation days	Seasonal count when daily precipitation > annual 95th percentile	day
Heavy precipitation episode	Episode of at least two consecutive days with daily precipitation > annual 95th percentile	–
Heavy precipitation amplitude	Accumulated rainfall stress exceedance for all heavy precipitation days	mm-day
Dry days	Annual and seasonal count when daily precipitation < 0.1 mm	day
Dry spell	Episode of at least three consecutive days with daily precipitation < 0.1 mm	–
Drought	Dry spell of length > 95th length percentile of all identified dry spells in the present climate	–

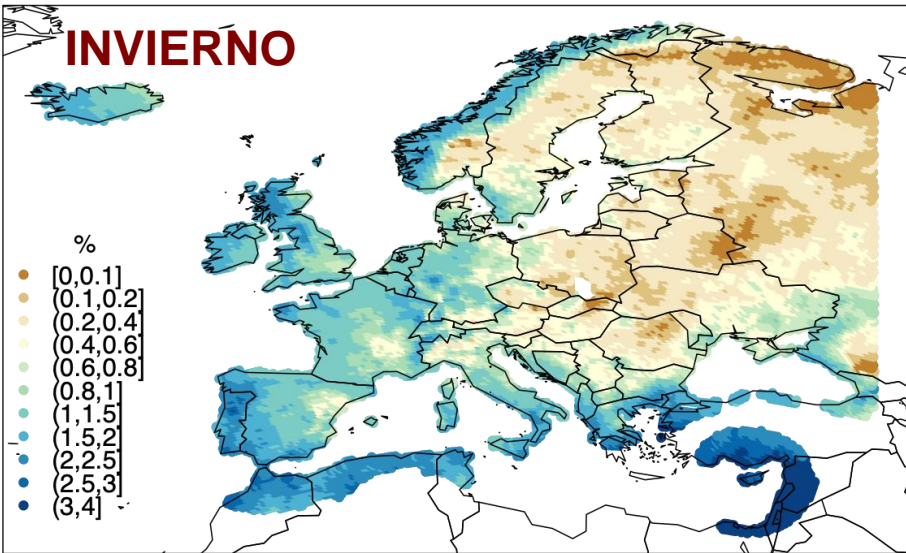
DÍAS DE PRECIPITACIÓN INTENSA

Total estacional en que
precipitación acumulada diaria
> percentil 95th anual (Precip95)
(solo días con precip ≥ 0.1 mm)

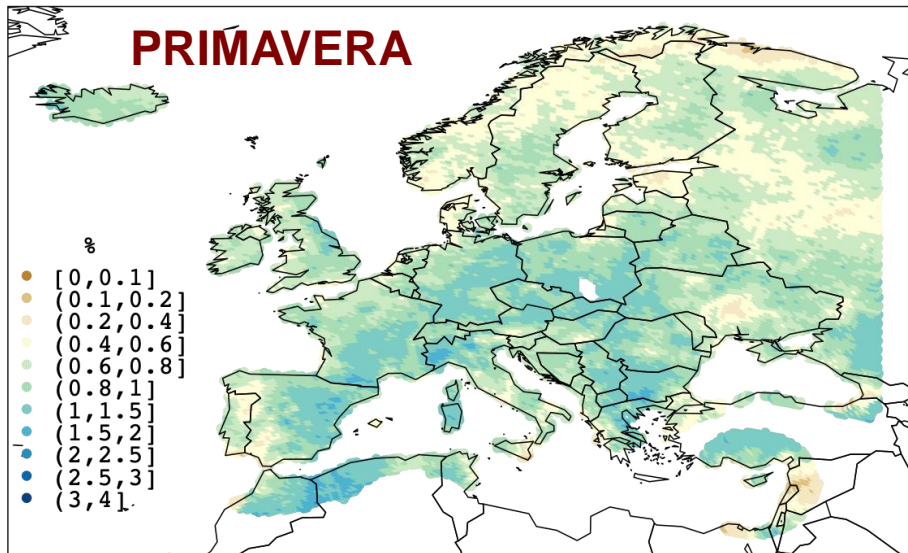


DÍAS DE PRECIPITACIÓN INTENSA

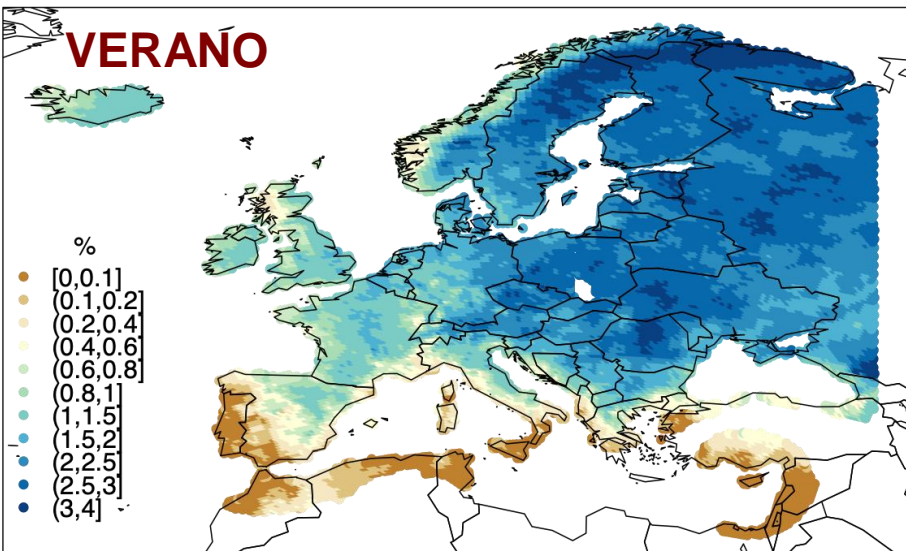
INVIERNO



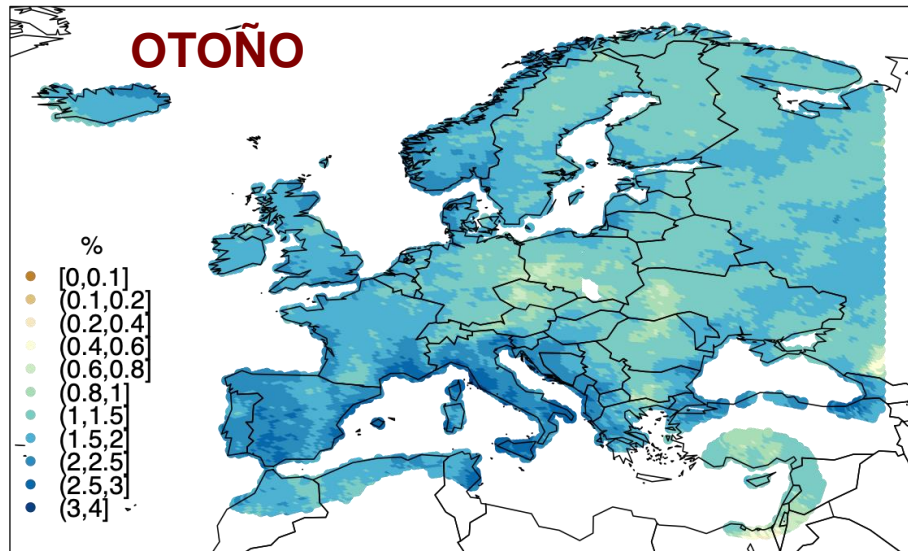
PRIMAVERA



VERANO



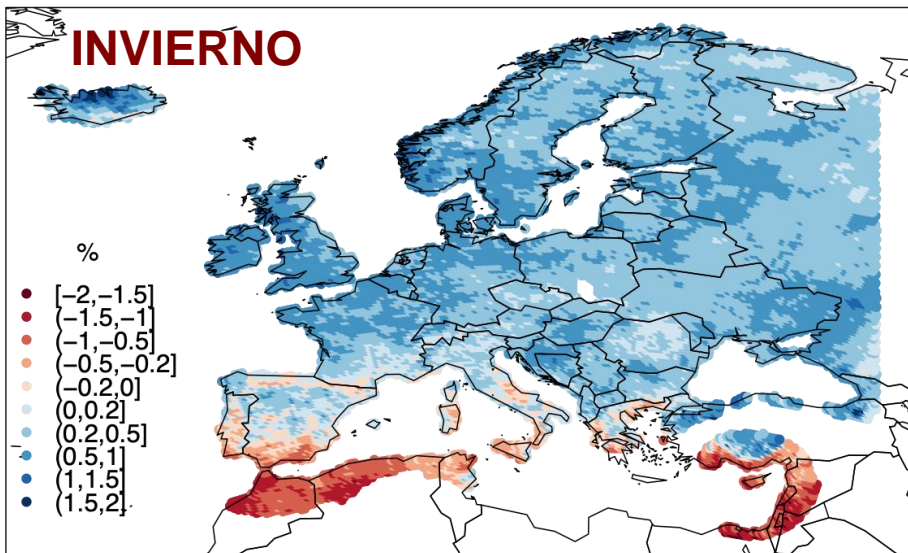
OTOÑO



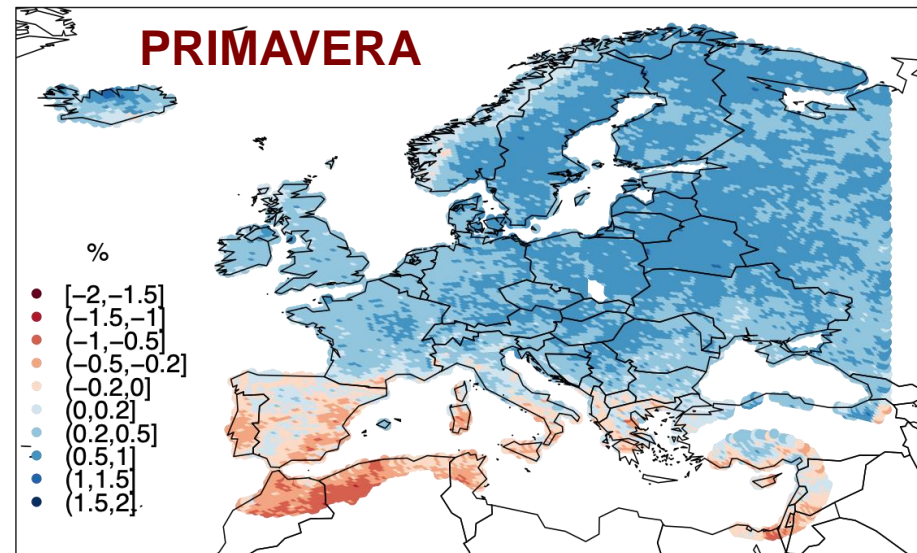
DÍAS DE PRECIPITACIÓN INTENSA

FUTURE MULTI-MODEL MEAN CHANGE

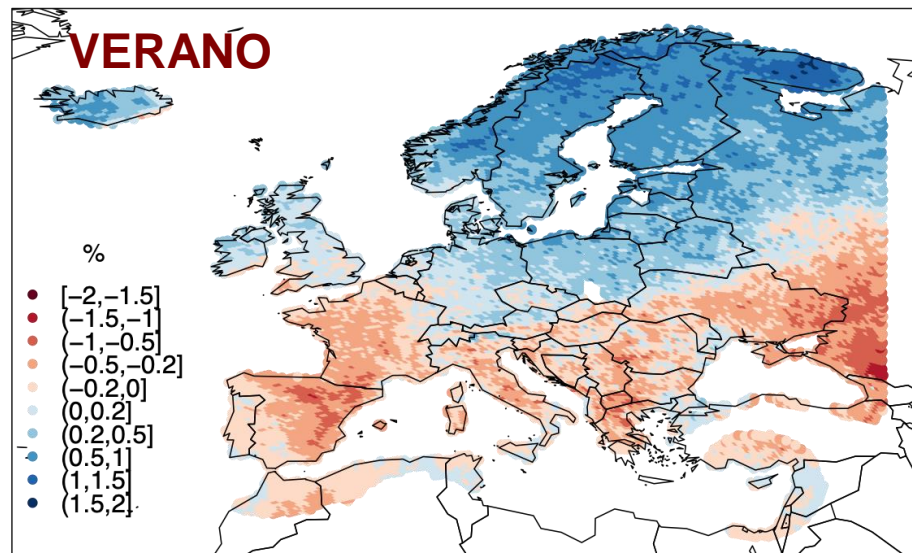
INVIERNO



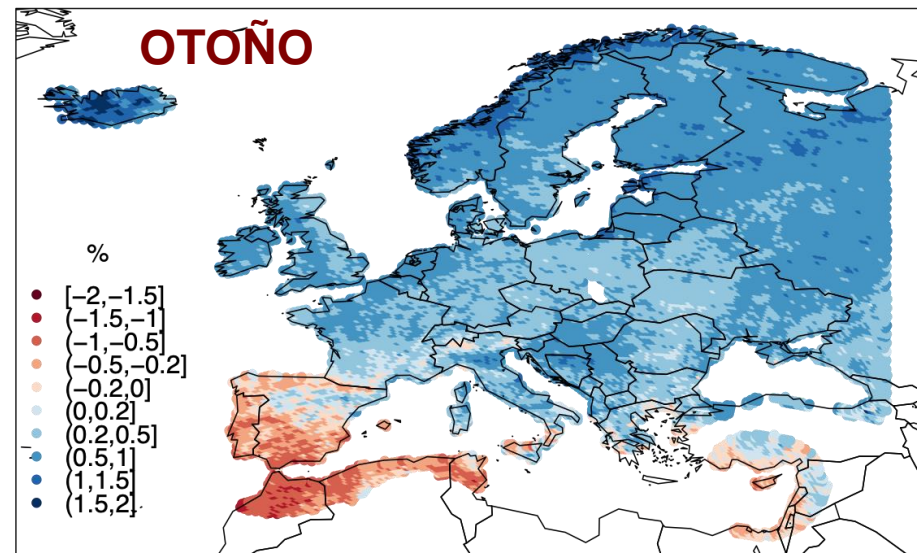
PRIMAVERA



VERANO



OTOÑO



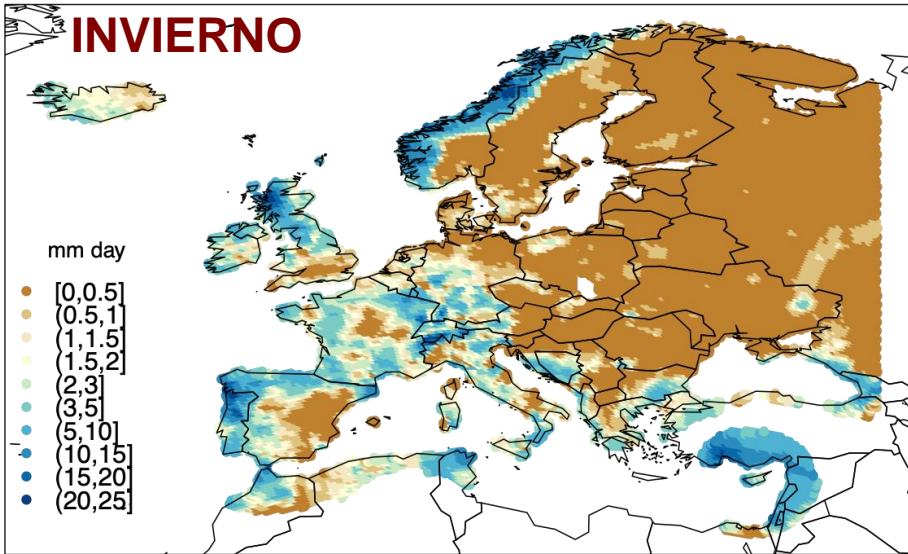
EPISODIO DE PRECIPITACIÓN INTENSA

Episodio de al menos **2 días consecutivos** con **precipitación diaria > percentil 95th (Precip95)**; $pr \geq 0.1\text{mm}$) de las precipitaciones diarias observadas **ANUALMENTE**

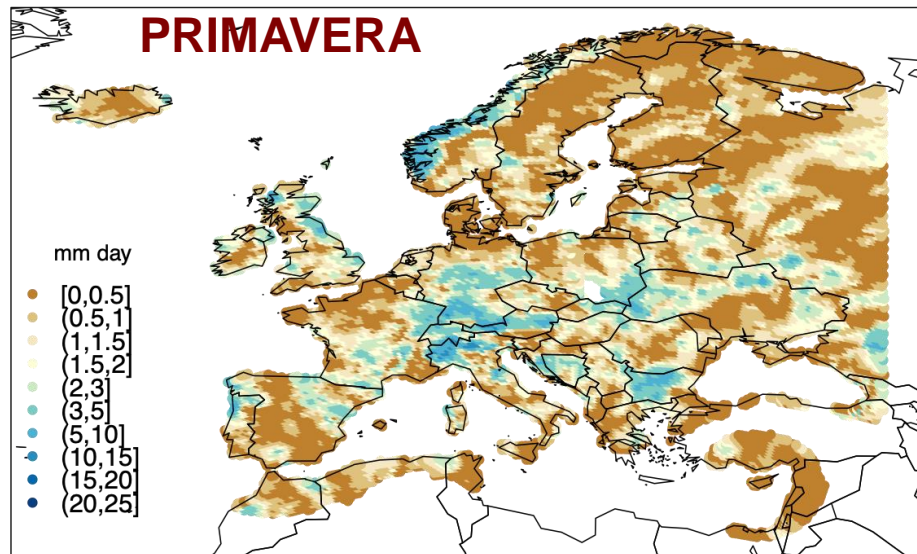
AMPLITUD DEL EPISODIO INTENSO (HPA, mm-día)

EPISODIOS DE PRECIPITACIÓN INTENSA (HPA)

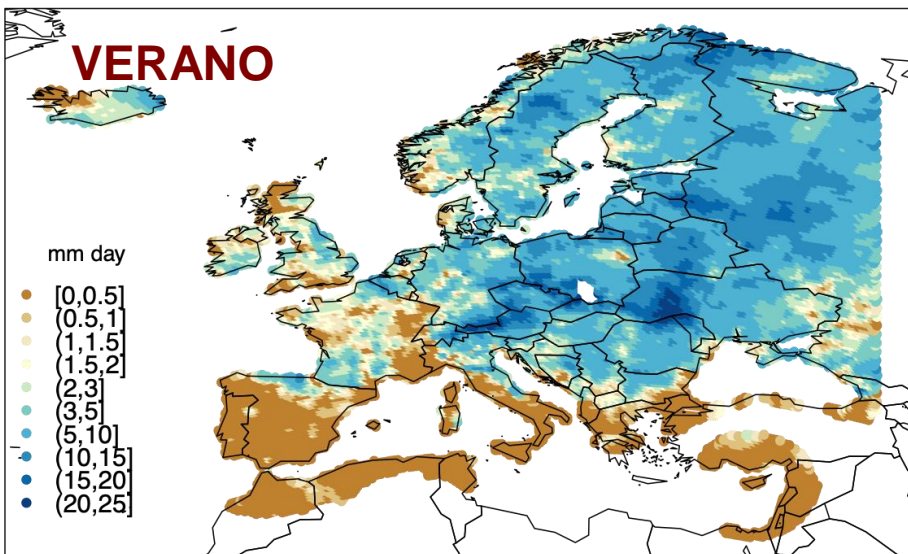
INVIERNO



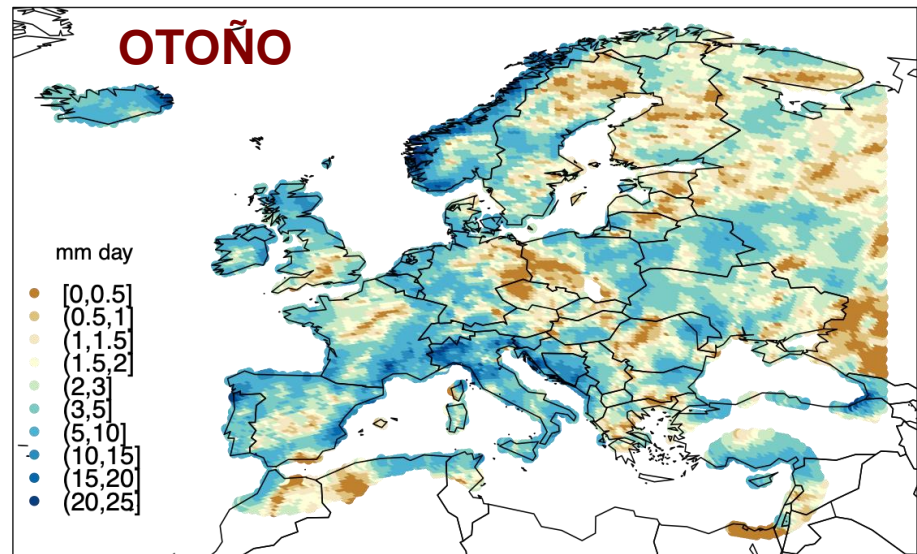
PRIMAVERA



VERANO



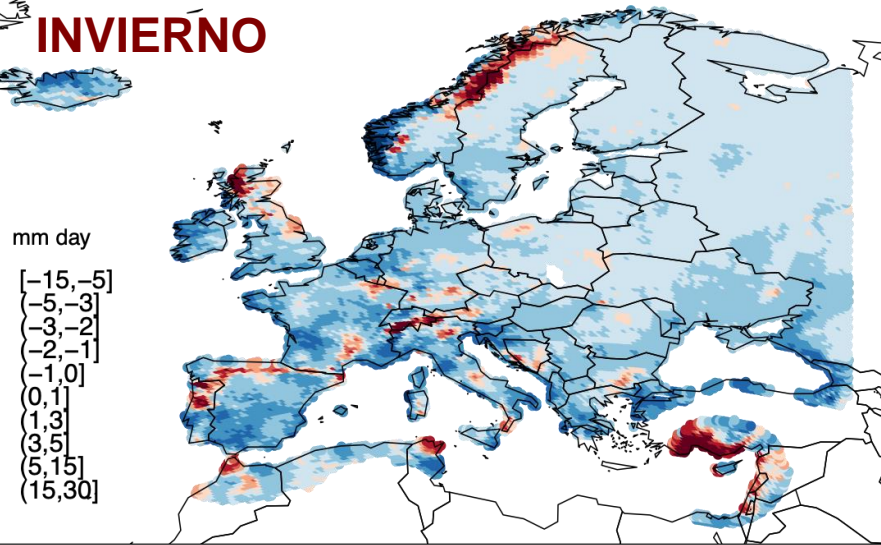
OTOÑO



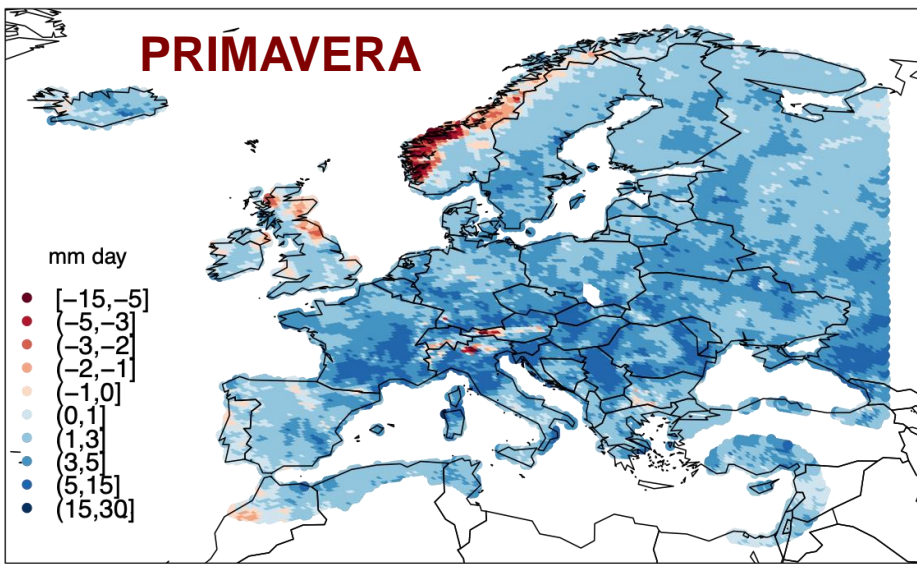
EPISODIOS DE PRECIPITACIÓN INTENSA (HPA)

FUTURE MULTI-MODEL MEAN CHANGE

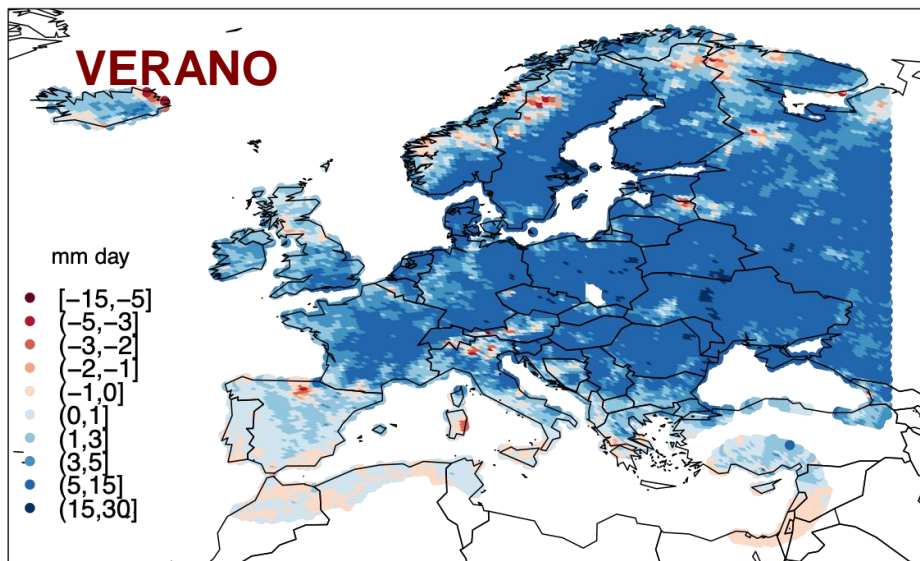
INVIERNO



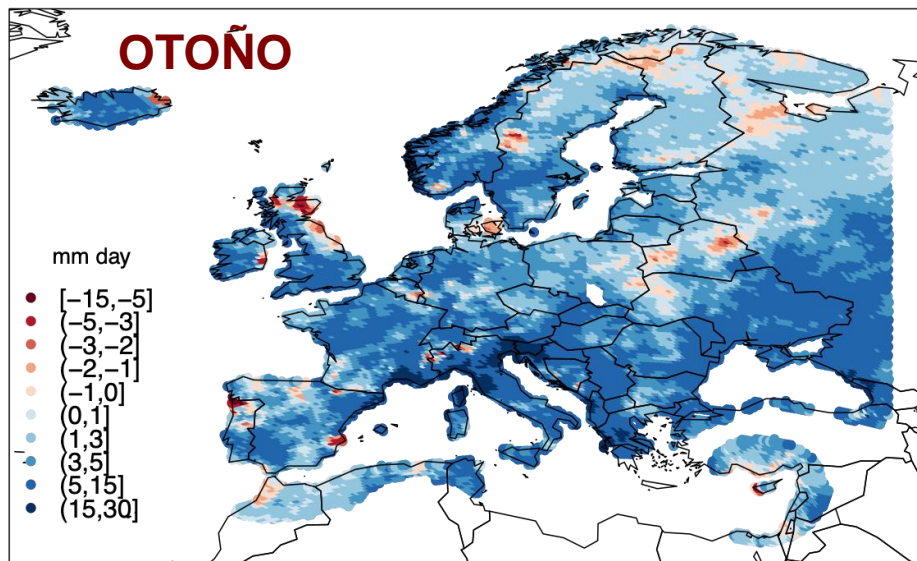
PRIMAVERA



VERANO



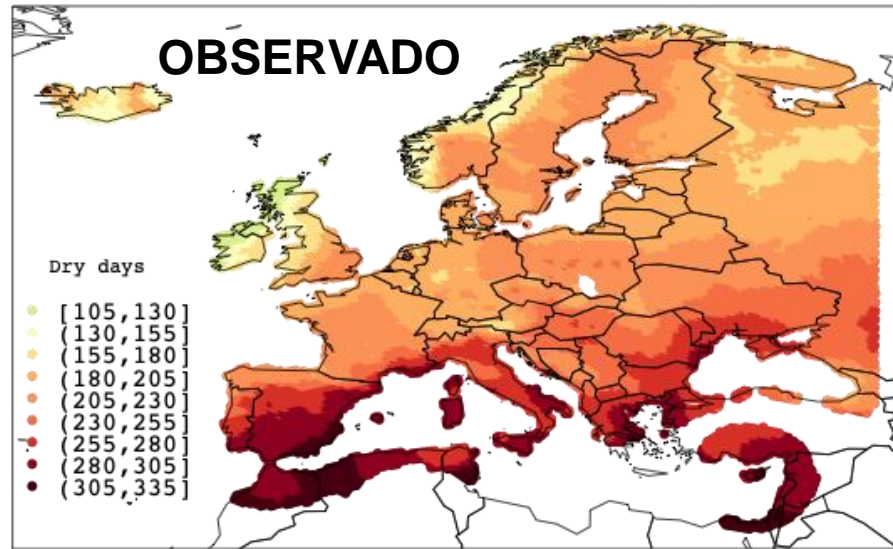
OTOÑO



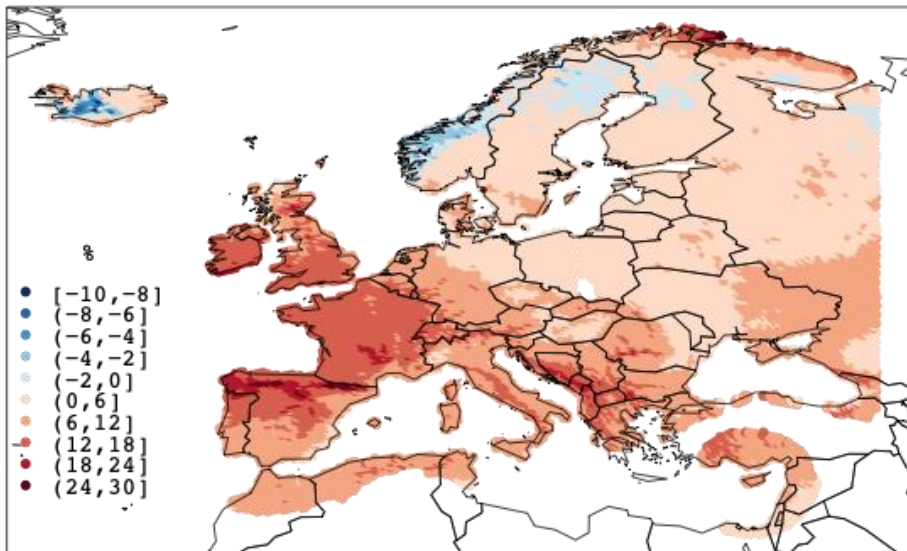
DÍAS SECOS

Total anual y estacional
con precipitación diaria
 $< 0.1 \text{ mm}$

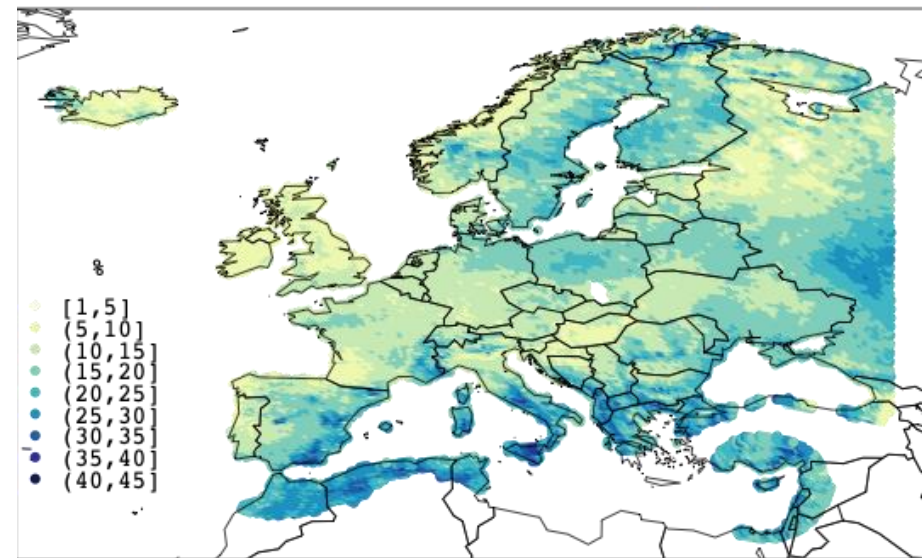
ANUAL



FUTURE MULTI-MODEL MEAN CHANGE



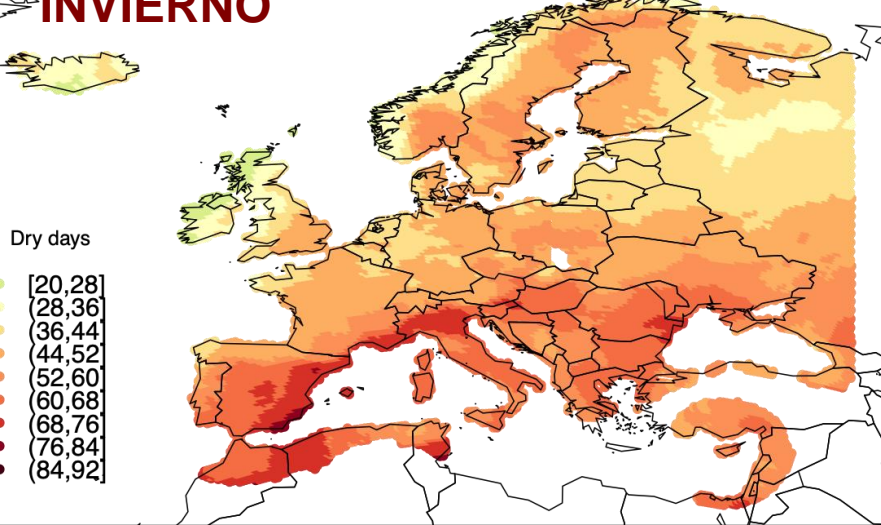
SD (FUTURE MULTI-MODEL MEAN CHANGE)



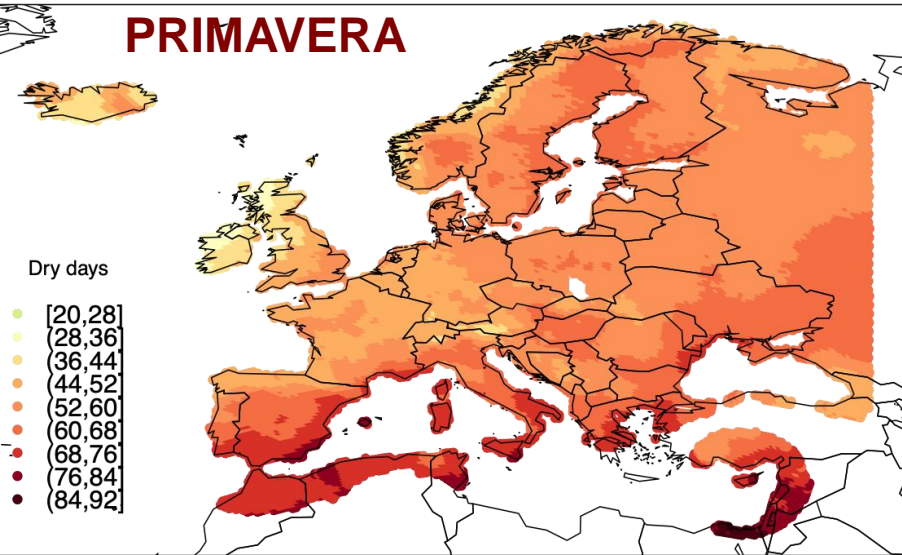
DÍAS SECOS

OBSERVADO

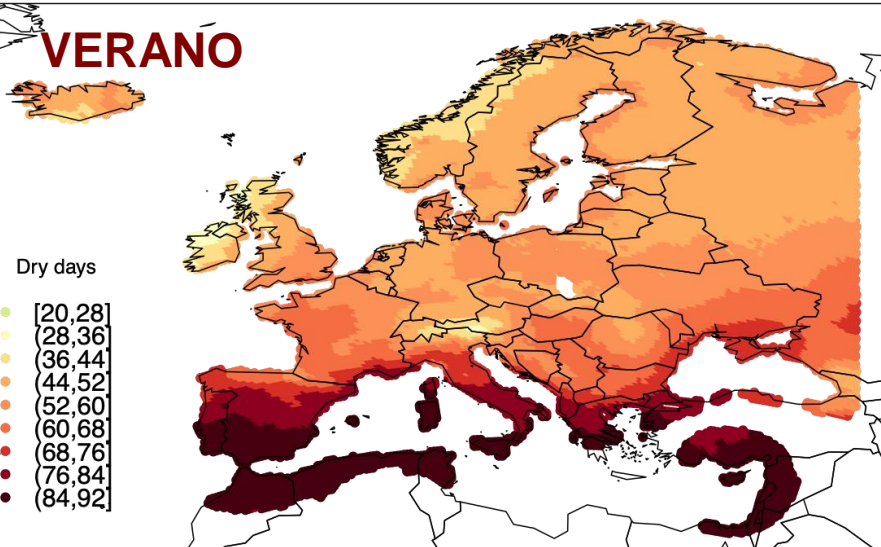
INVIERNO



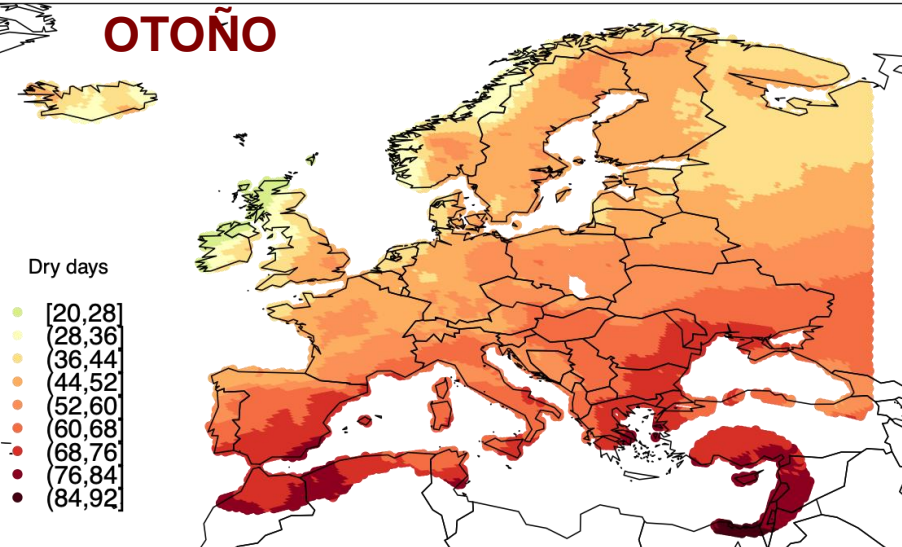
PRIMAVERA



VERANO



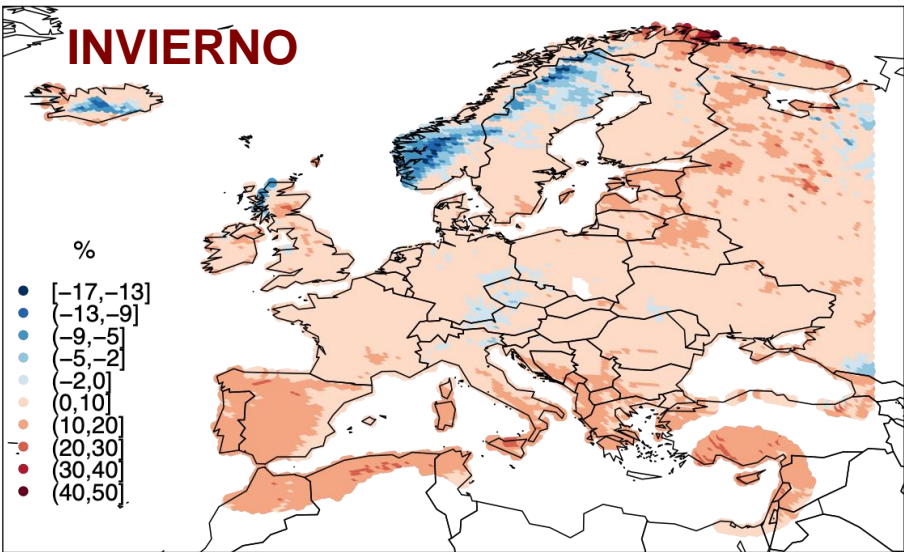
OTOÑO



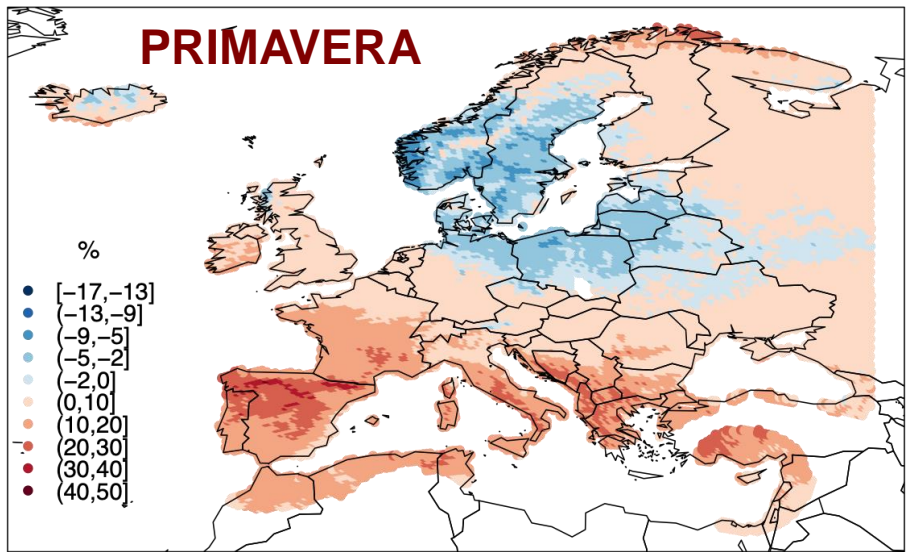
DÍAS SECOS

FUTURE MULTI-MODEL MEAN CHANGE

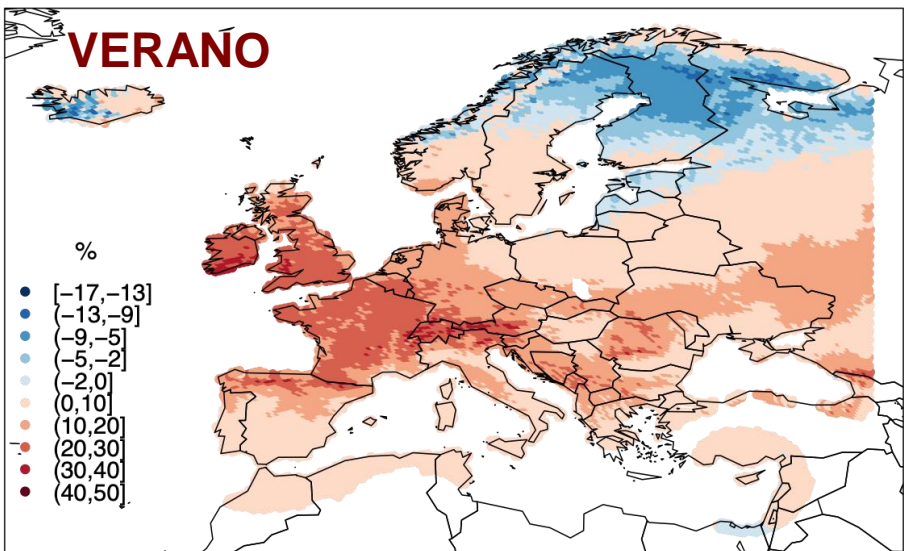
INVIERNO



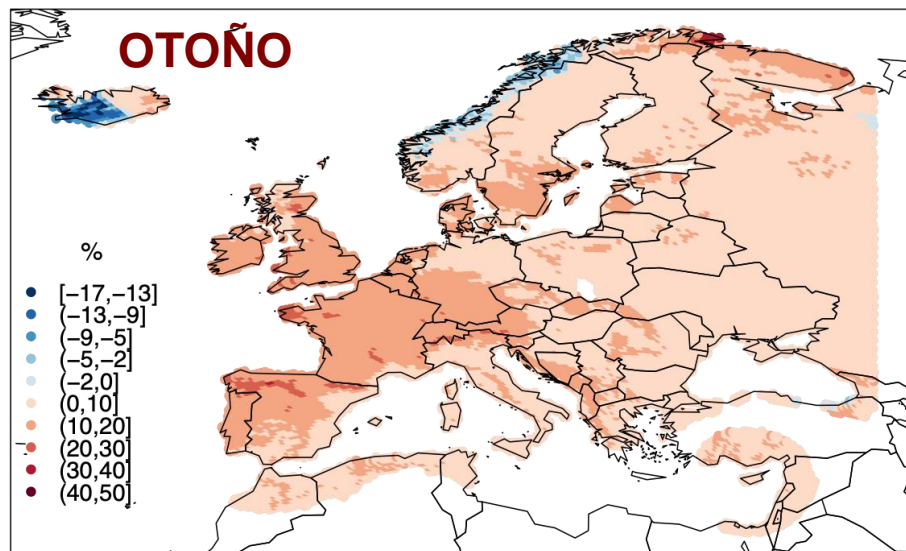
PRIMAVERA



VERANO

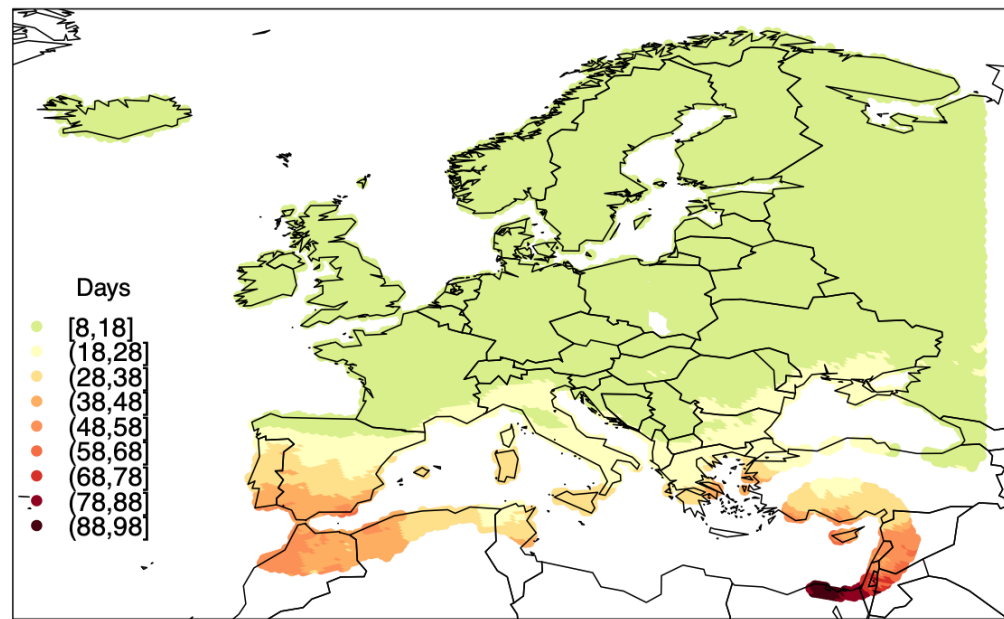


OTOÑO



SEQUÍA

Episodio seco con una **duración > percentil 95th** de las longitudes en días de los episodios secos identificados en el **CLIMA ACTUAL**

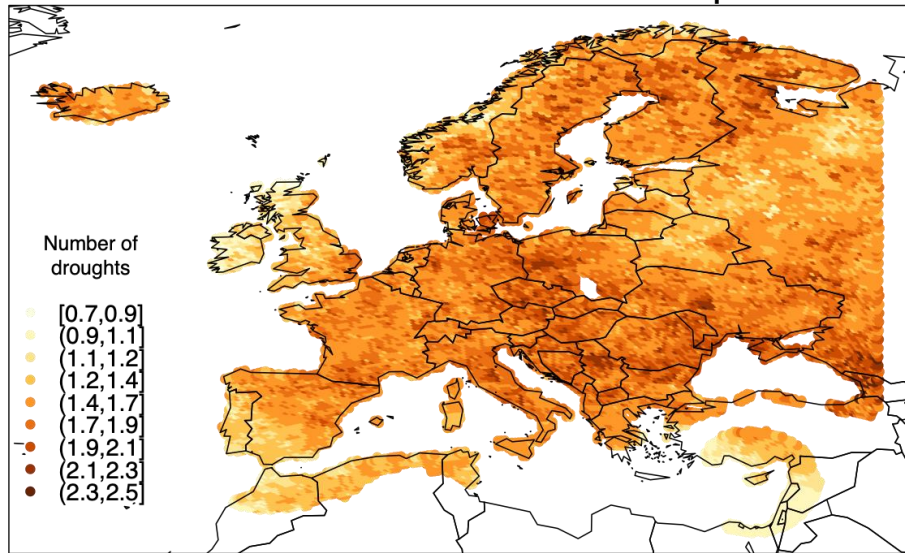


P95 OBSERVADO duración episodios secos

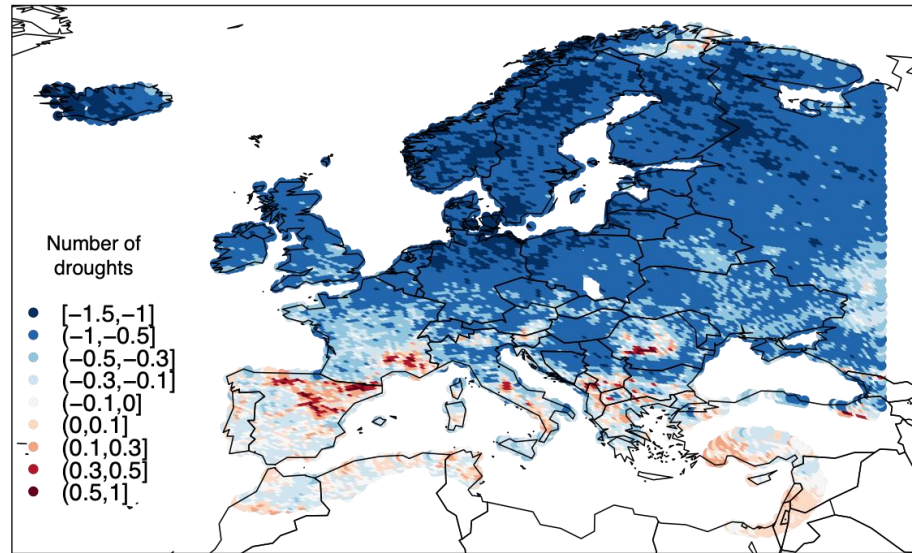
SEQUÍAS

ANUAL

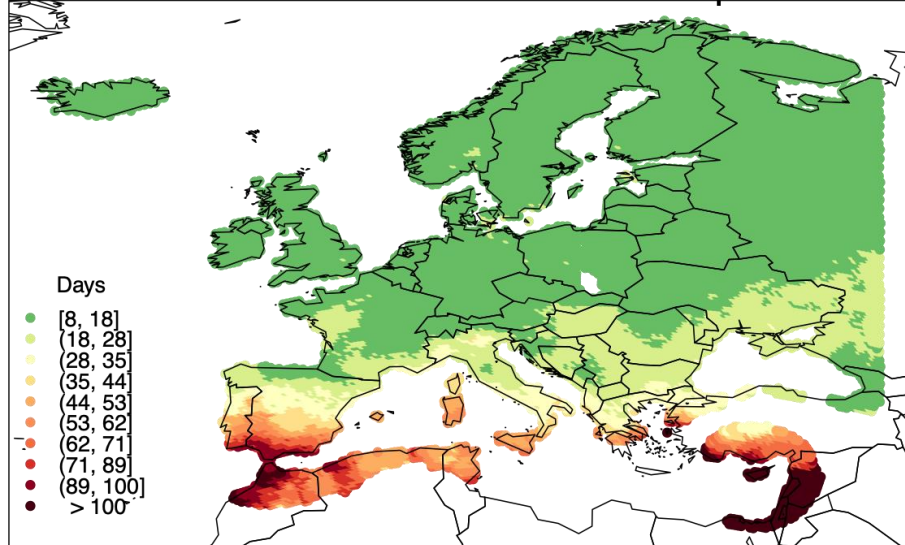
OBSERVADO: número sequías



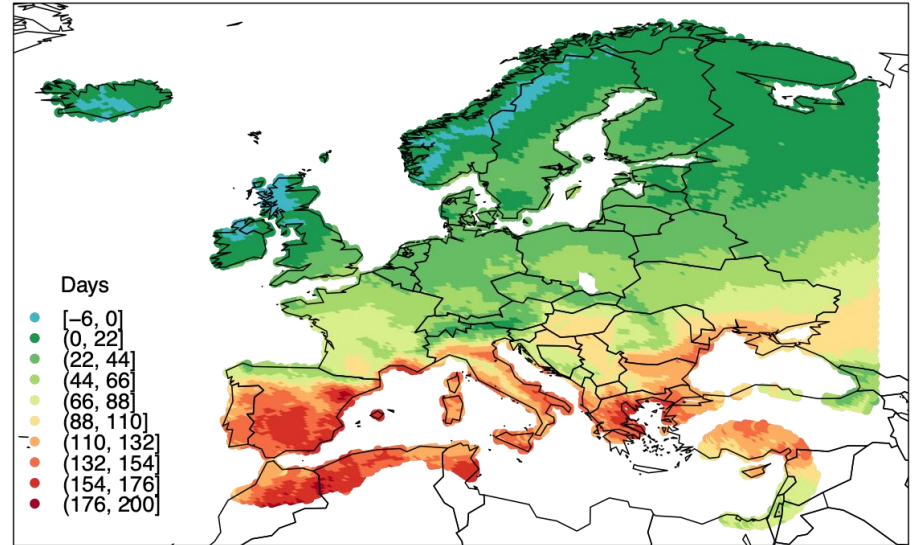
FUTURE MULTI-MODEL MEAN CHANGE



OBSERVADO: duración sequías

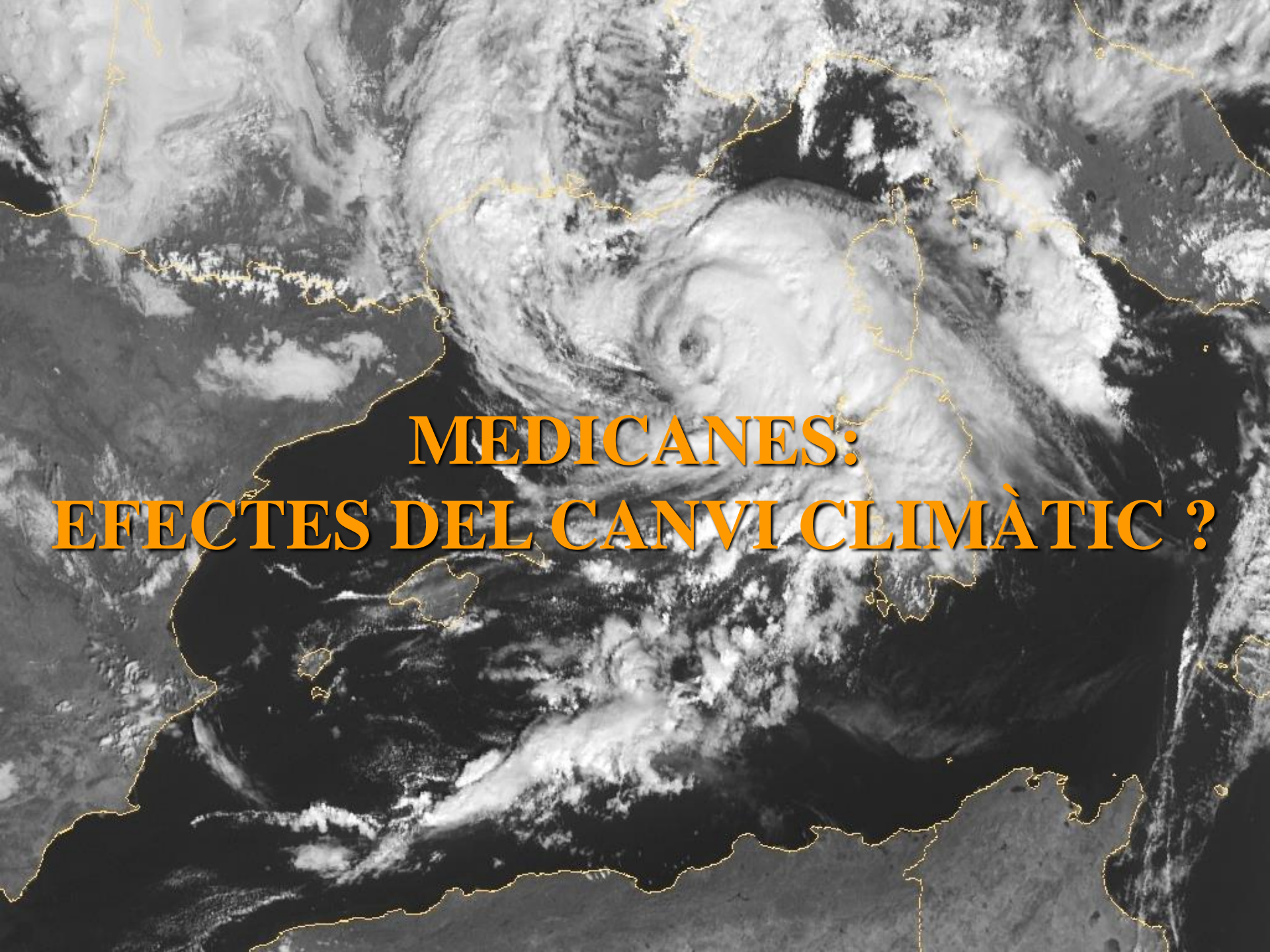


FUTURE MULTI-MODEL MEAN CHANGE



Conclusiones

- Los **extremos cálidos aumentarán** de manera muy acentuada en Europa durante todo el año. El verano será la estación más afectada, particularmente en los países del sur.
- Los **países Mediterráneos** son especialmente vulnerables debido al fuerte incremento de la amplitud (estrés térmico) de las **olas de calor estivales**, las cuales además **se extienden** hacia la primavera y el otoño.
- La **frecuencia de noches frías se reducirá** en toda Europa. Las zonas más afectadas serían Escandinavia y el Norte de Rusia.
- Las proyecciones indican que las **olas de frío serán menos frecuentes y severas** en Europa. El Norte del continente será la zona que experimentará una mayor disminución de amplitud.
- Se espera que los **días de precipitación intensa aumenten en el Centro y Norte de Europa** en todas las estaciones, mientras que **disminuyan en algunas zonas del Mediterráneo**.
- La **amplitud de los episodios de lluvia intensa aumentará** durante las cuatro estaciones. La **zona Mediterránea** experimentará una **intensificación severa** de su **ciclo hidrológico**.
- A pesar del incremento general de los días de lluvia intensa y de su amplitud, **los episodios secos también aumentarán notablemente** en vastas extensiones del continente.
- Como consecuencia, podría haber en el futuro menos **sequías** (ojo definición !!!) pero estas serían **mucho más severas**, es decir, más largas (buen exponente de ello sería la **región Mediterránea**)



MEDICANES: EFECTES DEL CANVI CLIMÀTIC ?

DOWNSCALING: Método dinámico-estadístico

- *Adaptación del método pionero de **Kerry Emanuel** (MIT, USA)*
- *Generación de **miles de huracanes sintéticos** a bajo coste !!!*
- *Evaluación del riesgo con **gran robustez estadística** (p.e. **períodos de retorno viento extremo**)*



REANALYSIS 1

ERA-interim

20349 tracks

7918 survivors

200 storms/century

REANALYSIS 2

NCEP-ncar

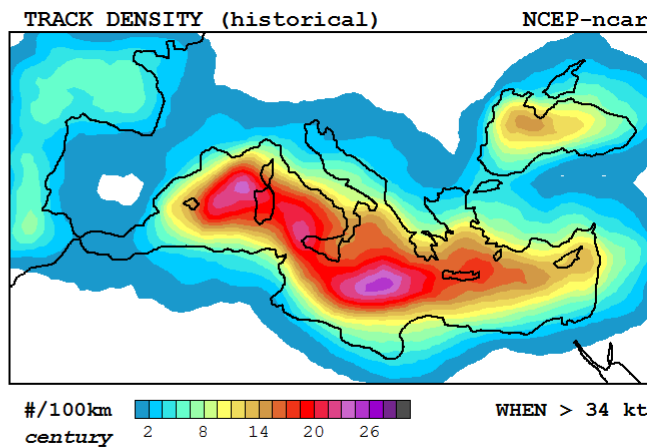
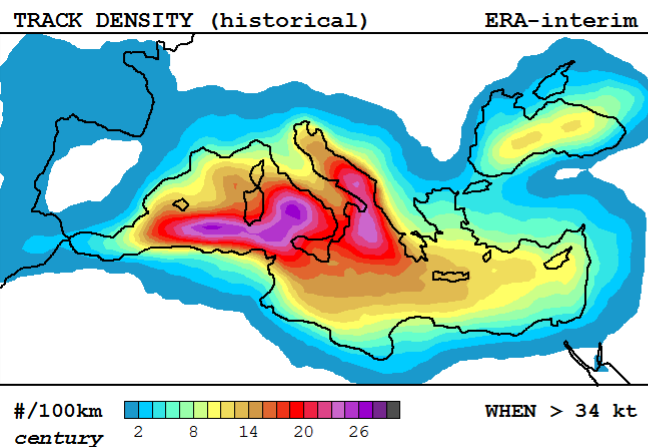
20276 tracks

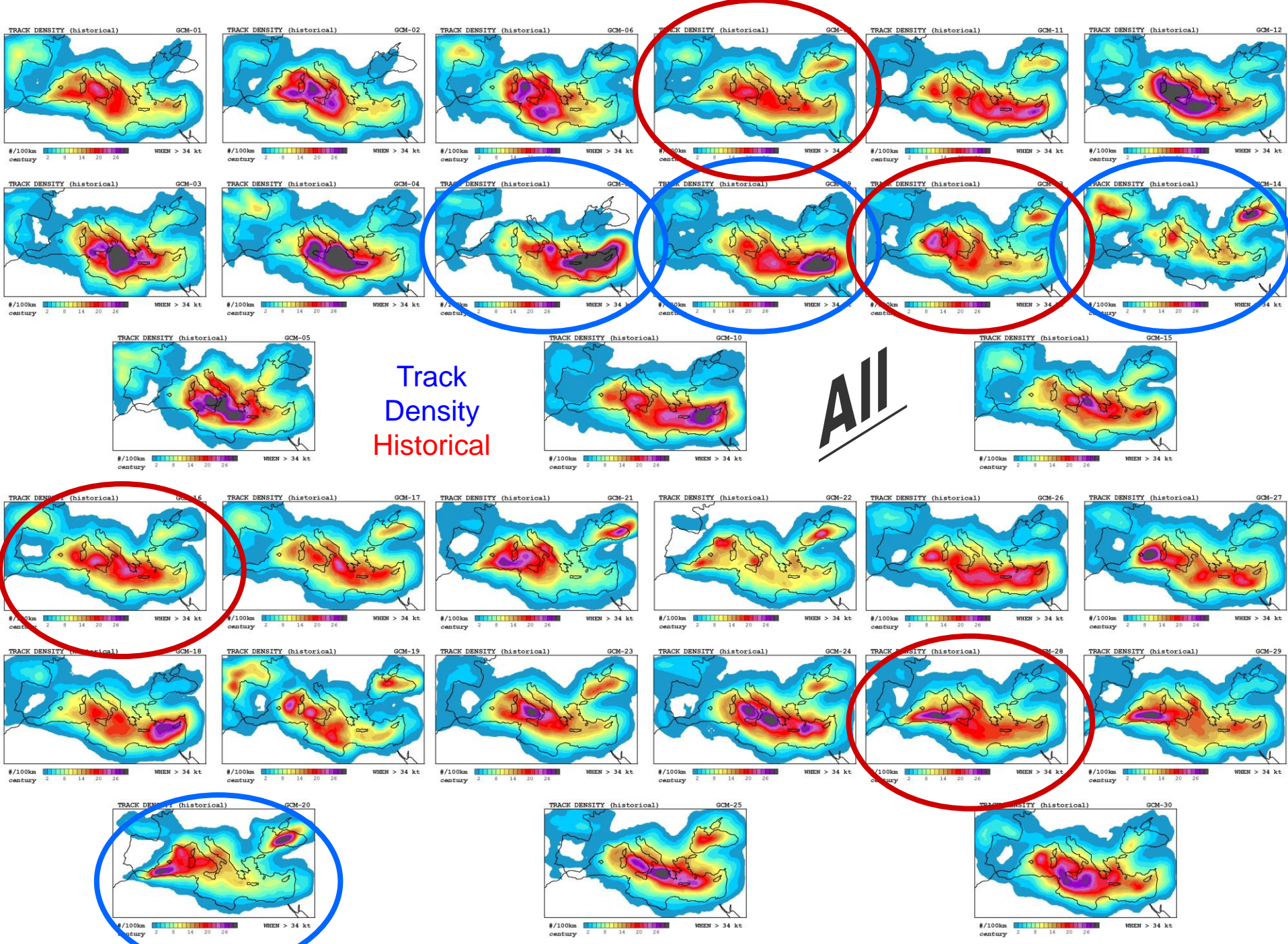
6379 survivors

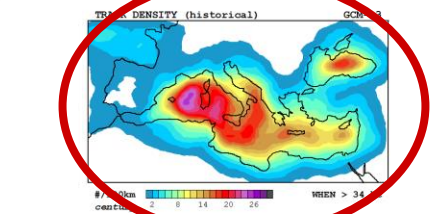
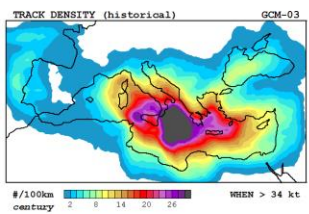
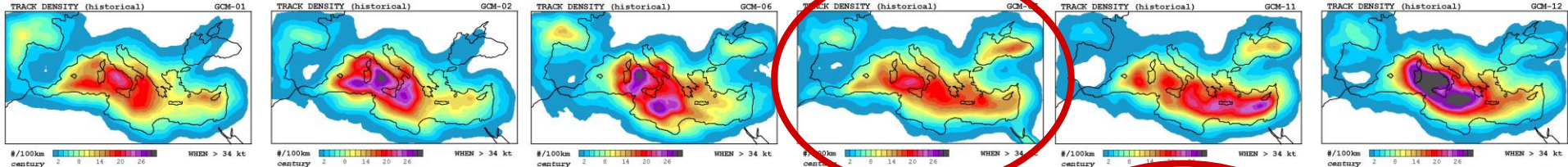
200 storms/century

**HISTORICAL
scenario**

**200 storms
(per century)**

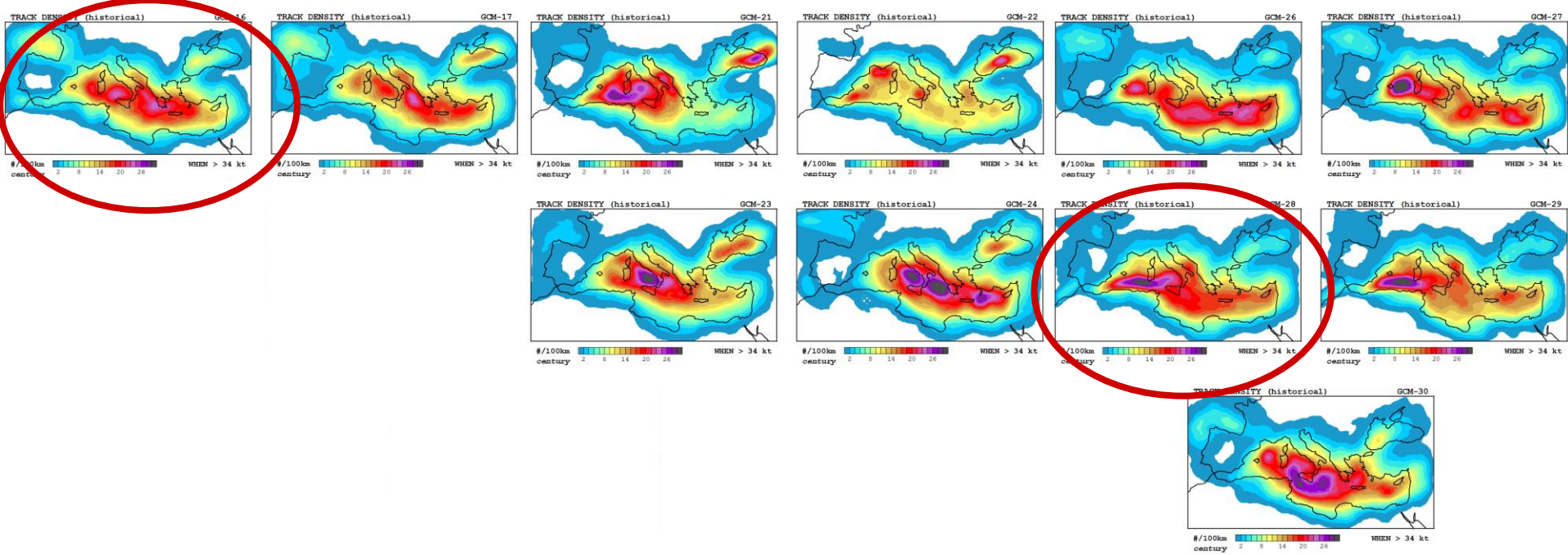






Track Density Historical

Best



GCM-01 <i>ACCESS1.0</i> 22539 tracks 7521 survivors 209.27 storms/century	GCM-02 <i>ACCESS1.3</i> 28304 tracks 8335 survivors 228.95 storms/century	GCM-06 <i>CanESM2</i> 14750 tracks 3843 survivors 145.90 storms/century	GCM-07 <i>CCSM4</i> 20560 tracks 6236 survivors 177.87 storms/century	GCM-11 <i>CNRM-CM5</i> 30505 tracks 8689 survivors 265.92 storms/century	GCM-12 <i>CSIRO-Mk3.6.0</i> 12085 tracks 2382 survivors 78.95 storms/century
---	---	---	---	--	--

GCM-03 <i>BCC-CSM1.1</i> 20439 tracks 2932 survivors 192.58 storms/century
--

GCM-13 <i>EC-EARTH</i> 32781 tracks 12359 survivors 317.18 storms/century

BEST

RCP85 scenario

198.09 storms
(per century)

GCM-16 <i>GFDL-ESM2G</i> 20348 tracks 4686 survivors 176.53 storms/century	GCM-17 <i>GFDL-ESM2M</i> 16884 tracks 3996 survivors 142.82 storms/century	GCM-21 <i>IPSL-CM5A-MR</i> 14172 tracks 2382 survivors 96.85 storms/century	GCM-22 <i>IPSL-CM5B-LR</i> 23922 tracks 6328 survivors 222.78 storms/century	GCM-26 <i>MPI-ESM-LR</i> 19684 tracks 6708 survivors 223.04 storms/century	GCM-27 <i>MPI-ESM-MR</i> 21590 tracks 6969 survivors 245.47 storms/century
--	--	---	--	--	--

GCM-23 <i>MIROC5</i> 29654 tracks 9216 survivors 277.13 storms/century	GCM-24 <i>MIROC-ESM</i> 27239 tracks 5499 survivors 192.64 storms/century	GCM-28 <i>MRI-CGCM3</i> 22758 tracks 5993 survivors 212.25 storms/century	GCM-29 <i>MRI-ESM1</i> 23950 tracks 6432 survivors 218.11 storms/century
--	---	---	--

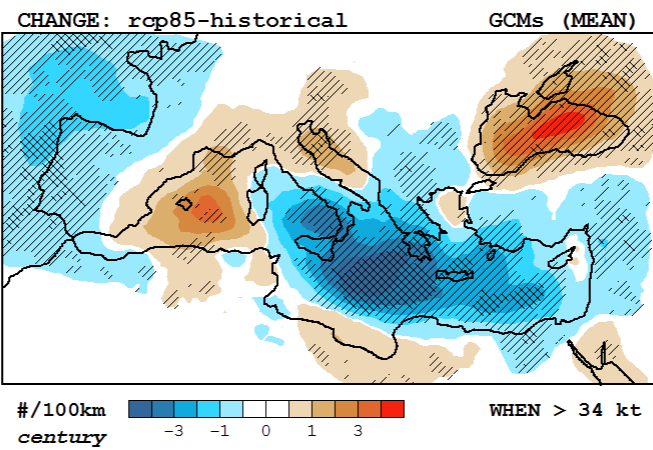
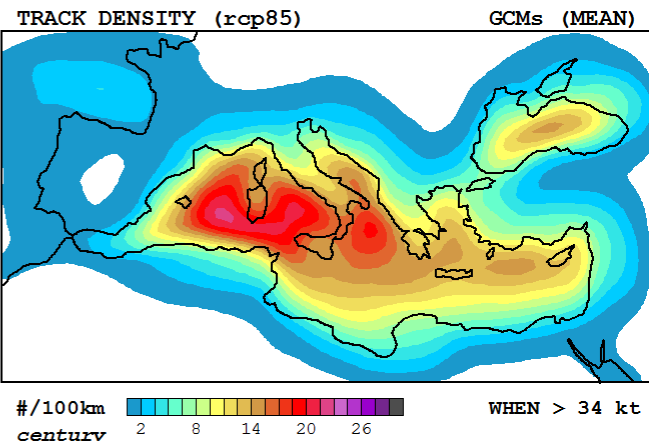
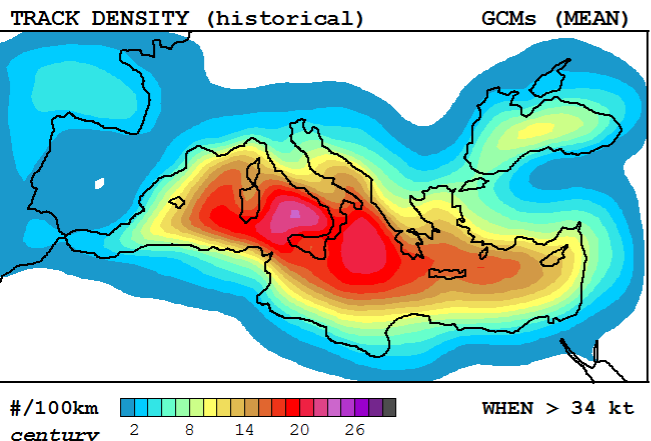
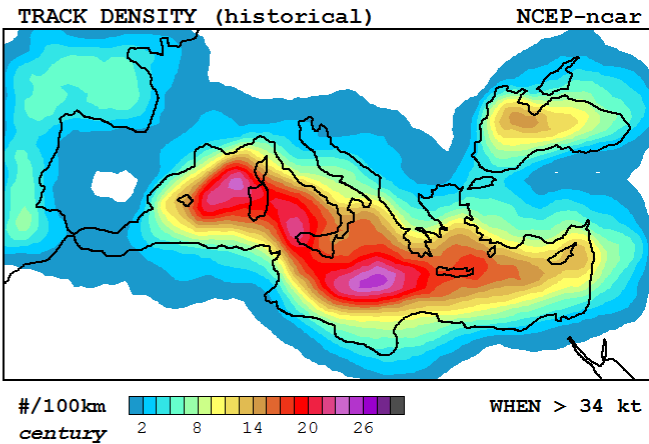
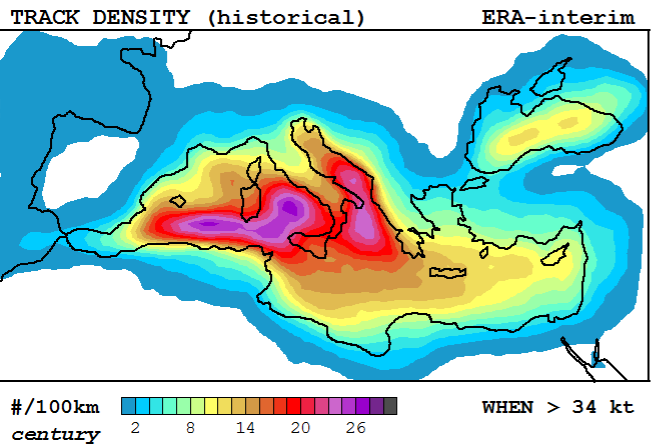
10 models



10 models



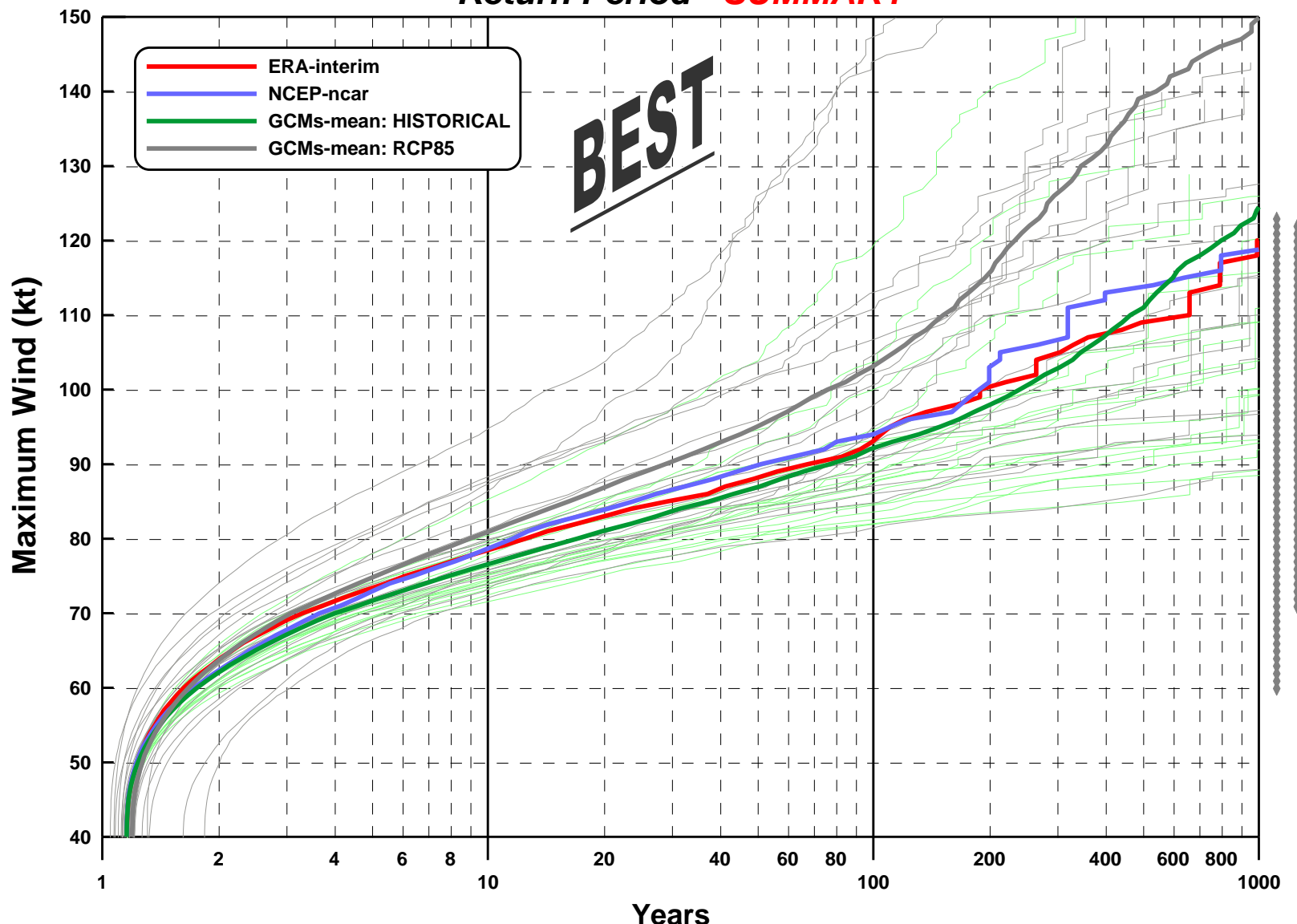
GCM-30 <i>NorESM1-M</i> 22427 tracks 5914 survivors 180.36 storms/century

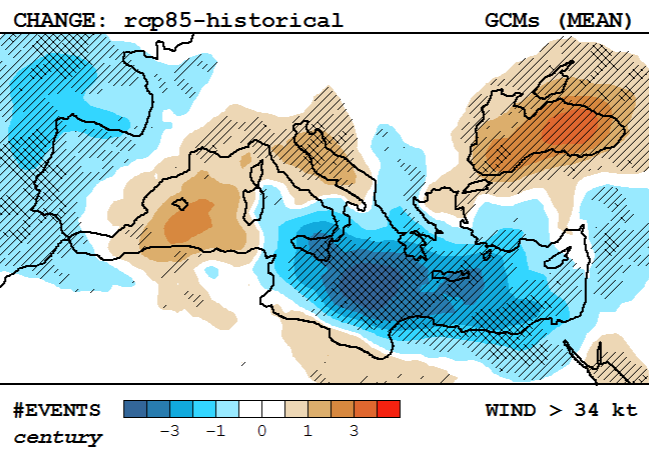
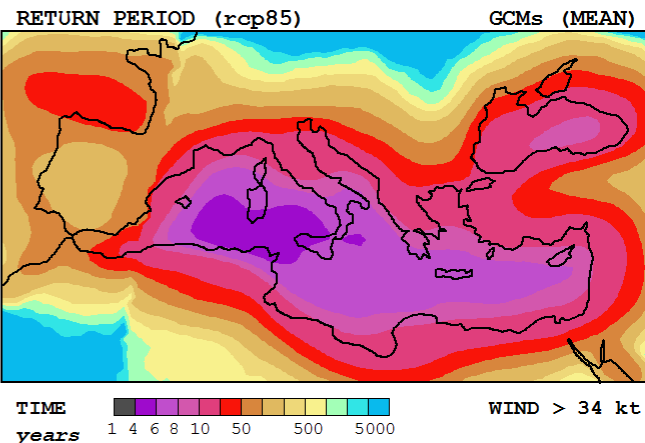
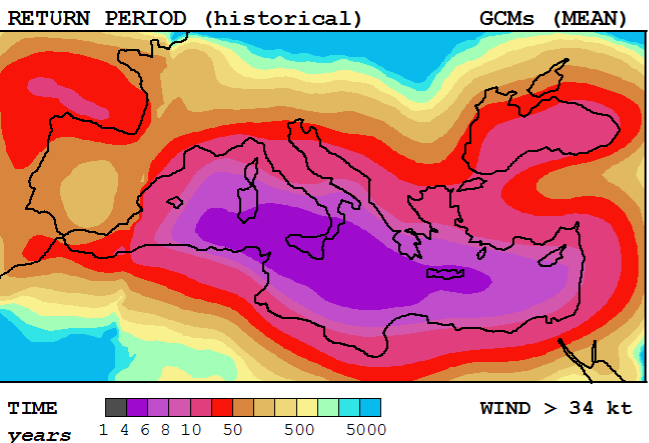
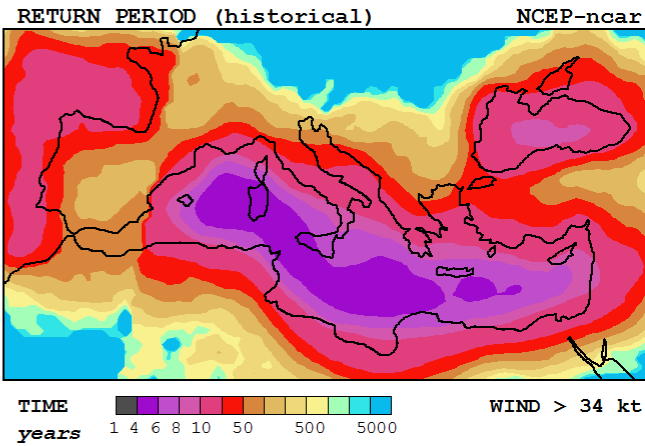
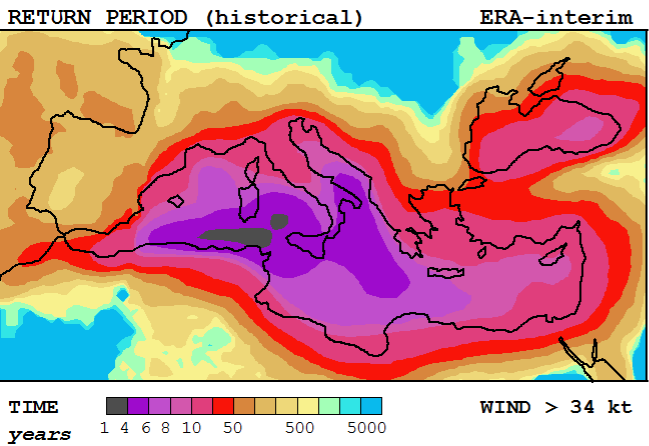


Track
Density
Summary

BEST

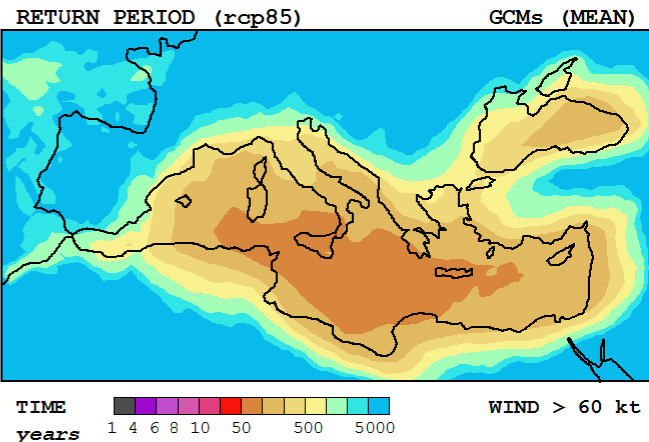
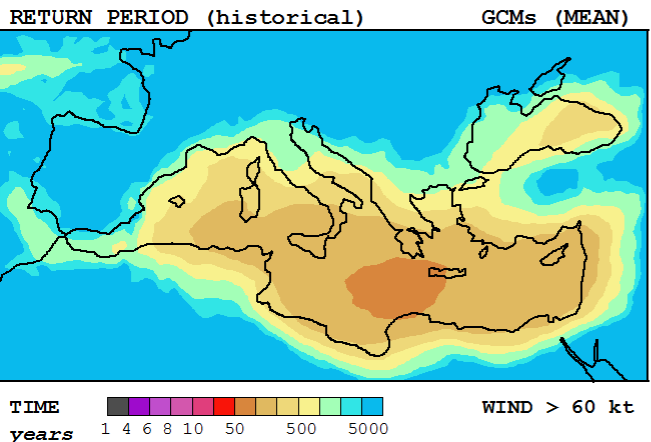
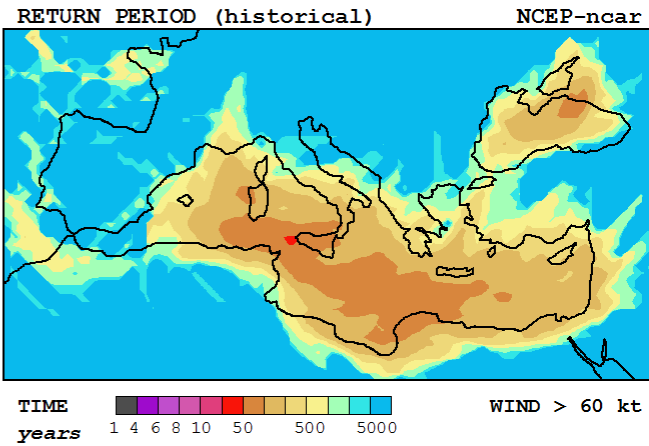
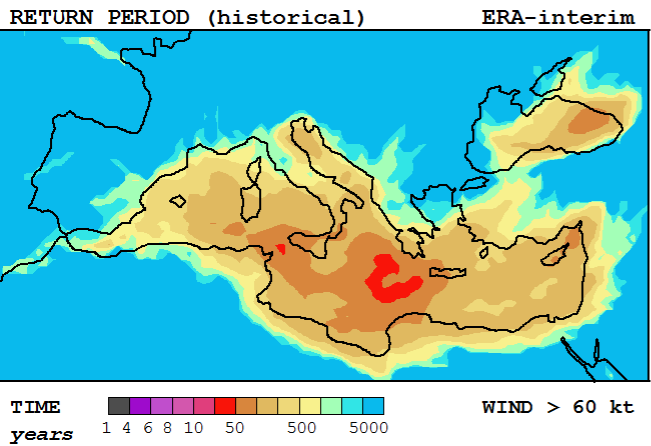
Return Period - **SUMMARY**





Return
Period 34 kt
Summary

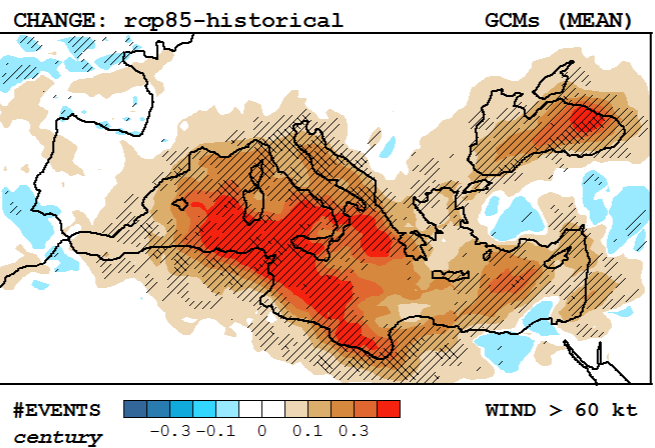
BEST



CORR
REAn01 = 0.604
REAn02 = 0.649
MEAN = **0.626**

RMSE
REAn01 = 4.972
REAn02 = 8.418
MEAN = **6.695**

Return
Period 60 kt
Summary



BEST

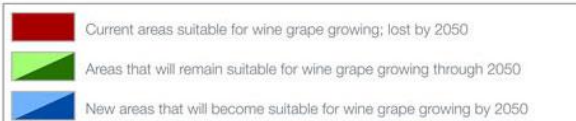
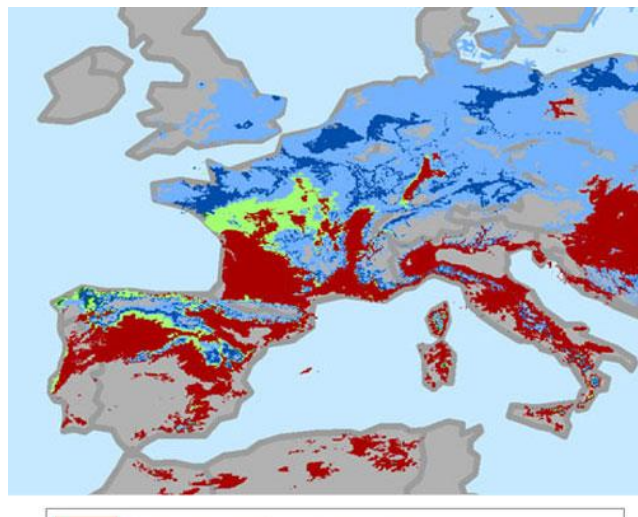
Efectes futurs del canvi climàtic sobre la idoneïtat de la producció vitivinícola a Europa

Motivacions

- **Europa** es un dels majors productors i proveïdors d'aliments i fibra del món (Easterling et al., 2007).
- **L'agricultura** cobreix aproximadament el 35% de la superfície total de terra de l'Europa occidental (Rounsevell et al., 2006).

D'acord amb l'**IPCC** (Capítol 23, 2013):

Els canvis en la temperatura mitjana i la precipitació probablement afectaran a la producció agrícola i ramadera



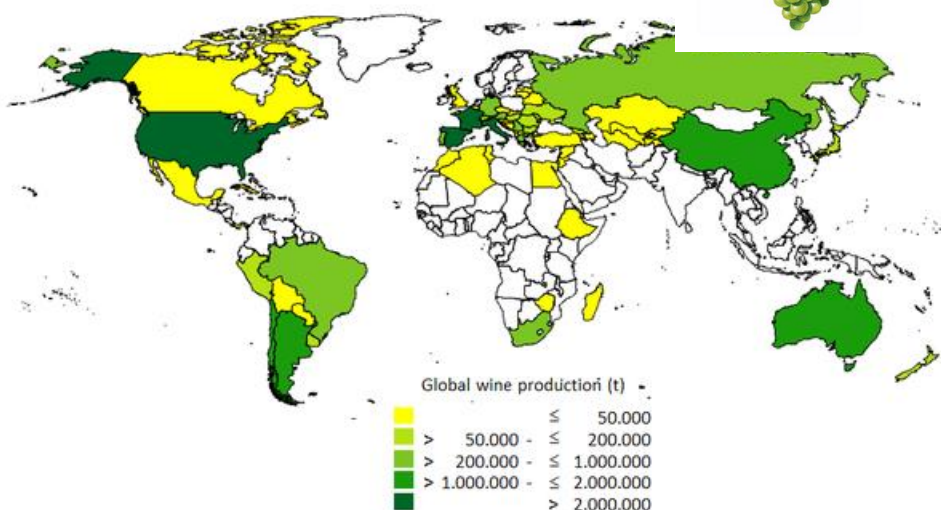
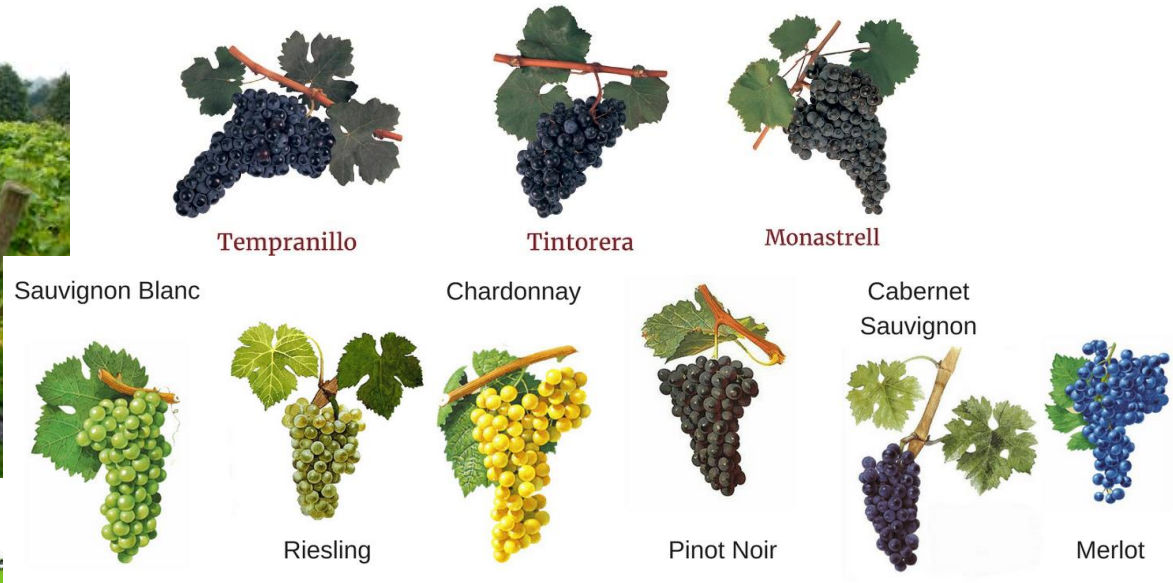
*Efectes diferents depenen del cultiu
(vinya, cigrons, tomàquet, ametlles ..)*



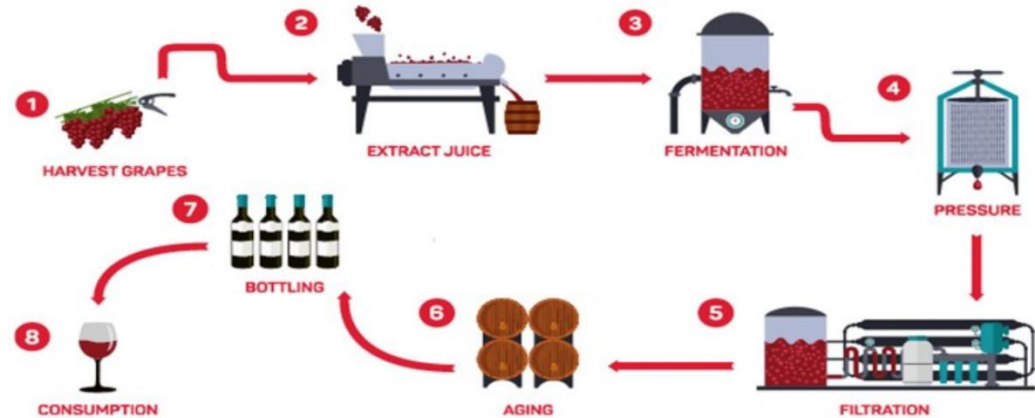
La majoria dels estudis sobre escenaris de canvi climàtic suggereixen que les àrees de sòl agrícola a Europa continuaran disminuint en el futur (Busch et al. 2006)

La **vinya** (*Vitis Vinifera*) és una planta semi-llenysosa el fruit de la qual, el raïm, és àmpliament utilitzat per a l'*elaboració del vi*, a més del seu ús com a fruit de taula i per a la producció de pances.

- **1368 varietats** de raïm de vi (Itàlia 350, França 330, Espanya 235 ...)



El cultiu del raïm per a la **producció de vi** → un dels sectors de l'agricultura amb **major importància econòmica**



Un dels cultius més sensibles a modificacions del clima

Temperatura

1. Temperatura màxima mitjana **estival**
2. Temperatura mitjana **abril-octubre**
3. Índex de **Winkler**
4. Índex de **Huglin**

Precipitació

1. Evapotranspiració real i balanç hídric.

Resultats

Temperatura

1. Temporada de maduració de les vinyes (mitjan estiu i principis de tardor)
2. Temperatura màxima òptima a l'estiu: **25ºC**
3. Temperatura mitjana òptima durant el creixement-maduració: **14-19ºC**



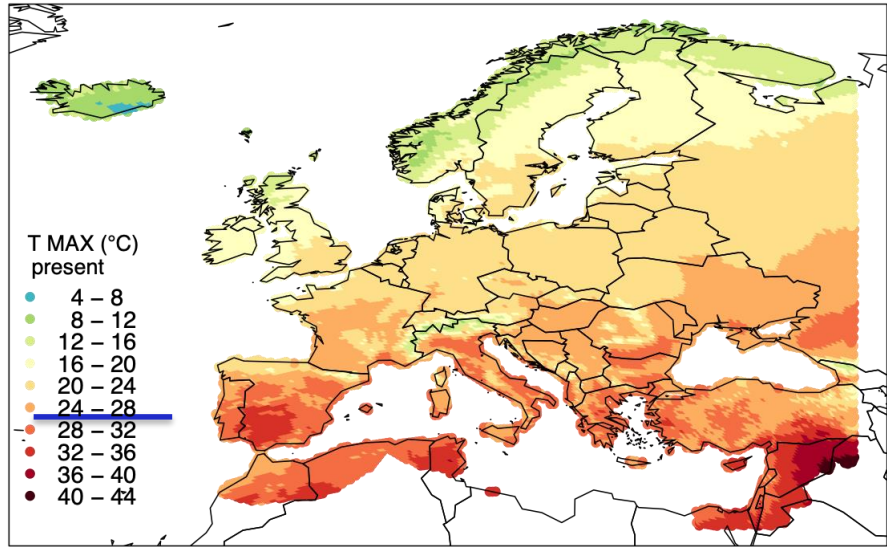
Condicions tèrmiques severes d'estrès

- Una reducció en la producció (Moutinho-Pereir et al., 2004).
- Creixement ràpid i collita primerenca.
- Fruita amb menys aromes i pèrdua de pigments (Collins et al., 2006).
- Efectes negatius sobre els components orgànics i la qualitat del vi (Yamane et al., 2006).

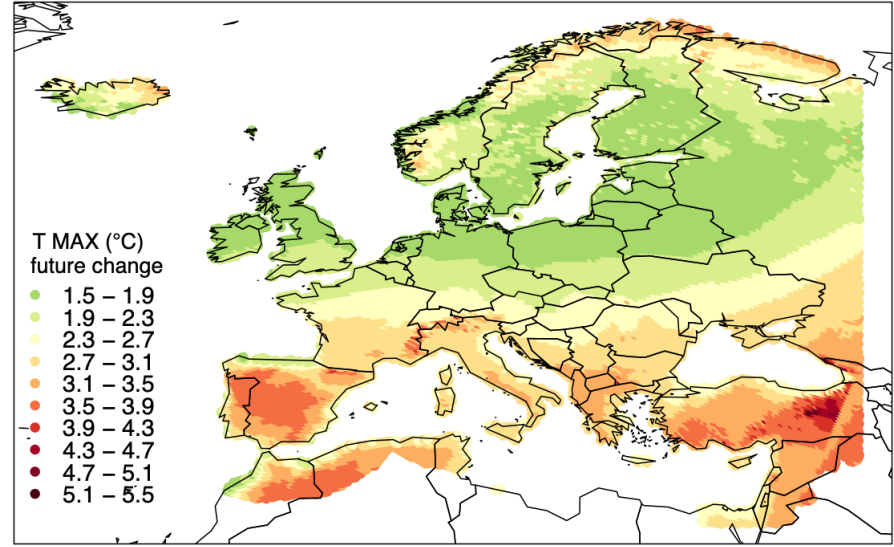


Temperatura màxima mitjana estival (maduració)

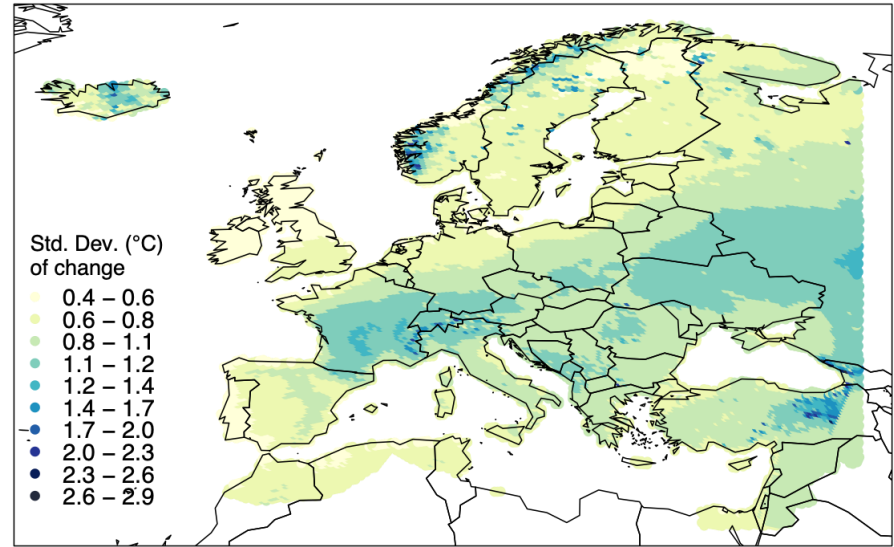
OBSERVAT



CANVI FUTUR (2046-2070; mitjana multi-model)



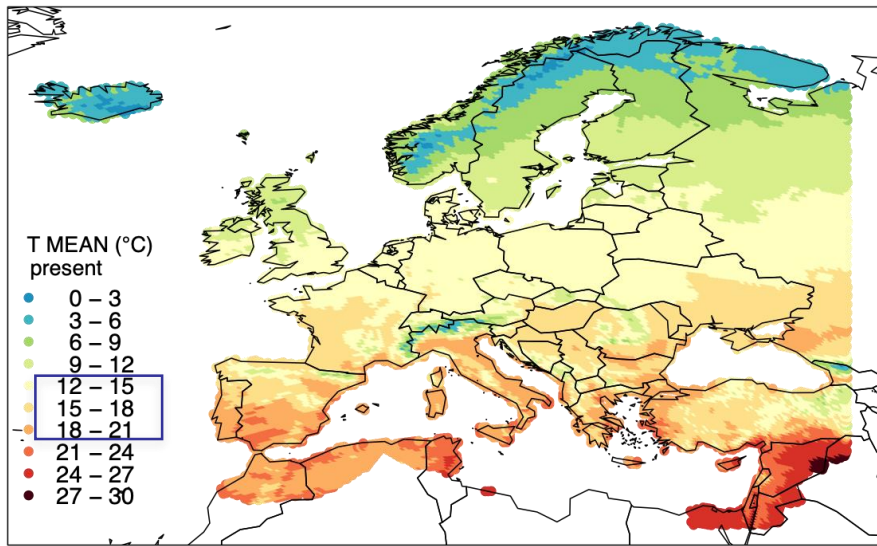
Es mostren els resultats en el **futur mitjà (2046-2070)** ja que permet donar temps suficient al sector vitivinícola per implementar noves estratègies i pràctiques d'adaptació i gestió als impactes del canvi climàtic



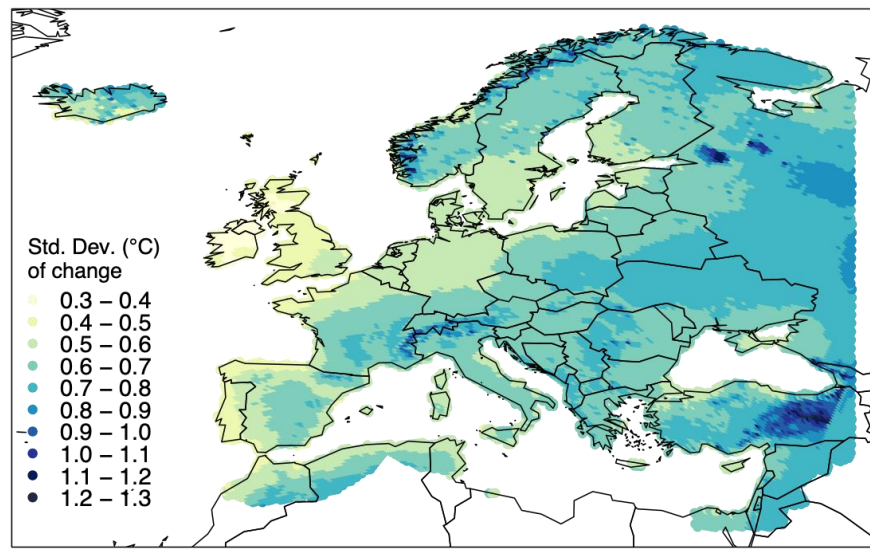
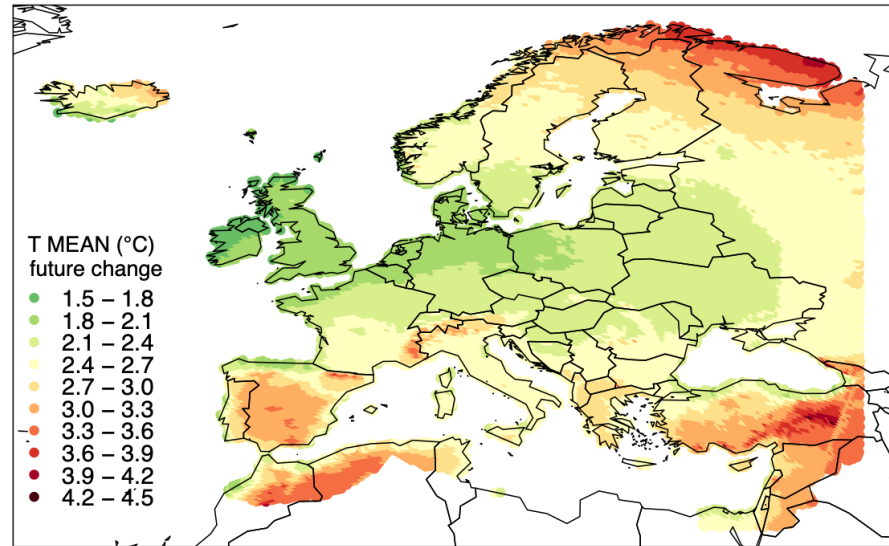
STD (canvi futur multi-model)

Temperatura mitjana abril-octubre (creixement-maduració)

OBSERVAT



CANVI FUTUR (2046-2070; mitjana multi-model)



STD (canvi futur multi-model)

Índex de Winkler

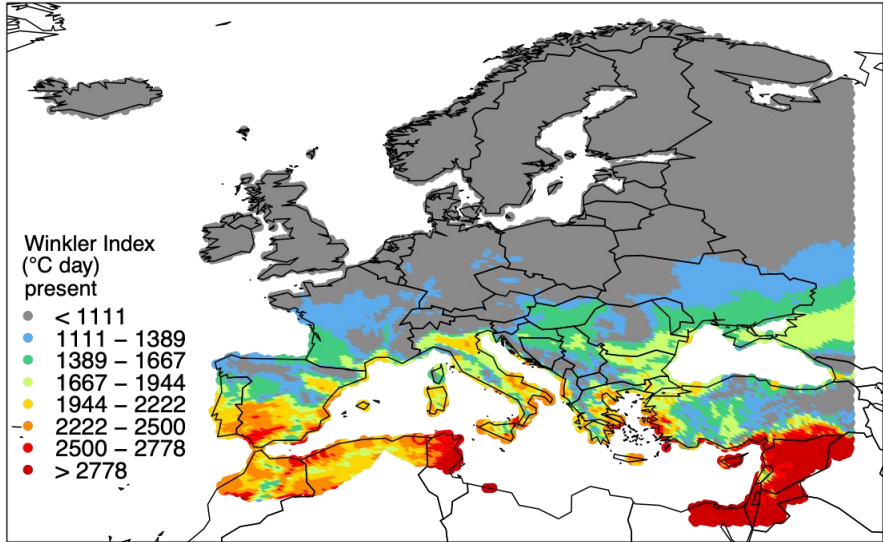
- Mesura l'acumulació de calor (en graus dia) per sobre del zero vegetatiu (10 °C), durant la temporada de creixement-maduració (Amerine i Winkler, 1944).

$$WI = \sum_{1\text{ahr}}^{30\text{oct}} (T - 10)$$

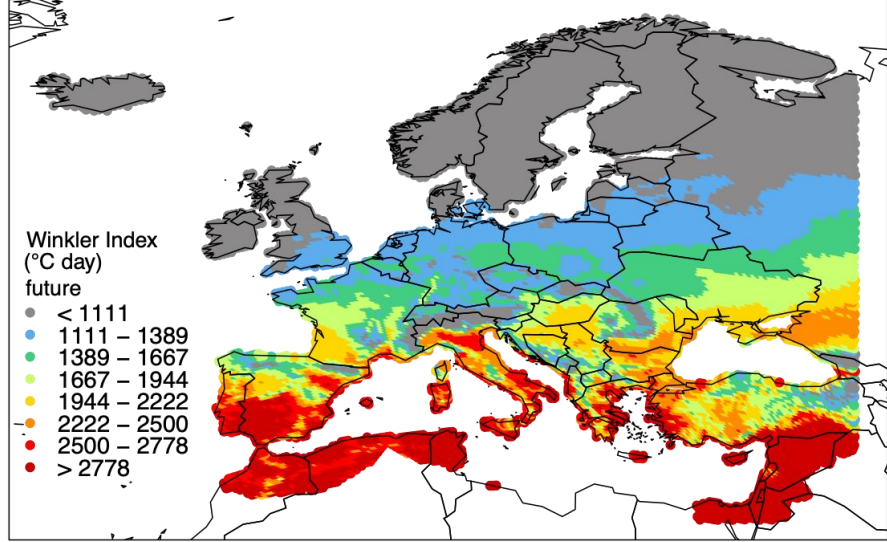
Regió/classe	°C dia	Capacitat de maduració general i estil del vi
Massa fred	<1111	Només les varietats de maduració molt primerenques aconsegueixen varietats de raïm d'alta qualitat, principalment híbrides i algunes vinifera
Regió I	1111-1389	Només les varietats de maduració primerenca aconsegueixen una alta qualitat, algunes varietats de raïm híbrides però principalment V. vinifera
Regió II	1389-1667	Les varietats de vins de taula primerenca i de mitja temporada produeixen vins de bona qualitat
Regió III	1668-1944	Favorable per a una alta producció de vins de taula des de qualitat estàndard a bona qualitat
Regió IV	1945-2222	Favorable per a una alta producció, però una qualitat de vi de taula acceptable
Regió V	2222-2500	Normalment només apte per a produccions extremadament altes, varietats de raïm de taula o de raïm de taula de gran qualitat destinades al consum de temporada primerenca
Regió VI	2501-2778	Només apte per a produccions extremadament altes
Massa càlid	>2778	No apta per a la producció de vi

Índex de Winkler

OBSERVAT

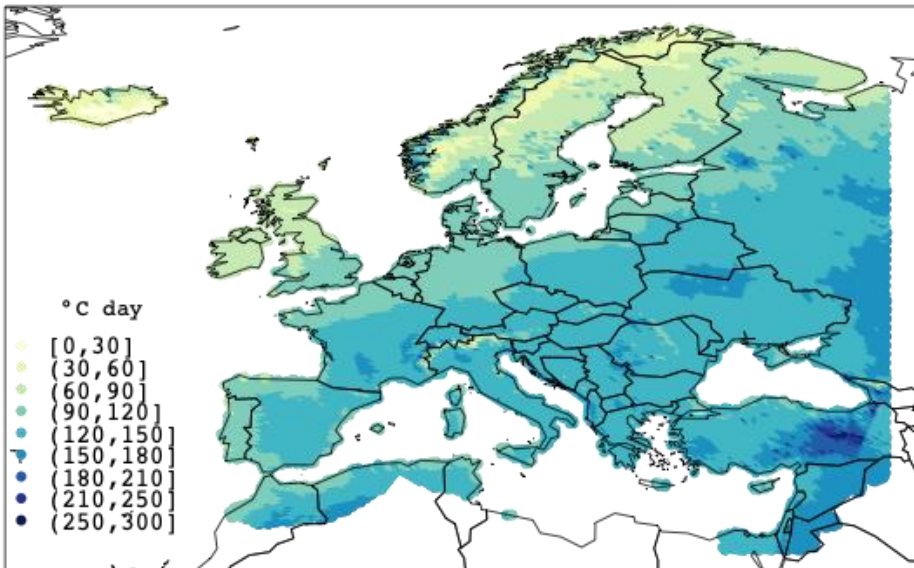


FUTUR PROJECTAT (mitjana multi-model)



- Massa fred
- Regió I : Chablis, Champagne
- Regió II : Bordeus, Alsàcia
- Regió III : Rioja, Piemont
- Regió IV : Montpeller
- Regió V : Illes Gregues, Sicília
- Regió VI
- Massa càlid

STD (futur projectat multi-model)



Índex de Huglin

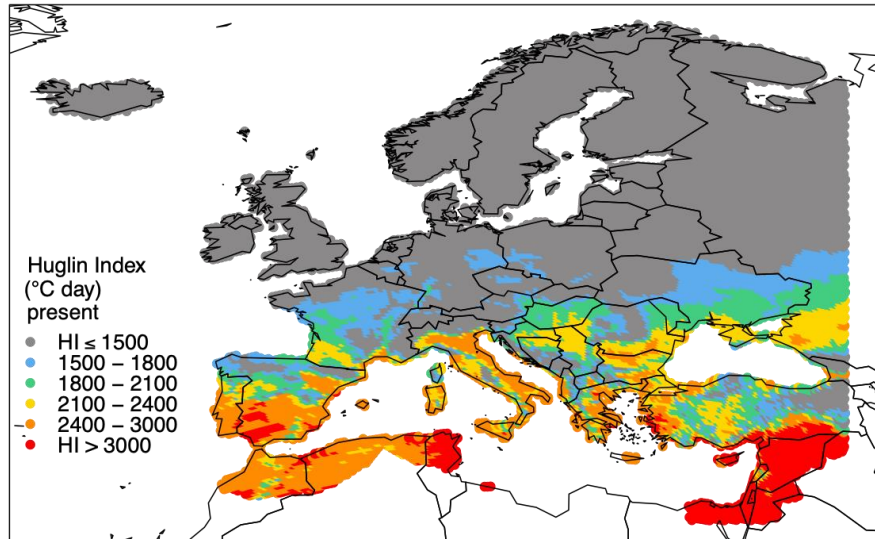
- Estima el potencial heliotèrmic d'una condició climàtica específica i està relacionat amb els requeriments tèrmics de les varietats de vinya i el seu potencial contingut en sucre.

$$HI = \frac{K}{2} \cdot \sum_{1ahr}^{30oct} [(T - 10) \cdot (T_{max} - 10)]$$

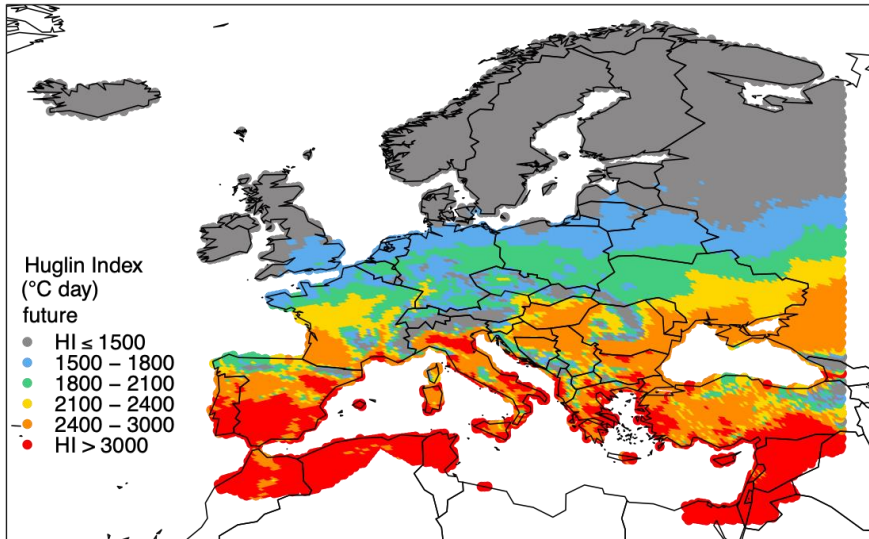
Regió/classe	HI	Varietat
Molt fred	HI <= 1500	Sense suggerències
Fred	1500 < HI <= 1800	Blauer Portugieser, Pinot blanc, Pinot noir, Chardonnay.
Temperat	1800 < HI <= 2100	Cabernet Franc, Chenin blanc, Merlot, Ugni blanc.
Càlid temperat	2100 < HI <= 2400	Tempranillo, Grenache, Carignan, Aramon.
Càlid	2400 < HI <= 3000	
Molt càlid	HI > 3000	Sense suggerències

Índex de Huglin

OBSERVAT

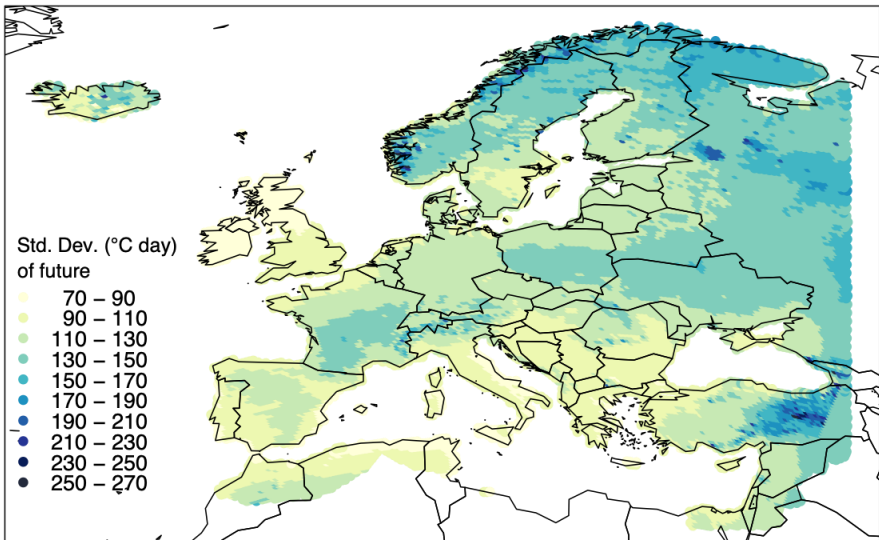


FUTUR PROJECTAT (mitjana multi-model)



- Molt fred
- Fred: Pinot blanc, Pinot noir
- Temperat: Cabernet Franc, Merlot
- Càlid Temperat: Tempranillo, Grenache
- Càlid
- Molt càlid

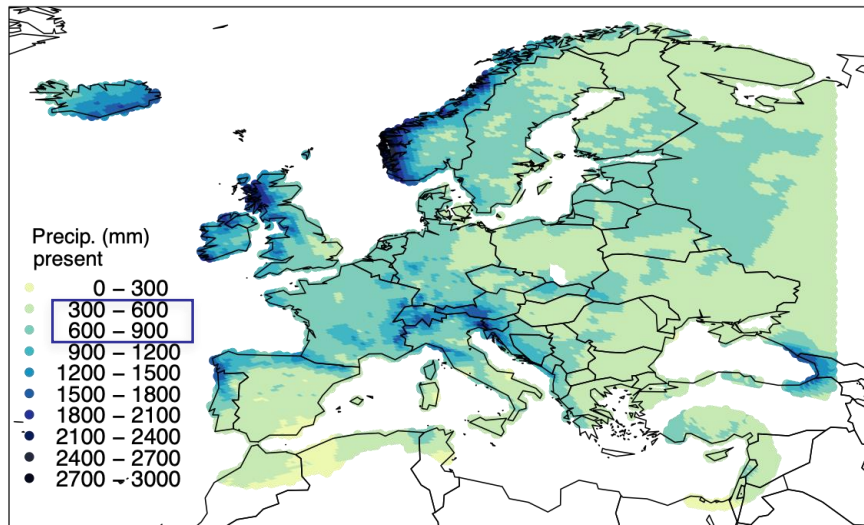
STD (futur projectat multi-model)



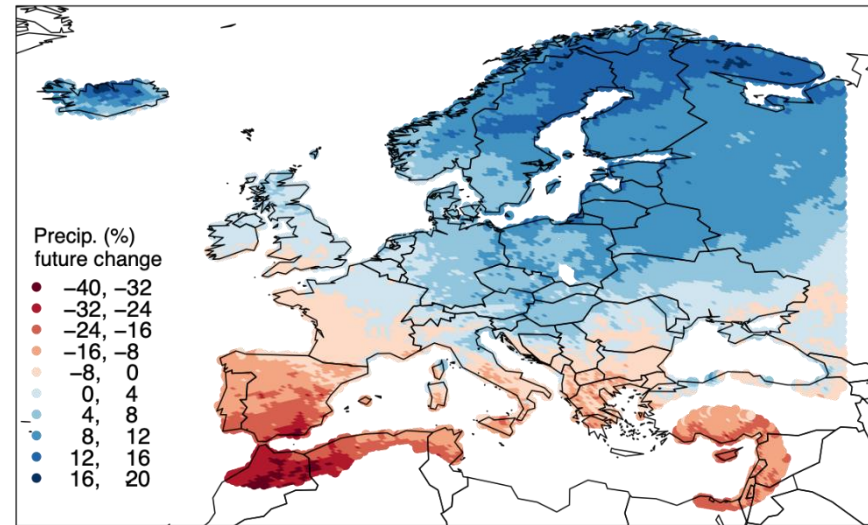
Precipitació, evapotranspiració real i balanç hídric

Tot i que la vinya és resistent a la sequera perquè té arrels profundes, l'aigua és un factor limitant del seu creixement

OBSERVAT



CANVI FUTUR (mitjana multi-model)



Evapotranspiració real (ETR)

La pèrdua d'humitat d'una superfície per evaporació directa i la pèrdua d'aigua per transpiració de la vegetació

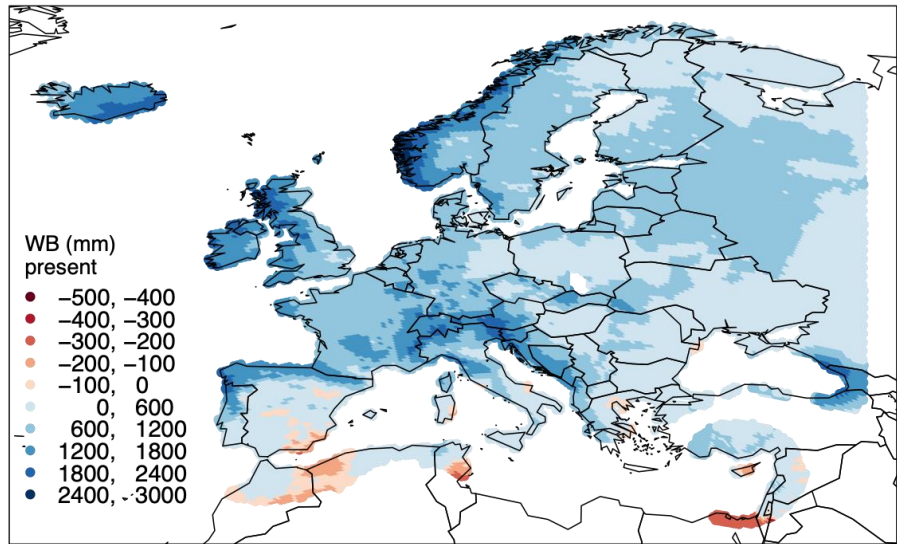
$$ETR = K_c \cdot ETP \quad (\text{Thorntwaite 1948})$$

Balanç hídric (BH)

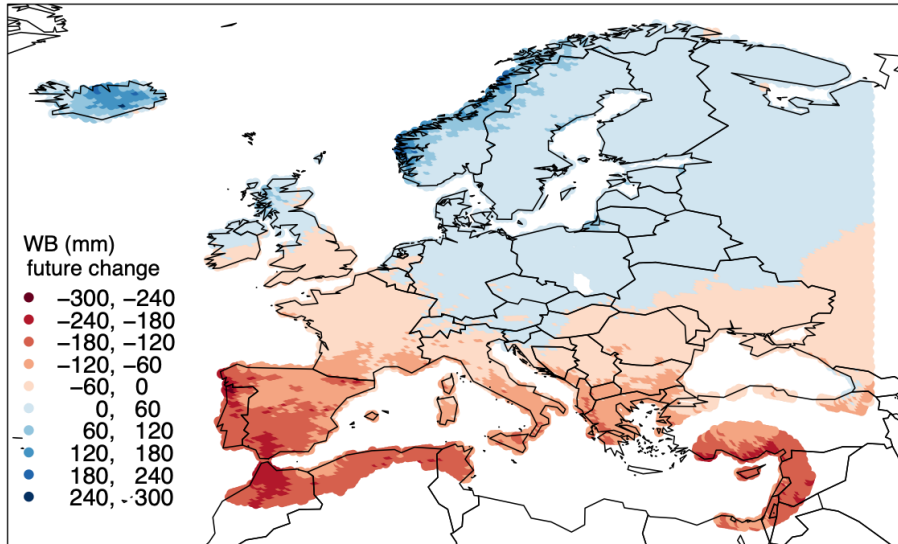
$$BH = P - ETR$$

Balanç hídric

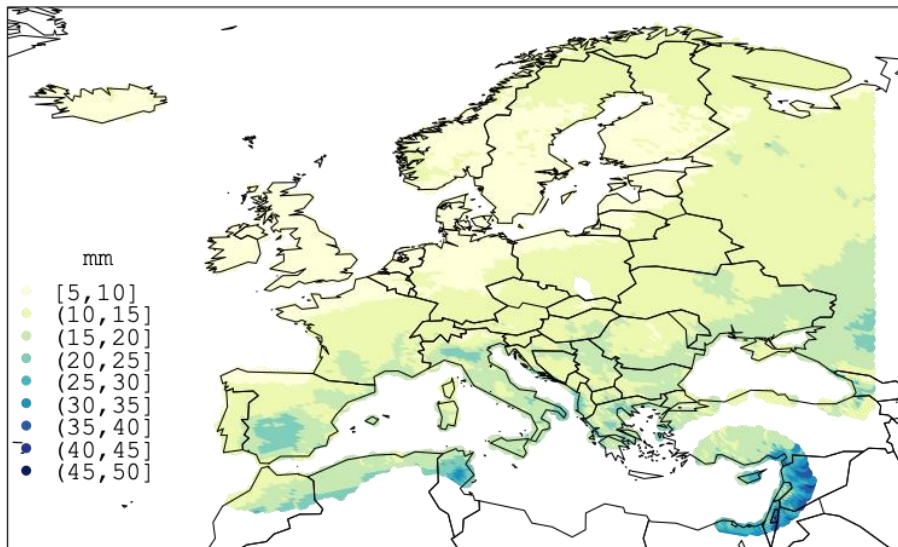
OBSERVAT



CANVI FUTUR (mitjana multi-model)



STD (canvi futur multi-model)



Si augmenta el dèficit hídric, la taxa de transpiració i, per tant, la dissipació de la calor també es veuen afectades per **un augment de la temperatura de les fulles** (Hsiao, 1973).

Si la tendència actual continua ... caldrà que s'adoptin noves estratègies i pràctiques de gestió per mantenir els objectius de qualitat i producció del sector vinícola a Europa.



Enreixat



Ombreig



Reg



Poda



Reubicació

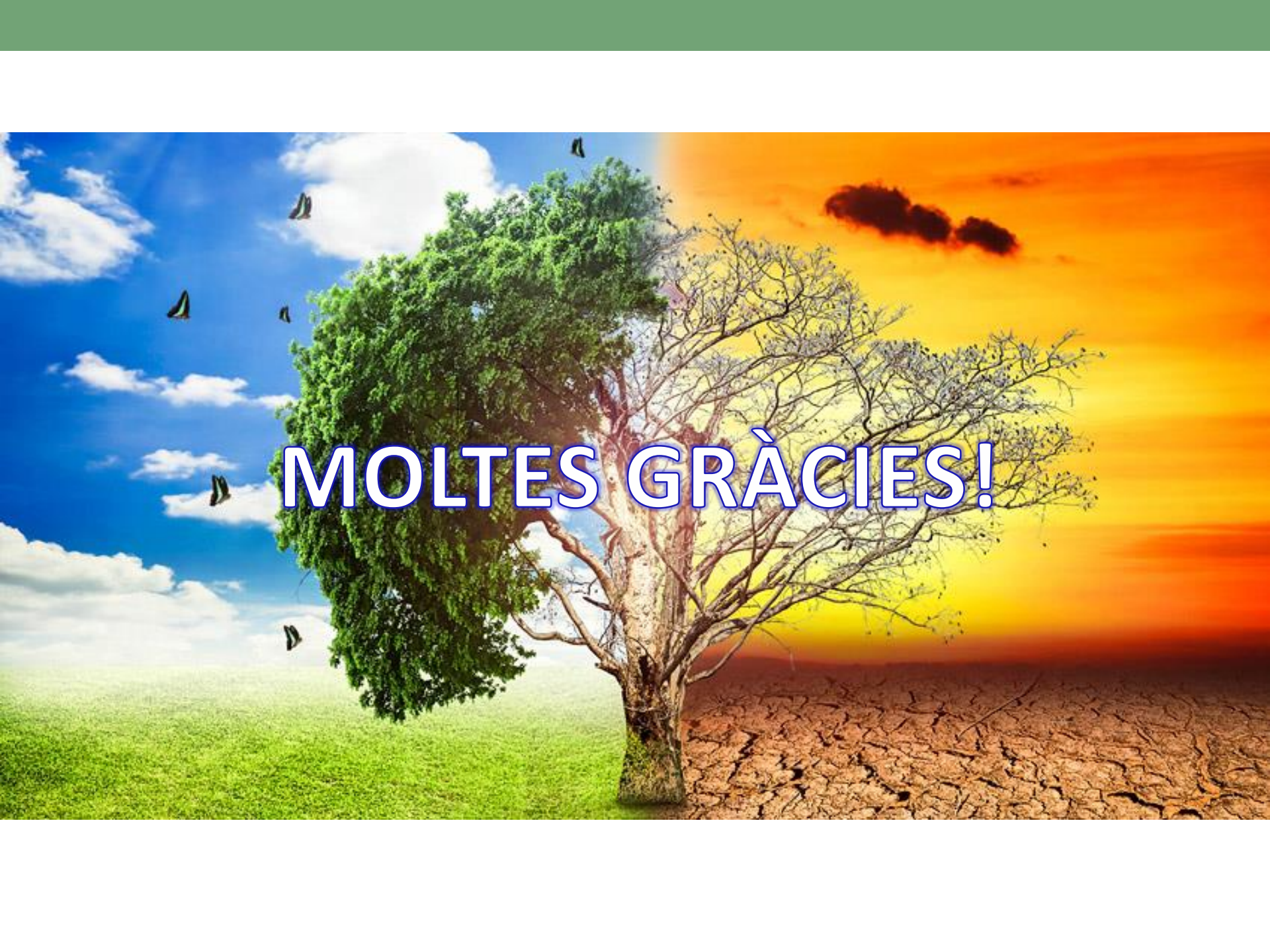


Varietats/Genètica

... Factors que podrien permetre una **viticultura viable fora de les àrees d'idoneïtat previstes** (Mosedale et al. (2016); Sabir et al. (2018)).

Conclusions

- La vinya estarà exposada durant més temps a temperatures excessives per a una maduració adequada a mitjans del segle XXI.
- Segons l'evolució de la IW i la IH, *la idoneïtat de les regions del sud d'Europa per a la producció de raïm de vi serà progressivament menys adequada*. En canvi, les **zones del nord d'Europa** no aptes per a la vinya **es podrien cultivar** en un futur pròxim.
- Es preveu una **disminució generalitzada del balanç hídric anual a la Mediterrània** a causa de la disminució de les precipitacions anuals i de l'augment de la demanda evapotranspirativa de la planta.
- S'hauria d'avaluar l'adopció de mètodes de reg més eficients, a causa del major consum d'aigua de la collita i de la reducció de les precipitacions
- La vinya i el sector socioeconòmic associat són **vulnerables al canvi climàtic** i molt probablement això requerirà la **implementació de mesures adaptatives** per mantenir els estàndards de producció i qualitat actuals.



MOLTES GRÀCIES!